

VYSOKÁ ŠKOLA STROJNÍ A TEXTILNÍ V LIBERCI

**VЛИV PODMÍNEK VSTŘIKOVÁNÍ  
NA VLASTNOSTI VÝSTŘIKŮ Z TERMOPLASTŮ**

Kandidátské disertační práce

Ing. Josef Krebs

Vysoká škola strojní a textilní v Liberci  
fakulta strojní  
katedra materiálu a tváření

UNIVERZITNÍ KNIHOVNA  
TECHNICKÉ UNIVERZITY V LIBERCI



3146114473

VLIV PODMÍNEK VSTŘIKOVÁNÍ

NA VLASTNOSTI VÝSTŘIKŮ Z TERMOPLASTŮ

Kandidátská disertační práce

Autorské právo se řídí směrnicemi MŠK pro státní závěrečné zkoušky č. j. 31.7.1962-II/2 ze dne 13. července 1962. Věstník MŠK Akademie věd ČSSR č. 24 ze dne 31.8.1962 § 19 autorského zákona č. 115/1953 Sb.

VYSOKÁ ŠKOLA STROJNÍ A TEXTILNÍ  
Ústřední knihovna  
LIBEREC 1, STUDENTSKÁ 5

Aspirant : Ing. Josef Krebs

11 37 S

Školitel : Doc. Ing. Miroslav Kořinek CSc.

V Liberci v dubnu 1967

Fyzikálně mechanické vlastnosti výstříků z lineárního polyetylénu jsou závislé na podmírkách vstříkování a na tvaru vlastního výstříku. Vlastnosti jsou ovlivněny jednak anizotropií, jednak nehomogenitou výstříku. Anizotropie je důsledkem orientace molekul během vyplňování dutiny vstříkovací formy, nehomogenita má příčinu v různých technologických podmírkách v různých místech dutiny.

Přesné určení vlivu jednotlivých technologických faktorů, jako je vstříkovací teplota, vstříkovací tlak aj., na vlastnosti výstříku je ztíženo tím, že faktory jsou závislé navzájem a změnou jednoho se mění současně i hodnota druhého.

K dosálení maximálně stejnorodých výstříků je nutné volit jejich tloušťku co největší a vstříkovací teplotu co nejvyšší. Stejně i teplota vstříkovací formy má být co nejvyšší. Příznivě se uplatňuje i velký průřez ústí vtoku.

K hodnocení vlastnosti finálních výstříků je vhodná pevnost ve střihu, která je přesnější než stanovení horní meze kluzu. Metoda umožňuje měřit také homogenitu výstříku. Dobrou reprodukovatelností se vyznačovalo i stanovení hustoty a měření tvrdosti. Naproti tomu spolehlivé hodnocení stupně orientace molekul zůstává otevřeným problémem,

Mezi pevností ve střihu a horní mezí kluzu a podobně mezi pevností ve střihu a tvrdostí existuje přímá závislost. Proto na základě znalosti hodnot jedné vlastnosti je možno odhadnout hodnotu druhé.

### Podekování

Je mou milou povinností poděkovat Doc. Ing. Miroslavu Kořínkovi CSc za metodické vedení práce, za cenné připomínky k vlastnímu obsahu a za příznivé podmínky k experimentální práci. Zároveň děkuji Dr. Ing. Dietrichu Northmannovi z Technické univerzity v Drážďanech za přátelské konsultace, které se uskutečnily na základě spolupráce mezi Institutem pro technologii zpracování dřeva a plastických hmot na Technické univerzitě v Drážďanech a strojní fakultou Vysoké školy strojní a textilní v Liberci.

Dík patří také Ing. Kovaříkovi CSc z Výzkumného ústavu gumárenské a plastikářské technologie v Gottwaldově a Ing. Vlăăilovi z n.p. Plastimat v Liberci, kteří mi umožnili provést technologické zkoušky na svých pracovištích. Za připomínky týkající se technického názvosloví z oboru zpracování plastických hmot děkuji s. J. Fajglovi z n.p. Plastimat v Liberci, za korekturu rukopisu upřímně děkuji své manželce.

Většinu experimentálních prací provedl posluchač naší vysoké školy, fotografie zhodnotila s. H. Peštová, obrázky kreslil s. J. Pozner, čistopis napsala s. M. Šinková. Také jím touto cestou děkuji.

Ing. Josef Krebs

Ich erfülle meine liebe Pflicht, Herrn Doz. Ing. Miroslav Kořínek CSc für die methodische Leitung sowie für die wertvollen Ratschläge zu eigentlichem Inhalt meiner Arbeit und für die zur experimentellen Arbeit nötigst günstigen Bedingungen zu danken. Denselben Dank bin ich verpflichtet Herrn Dr.-Ing. Dietrich Northmann von der Technischen Universität in Dresden, der mir durch freundliche Konsultationen, die auf Grund der Zusammenarbeit zwischen dem Institut für Holz- und Plasttechnik an der TU Dresden und der Technischen Hochschule für Maschinenbau und Textilwesen in Liberec zu- stande gekommen sind, behilflich gewesen ist.

Ich äussere weiterhin meinen innigen Dank Herrn Ing. Kovářík CSc vom Forschungsinstitut für Gummi- und Plasttechnologie in Gottwaldov und Herrn Ing. Vlăčil vom VEB Plastimat in Liberec. Beide haben mir ermöglicht, technologische Frü- fungungen an ihren Arbeitsstätten zu verwirklichen.

Für die Bemerkungen, die die technische Nomenklatur aus dem Gebiete der Verarbeitungstechnologie der Plaste betreffen, einen recht schönen Dank Herrn J. Fejgl vom VEB Plastimat in Liberec. Für die Korrektur der Handschrift danke ich mei- ner lieben Frau.

Die meisten experimentellen Arbeiten wurden von den Hörern unserer Hochschule durchgeführt. Die Photoaufnahmen verfertigte R. Peštová, Zeichnungen sind von J. Pozner, die Handschrift dieser Arbeit verfertigte M. Šimková. Auch die- sen Mitarbeitern danke ich recht herzlich.

Ing. Josef Krebs

OBSAH

	str.
1. ÚVOD	9
2. CÍL PRÁCE	14
3. PŘEHLED DOSAVADNÝCH POZNATKŮ A ROZBOR PROBLÉMU	15
3.1. Technologické faktory ovlivňující vlastnosti výstříků	15
3.2. Plnění dutiny formy při vstříkování	17
3.3. Orientace molekul a její souvislost s mechanickými vlastnostmi výstříků	19
3.4. Vliv různých faktorů na orientaci molekul a na vlastnosti výstříků	22
3.4.1. Vliv vstříkovací hmoty na orientaci molekul a na vlastnosti výstříků	22
3.4.1.1. Vliv viskozity taveniny	22
3.4.1.2. Vliv relaxace napětí	25
3.4.1.3. Vliv krystalizace	27
3.4.2. Vliv podmínek zpracování na orientaci molekul a na vlastnosti výstříků	30
3.4.2.1. Vliv vstříkovací teploty	30
3.4.2.2. Vliv vstříkovacího tlaku	31
3.4.2.3. Vliv doby plnění dutiny	32
3.4.2.4. Vliv doby dotlačování	33
3.4.2.5. Vliv teploty vstříkovací formy	34
3.4.3. Vliv faktorů souvisejících s konstrukcí vstříkovací formy a funkcí vstříkovacího lisu na orientaci molekul a na vlastnosti výstříků	34
3.4.3.1. Vliv tloušťky výstříku	34
3.4.3.2. Vliv průřezu ústí vtoku	35
3.4.3.3. Vliv konstrukce vtokového kanálu	35

	str.
3.4.3.4. Vliv tvaru dutiny vstříkovací formy	36
3.4.4. Vliv přídavných pnutí na vlastnosti výstříku	36
3.5. Anizotropie a nestejnorođost výstříku	37
3.6. Teoretické řešení vstříkovacího procesu	39
3.6.1. Ochladování taveniny během doby plnění	40
3.6.2. Rozdělení vnitřního tlaku v dutině vstříkovací formy jednoduchého tvaru během procesu plnění	44
3.6.3. Pohyb molekul v dutině formy během toku	50
3.6.4. Závěry z teoretického řešení	51
3.7. Souhrn literárních a teoretických poznatků	52
4. EXPERIMENTÁLNÍ ČÁST	57
4.1. Volba druhu plastické hmoty	57
4.2. Volba zkoušební metody	58
4.3. Popis zvolených zkoušebních metod	64
4.3.1. Horní mez kluzu a tažnost normalizovaných zkoušebních těles	64
4.3.2. Horní mez kluzu a tažnost měřená na mikrotělesech	65
4.3.3. Mez pevnosti ve střihu	66
4.3.4. Měření tvrdosti kuličkou	68
4.3.5. Měření mikrotvrdosti	69
4.3.6. Stanovení hustoty	70
4.3.7. Penetrometrická měření	71
4.3.8. Rentgenografická měření	72
4.3.9. Měření délky a váhy	73
4.3.10. Stanovení fluidity	73
4.3.11. Měření smrštění za tepla	73
4.3.12. Smrštění výstříku	73
4.4. Volba základních výstříků a volba zkoušebních těles	74

	str.
4.5. Způsob zhotovení zkoušebních výstříků s technologické podmínky při vstřikování	76
4.5.1. Zkušební těleso pro tahovou zkoušku	76
4.5.2. Kotouč o průměru 160 mm	81
4.5.3. Pravoúhlá deska 120x120x2 mm	83
4.5.4. Provozní výstříkky	84
4.6. Výsledky experimentálních měření	85
4.6.1. Výsledky měření na zkoušebním tělese pro tahovou zkoušku	85
4.6.1.1. Zjištění vztahu mezi technologickými faktory	85
4.6.1.2. Závislost smrštění a rozměrů výstříků na technologických faktorech	87
4.6.1.3. Závislost váhy a hustoty zkoušebních těles na podmírkách vstřikování	91
4.6.1.4. Závislost horní meze kluzu a tažnosti na pod- mírkách vstřikování	94
4.6.1.5. Hodnocení homogenity zkoušebních těles	97
4.6.1.6. Zhodnocení výsledků měření na tělesech pro tahovou zkoušku	101
4.6.2. Výsledky měření na kotoučích	103
4.6.2.1. Zjištění vztahu mezi technologickými faktory	103
4.6.2.2. Měření horní meze kluzu a meze pevnosti ve střihu na kotoučích	107
4.6.2.3. Vztah mezi horní meze kluzu a mezi pevností ve střihu	112
4.6.2.4. Závislost horní meze kluzu na poloměru a úhlu odebrání mikrotěla	113
4.6.2.5. Závislost tažnosti mikrotěles na poloměru a na úhlu odebrání tělesa	117
4.6.2.6. Zhodnocení výsledků měření na kotoučích	119
4.6.3. Výsledky měření na deskách 120x120x2 mm	121
4.6.3.1. Stanovení meze pevnosti ve střihu	121
4.6.3.2. Stanovení homogenity desek	124
4.6.3.3. Průběh plošného rozložení meze pevnosti ve střihu	125

	str.
4.6.3.4. Vztah mezi pevností ve střihu a horní mezi kluzu	127
4.6.3.5. Měření tvrdosti	128
4.6.3.6. Závislost mezi tvrdostí a mezi pevností ve střihu	130
4.6.3.7. Stanovení mikrotvrdosti, měření na penetrometru a určení hustoty	130
4.6.3.8. Zhodnocení výsledků měření na deskách	133
4.6.4. Výsledky měření na výrobcích z provozu	134
5. SOUHRN VÝSLEDKŮ A JEJICH VÝZNAM PRO PRAXI	136
6. PŘÍLOHY	147
7.1. Seznam symbolů	162
7.2. Seznam literatury a použitých pramenů	166

## 1. ÚVOD

Termoplasty, podobně jako jiné druhy plastických hmot, jsou ve stále větší míře používány jako konstrukční materiály pro výrobu nejrůznějších technických předmětů. Plní tak úlohu jiných dříve používaných materiálů, například oceli a kovových litin. K tomu, aby se mohly plastické hmoty uplatňovat ještě ve větším měřítku na součásti vystavené mechanickému namáhání, dosud není k dispozici dostatek technických podkladů o jejich vlastnostech.

Mezi kovy a plastickými hmotami je totiž důležitý rozdíl: Fyzikálně mechanické vlastnosti kovů, právě tak jako vliv různých technologií na změnu těchto vlastností, jsou konstruktérům dobře známy. Kovy jsou materiály poměrně stejnoročné. Naproti tomu nestejnoročnost výrobků z plastických hmot je velkou překážkou při konstrukčních výpočtech. Rovněž vliv technologií na vlastnosti finálních výrobků není ve většině případů dosud výslovně objasněn.

Vlastnosti výrobků z plastických hmot nezávisí jen na druhu hmoty a na tvaru předmětu, nýbrž také na technologickém řešení při zpracování. Druh technologie a technologické podmínky hrají tak důležitou úlohu proto, že ovlivňují velikost vnitřní nestejnoročnosti a anizotropie výrobků. Tyto jevy vystupují do popředí hlavně u předmětů vyráběných vstřikováním.

Z těchto důvodů jsou pevnostní výpočty při konstrukci výrobků sice značně problematické, což může vést k selhdaj funkce výrobků v praxi. V mnoha případech dochází dokonce

i k samovolnému prasknutí výstřiků vlivem vnitřního tlaku.  
Přes řadu zkušeností není dosud možno takové případy poškození vyloučit. Na obr. 1 a 2 jsou výstříky, které jsou vyráběny již po řadu let a přece se ve výrobním podniku čas od času objeví zmetky.



Obr.1. Umyvadlo se samovolnou prasklinou ve dně



Obr.2. Kbelík se samovolnou prasklinou

Příčina nespolehlivosti konstrukčních výpočtů spočívá v tom, že plastické hmoty jsou velmi citlivé k podmínkám zpracování. Proto se mohou hodnoty vlastností jednoho výrobcu velmi lišit od hodnot výroby jiného, i když bylo v obou případech použito stejného druhu hmoty. Klasický příklad takovéto citlivosti ke zpracovatelským podmínkám je zřejmý z tab. 1, kde je uvedena mez pevnosti v tahu polyamidu-6 pro různé polotovary [38] :

Tab.1. Mez pevnosti v tahu různých polotvarů z polyamidu-6

Druh polotovaru	Mez pevnosti <sup>i</sup> v tahu [kp/cm <sup>2</sup> ]
Vytlačené pásy za sucha	650
Vytlačené pásy po kondičnaci na vzduchu	480
Pásy orientované, za sucha	3000
Pásy orientované, po kondičnaci na vzduchu	2000
Blokový polymér za sucha	750
Vlákná orientované, po kondicionaci na vzduchu	6000

Podebnou závislost je možno nalézt prakticky u všech druhů plastických hmot. Změny mechanických vlastností jsou však ovlivňovány nejen různými technologiemi, ale také měnícími se podmínkami zpracování u jedné technologie.

V poslední době byla provedena řada pokusů, které měly objasnit závislost vlastností zkusebních těles na technologických podmínkách. Pokusy byly prováděny s použitím normalizovaných zkusebních těles. Výsledky, takto získané, jsou sice velmi denné pro výrobce plastických hmot, avšak pro konstruk-

téry finálních výrobků je jejich použitelnost omezena. Tvar výrobku totiž přímo ovlivňuje technologické podmínky při zpracování, např. vstřikovací tlak, vstřikovací rychlosť apod., a tím také nepřímo ovlivňuje i fyzikálněmechanické vlastnosti výrobku. Proto na základě hodnot vlastností, které byly stanoveny na normalizovaných zkoušebních tělesech, je možno jen s určitým přiblížením usuzovat na vlastnosti konečného předmětu ze stejné hmoty.

Situace je navíc komplikována tím, že dosud není k dispozici objektivní metoda, která by umožňovala kvantitatívní měření vlastností finálního výrobku. Výstřítky bývají většinou zkoušeny za podmínek, které se blíží namáhání při praktických aplikacích. Např. Schmitt [45] popisuje následující zkoušební postupy: Tři transportní bedny se složí na sebe a tento stoh musí snést po dobu tří hodin zatížení 800 kp aniž by došlo k vybočení. Síla 650 kp nesmí vyvolat po dobu sedmi dnů zhroucení stohu. K podobnému účelu jsou používány pádrové zkoušky. Přepravka se naplní polyetylénovými lahvičkami, které obsahují vodu s pískem, jejichž váha odpovídá váze naplněných skleněných lahví. Přepravky musí vydřet čtyřnásobný pád z výšky tří metrů. Podobným způsobem se zkouší pevnost držadel atd.

Všechny tyto zkoušky založené vysloveně na empirickém základě, jsou pro praktické aplikace velmi cenné. Poskytuje však buď jen pozitivní nebo negativní výsledek, to znamená, že zkoušený výrobek podmínky zkousky buď vydrží nebo nevydrží. Z výsledků se dá jen nepřímo soudit na vhodnost technologických podmínek při zpracování. Ty jsou považovány za využívající, když zkoušku přešká určité množství zkoušených

výrobků, např. více než 50%. Takové metody umožňují jen ve velmi omezeném rozsahu kvantitativní vyhodnocení vlivu technologie na změnu vlastnosti finálního výrobyku. Kromě toho nespolehlivost empirických zkoušek spočívá v tom, že zkušební podmínky nemusejí odpovídat způsobu namáhání v praxi, kde potom může být výsledek zcela jiný.

Jak je zřejmé, v současné době existuje ještě mnoho nevyřešených problémů týkajících se vlastností výstřiků z termoplastů. Tato práce si vytkla za cíl přispět k objasnění alespoň některých z nich.

## 2. CÍL PRÁCE

Hlavní úkoly, které mají být v práci řešeny, je možno shrnout do následujících bodů :

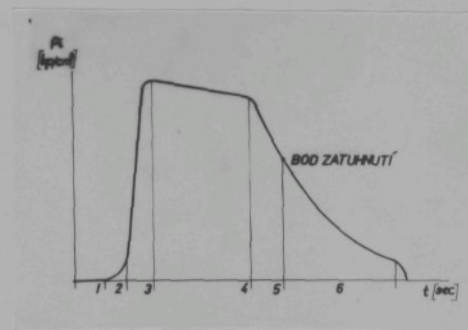
- 2.1. Na základě zvolených nebo vypracovaných zkoušebních metod prověřit vliv různých technologických podmínek vstříko-  
vání na změnu vlastnosti výstříku.
- 2.2. Zvláštní pozornost věnovat závislosti jednotlivých tech-  
nologických parametrů vstříkování mezi sebou návzájemem.
- 2.3. Při hodnocení fyzikálně mechanických vlastností výstříku  
sledovat stejnorodost výrobků.
- 2.4. Stanovit vliv technologických podmínek zpracování na stej-  
norodost výstříku a určit, kterými vlivy je tato ovlivňo-  
vána.
- 2.5. Navrhnout nejvhodnější způsob hodnocení vlastnosti fináln-  
ních výrobků.

### 3. PŘEHLED DOSAVADNÍCH POZNATKŮ A ROZBOR PROBLÉMU

#### 3.1. Technologické faktory ovlivňující vlastnosti výstříku

Princip vystříkování termoplastů je dostatečně znám. K dispozici věk nejsou téměř žádné teoretické podklady, s jejichž pomocí by bylo možno předpovědět vlastnosti finálního výstříku.

Northmann [34], Bernhardt [10] a jiní autoři uvádějí, že některé vlastnosti výstříků jsou určovány termodynamickými veličinami, které přísluší polyméru v okamžiku zatuhnutí ústí vtoku. Typický průběh tlaku v dutině vystříkovací formy  $P_t$  v závislosti na čase je na obr. 3.



Obr. 3. Závislost vnitřního tlaku  $P_t$  na vystříkovacím čase  $t$

Nejdůležitější bod na křivce, bod zatuhnutí, odpovídá okamžiku, kdy tavenina hmoty zatuhne v ústí vtoku, takže dále nemůže do dutiny ani přítékat ani z ní vytékat. V bodě zatuhnutí přísluší tavenině určitá hodnota teploty, měrného tlaku a měrného objemu. Konečný objem polyméru v dutině vystříkovací formy je určován teplotou a tlakem taveniny v bodě zatuhnutí.

Poloha tchoto bodu na křivce není konstantní, ale závisí na technologických podmíinkách: Hodnota tlaku v bodě zatuhnutí stoupá při zvyšující se vstřikovací teplotě, při zvyšujícím se vnějším vstřikovacím tlaku a při prodlužující se době dotlačování. Při stoupající teplotě vstřikovací formy naopak klesá.

Zvýšení tlaku v bodě zatuhnutí při konstantní teplotě v tomto bodě má za následek zvětšení váhy a rozměrů výstřiků a zmenšení jejich snášení. Hustota výstřiků je tlakem a teplotou v bodě zatuhnutí ovlivňována jen nepatrně.

Rozměry a váha výstřiků jsou tedy určovány veličinami stavové rovnice. Mechanické vlastnosti výstřiků jsou však závislé na jiných vlivech.

Po dle Orthmannova [36] je hodnota vlastnosti výstřiku obsahujícího vnitřní pnutí složena ze dvou částí, to jest ze základní hodnoty vlastnosti  $W_0$ , která odpovídá vlastnosti tělesa bez vnitřního pnutí, a z druhé složky, která představuje vliv vnitřních pnutí vyvolaných technologiemi procesem. Vztah je možno psát do tvaru:

$$W_s = W_0 + f(I) \quad (1)$$

kde značí:

$W_s$  - hodnotu vlastnosti tělesa s vnitřním pnutím

$W_0$  - základní hodnota vlastnosti, tj. vlastnost tělesa prostého pnutí

$I$  - vlastnost vyjadřující vliv vnitřního pnutí na změnu základní vlastnosti  $W_0$

$f$  - funkční vztah mezi vlastnostmi  $W$  a  $I$

Z teorie plasticity vyplývá, že během jakéhokoli v plastického tváření vznikají ve tvářeném tělesu příčavná pnutí,

která v něm mohou zůstat jako vnitřní pnutí. Tato pnutí, vznikající jako důsledek tvářecích sil, představují pouze jeden druh pnutí.

Další druh pnutí je vyvoláván ochlazováním horké taveniny polyméru ve studené vstříkovací formě. Po ochlazení jsou v povrchových vrstvách výstřiku přítomna tlaková pnutí, ve vnitřních vrstvách tahová. Tato pnutí popisuje Högberg [19]. Naproti tomu Knappe [24] tvrdí, že povrchové vrstvy výstřiku obsahují jen tahová pnutí. Malý význam tlakových pnutí v povrchových vrstvách potvrzuje také Orthmann a Schmitt [37].

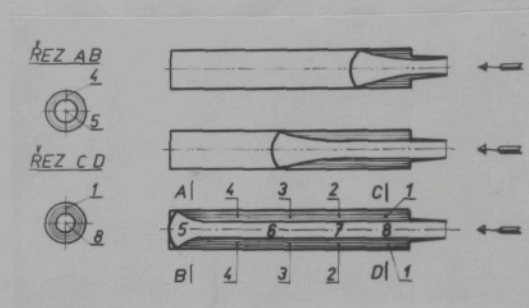
Z těchto posledních tvrzení vyplývá, že rozhodující vliv na změnu mechanických vlastností výstřiků mají tahová pnutí v povrchových vrstvách, která jsou výsledkem přeskupování a orientace molekul do směru toku.

Aby bylo možno lépe pochopit pnutí vyvolaná orientacií molekul, je účelné popsat vyplňování dutiny vstříkovací formy taveninou plastické hmoty.

### 3.2. Plnění dutiny formy při vstříkování

Roztavený polymér je vtlačován pístem z tavicí komory do dutiny vstříkovací formy. Vlastní plnění dutiny probíhá velmi komplikovaným způsobem. Schönborn [46] jej popisuje zjednodušeně takto: Uvažovaná dutina formy má tvar kruhového kanálu. Tavenina do ní vstupuje v ose na jednom konci kanálu a jakmile je vtlačena do dutiny, ihned zaplní celý její průřez. Na stěně formy volně rychle tuhne. Tato ztuhlá vrstva plní úlohu tepelného izolátoru. Další hmota je do dutiny vtlačována pouze partickami kolem osy kanálu. Na čele proudu se

tavenina rozlévá opět do celého průřezu kanálu a celý pochod se neustále opakuje. Schematicky je toto znázorněno na obr. 4.



Obr. 4. Schematické znázornění vyplňování dutiny formy taveninou plastické hmoty při vstříkování

Z obr. 4 je zřejmé, že stěny výstříku v bezprostřední blízkosti ústí vtoku jsou tvořeny hmotou, která do dutiny formy vstoupila jako první. Dále od ústí je uložena hmota, která byla do dutiny vtlačena později. Protože se však ve středních partiích dutiny nachází ještě proudící tavenina, je průřez výstříku v každém místě tvořen alespoň dvěma či více vrstvami hmoty. Např. bezprostřední okolí ústí vtoku se skládá z vrstev 1 a 8.

Hmota, která ztuhne na stěně vstříkovací formy, se nemůže pohybovat. Freuděním taveniny v plastickém středu kanálu vznikají na stykové ploše mezi vrstvami telocucí a nehybné hmoty smyková napětí, jejichž výsledkem je orientace molekul. To je vlastní příčinou změny mechanických vlastností výstříku, protože stupeň orientace molekul a hodnoty mechanických vlastností jsou na sobě závislé.

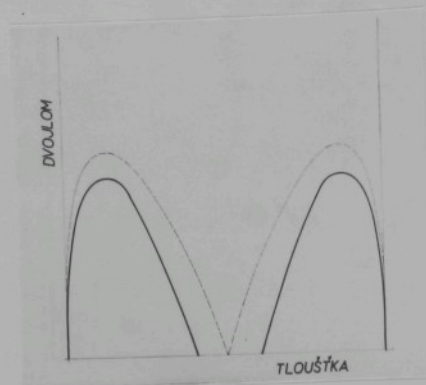
### 3.3. Orientace molekul a její souvislost s mechanickými vlastnostmi vystříku

Vliv podmínek vstříkování na stupeň orientace molekul byl podrobně studován Ballmanem a Toorem [3]. Pokusy byly prováděny s čirým polystyrénem, protože tento materiál umožňuje snadné hodnocení orientace sledováním dvojlotu v polarizovaném světle. Dvojlot byl měřen na větríkových plochých tyčích c průřezu 25 x cca 2 mm a 25 x cca 4 mm, a to jak v po- dělném, tak v příčném směru.

Výsledný stupeň orientace je ovlivňován dvěma protichůdnými procesy:

- a) Tečením taveniny polyméru v dutině vstříkovací formy, které orientaci způsobuje.
- b) Následující relaxací napětí, která probíhne po skončení plnícího procesu a která původní stupeň orientace snižuje.

Kdyby tečení hmoty probíhalo za izotermických podmínek, byla by smyková napětí na stěně formy největší. U neizotermického toku je však tavenina na stěně vstříkovací formy ihned ochlazena a ztuhne. Tato tenoučká vrstva roní podle Ballmana orientována. Z toho vyplývá, že smyková napětí a tomu odpovídající orientace, tedy i dvojlot, musí procházet maximem, které leží mezi povrchem vystříku a jeho středem, protože tam jsou smyková napětí nejmenší případně až rovna nule. Tyto pomery jsou znázorněny na obr. 5, kde značí:  
— původně vzniklý dvojlot úmorný orientaci molekul a  
— výsledný dvojlot po relaxaci napětí.



Obr.5. Rozložení dvojhlomu ve výstříku  
tvaru desky

Po vyplnění dutiny formy nastupuje relaxace napětí, která původně vznikla orientací molekul snižuje. Stupeň relaxace napětí závisí na teplotě hmoty v jednotlivých místech. Protože je uprostřed výstříku teplota relativně nejvyšší, musí výsledná orientace i dvojhlom být v tomto místě nejmenší nebo rovny nule.

Absolutní hodnoty dvojhlomu závisejí na vstříkovacích podmínkách. Orientace se obvykle snižuje:

- ještěže se teplota vstříkovací formy zvyšuje,
- ještěže se vstříkovací teplota zvyšuje,
- ještěže se tloušťka výstříku zvětluje.

Tyto závěry však neplatí zcela obecně, protože míra vlivu jednoho faktoru je závislá také na velikosti faktoru druhého. Např. vliv vstříkovací teploty se u různě tlustých vý-

stříků poněkud liší.

K podobným závěrům dospěl také Krebs [25].

Závislost orientace na podmínkách zpracování studovali na polystyrénových výstříkicích Lepšin a Kozlov [31]. Z jejich pokusů vyplývá, že orientace se zmenšuje zvýšením vstříkovací teploty, snížením vstříkovacího tlaku a zvýšením teploty vstříkovací formy. Orientace také klesá zvětšováním tloušťky výstříků a je ovlivněna i délkou a průřezem vtokového kanálu. V případě malého průřezu kanálu orientace klesá, protože vstříkovací tlak může na taveninu v dutině působit jen krátkou dobu.

Z polystyrénových výstříků byly na mikrotomu zhotoveny tenké vrstvy, u kterých bylo stanoveno smrštění za tepla. Podle výsledků těchto pokusů je orientace soustředena pouze v povrchových vrstvách, jejichž tloušťka činila několik desetin milimetru.

Autoři díla studovali smrštění za tepla zkušebních mikrotěles vyříznutých z různých míst výstříku. Hodnoty smrštění závisely na vzdálenosti od místa ústí vtoku. Největší byly v jeho blízkosti. Temperování výstříku při  $77^{\circ}\text{C}$  hodnoty smrštění neovlivnilo.

Souvislosti mezi mechanickými vlastnostmi výstříku a smrštěním za tepla jakož i orientace se zabýval Orthmann [35;36]. Vliv orientace na rázovou houževnatost byl studován na styrén-akrylonitrilovém kopolyméru. Hodnota smrštění mezi 60 - 0 % odpovídala rázovou houževnatost v rozmezí 29 až 5 kp/cm<sup>2</sup>.

Na základě takto získaných zkušeností Orthmann prohlašuje, že se hodnoty vlastnosti zkušebních těles z téhož materiálu

mohou podle zpracovatelských podmínek mezi sebou lišit až o několik set procent. Proto je nutné, aby kromě hodnot mechanických vlastností byly současně udávány i hodnoty smrštění za tepla stanovené na stejných zkoušebních tělesech, neboť jinak údaj samotné materiálové vlastnosti bez údaje vnitřního puntí je bezcenný.

Poznámka: Smrštění za tepla se stanoví při teplotě o  $20^{\circ}\text{C}$  vyšší než je odpovídající tepelná odolnost podle Vicata měřená v glykolu.

#### 3.4. Vliv různých faktorů na orientaci molekul a na vlastnosti výstříku

Orientace molekul i následující relaxace napětí závisí na mnoha faktorech. Tyto mohou být rozděleny do čtyř hlavních skupin:

3.4.1. Faktory, které souvisejí s vlastnostmi vstříkovací hmoty.

3.4.2. Faktory vyjadřující vliv technologických podmínek.

3.4.3. Faktory, které jsou spojeny s konstrukcí vstříkovací formy a funkcí vstříkovacího lisu.

3.4.4. Do čtvrté skupiny mohou zařadit faktory, které vysvětluje ve výstříku přidavná puntí jinými způsoby.

3.4.1. Vliv vstříkovací hmoty na orientaci molekul a na vlastnosti výstříku

##### 3.4.1.1. Vliv viskozity taveniny

Vlastní příčina orientace molekul spočívá ve snylových napětích vznikajících v pohybující se tavenině. Velikost

těchto napětí souvisí s viskozitou taveniny polyméru.

Bartěněv [6;7] uvádí pro viskozitu polymérní taveniny následující vztah:

$$\eta = C \cdot \eta_1(T) \cdot \eta_2(\tau) \cdot \eta_3(M) \quad (2)$$

Tento vztah je vyjádřením prevídla logaritmické aditivnosti viskozity, neboť může být psán ve tvaru:

$$\log \eta = \log C + \log \eta_1(T) + \log \eta_2(\tau) + \log \eta_3(M) \quad (3)$$

kde znamenají:

$\eta$  - viskozitu taveniny polyméru

C - konstantu charakterizující strukturu polyméru

T - teplotu

$\tau$  - smykové napětí

M - střední molekulovou váhu polyméru

Prvý člen pravé strany rovnice (3) představuje vliv struktury hmoty na hodnotu viskozity, druhý vliv teploty, třetí smykového napětí a poslední vliv molekulové váhy.

Pro závislost viskozity na teplotě platí vztah:

$$\eta_1(T) = A \cdot e^{\frac{E}{RT}} \quad (4)$$

kde značí:

A - konstantu, která má rozmer viskozity

E - aktivační energii polymerního toku, která je pro daný polymér konstantou

R - Boltzmannovu konstantu

Vliv smykového napětí na tok polymérních tavenin je poměrně komplikovaný. Zvyšování smykového napětí vyvolává větší přírůstek smykové rychlosti než u newtonských kapalin.

Pro tok polymérních tavenin se používá "mocnínového zákona", který bývá podle Carloye [21] psán ve tvaru:

$$\frac{dv}{dx} = \Phi \cdot \tau^n \quad (5)$$

kde je:

$v$  - smyková rychlosť taveniny v bodě  $x$

$x$  - vzdálenost bodu od osy kanálu kolmo ke směru rychlosti

$\Phi$  - fluidita, která je u newtonských kapalin rovna  $\Phi = \frac{1}{\eta}$

$\tau$  - smykové napětí

$n$  - exponent v mocnínovém zákoně, který je měřítkem nenewtonského chování taveniny

Pro závislost viskozity na smykovém napětí platí u lineárních polymérů vztah:

$$\eta_2(\tau) = \eta_0 \cdot e^{-\alpha \cdot \tau} \quad (6)$$

V rovnici (6) značí:

$\alpha$  - konstantu, kteří je závislá na molekulové váze polyméru  
a na jeho struktuře

$\eta_0$  - viskozitu při zvolených základních podmínkách zkoušky

$e$  - základ přirozených logaritmů

Z rovnice (6) vyplývá, že viskozita tavenin lineárních polymérů klesá se zvyšujícím se smykovým napětím podle exponenciální křivky.

Vliv molekulové váhy polymérů na viskozitu taveniny vyjadřuje vztah:

$$\eta_3(M) = M^\beta \quad (7)$$

kde  $\beta$  je konstanta, která je např. u lineárních polymérů rovna 3,4 až 3,5.

Výsledný vztah, který zahrnuje všechny sledované veličiny, má tvar:

$$\eta = K \cdot M^\beta \exp\left(\frac{E}{RT} - \alpha \cdot T\right) \quad (8)$$

Do konstanty K byly zahrnutы všechny konstantní hodnoty z předcházejících vzorců.

Na základě rovnice (8) je možno učinit tyto závěry:

1. Stupeň orientace molekul je tím vyšší, čím je větší molekulová váha polyméru. V případě polyolefinů se orientace zvyšuje se zmenšujícím tavným indexem.
2. Orientace klesá se zvyšující se vstříkovací teplotou.
3. Má klesat i se zvyšujícím se vstříkovacím tlakem, který snižuje vinkelitu taveniny.

#### 3.4.1.2. Vliv relaxace napětí

Po ukončení toku taveniny se molekuly nacházejí v napřímeném, orientovaném stavu, který je však termodynamicky nestabilní. Proto se molekuly snaží přejít do rovnovážného stavu. Tento děj je provázen relaxací napětí.

Vztah popisující průběh relaxace napětí se získá na základě analýzy Maxwellova modelu, pro který platí následující tensorová rovnice:

$$S' + \frac{\gamma}{\eta} \cdot \dot{S}' = 2\gamma \cdot \dot{N}' \quad (9)$$

V rovnici (9) znamená:

$S'$  - deviátor tenzoru napětí

$\dot{S}' = \frac{dS'}{dt}$  - změnu deviátora tenzoru napětí s časem

$\dot{\eta} = \frac{d\eta}{dt}$  - změnu deviatoru tenzoru deformace s časem

G - modul pružnosti ve smyku

Doplňením této obecné rovnice (9) se obdrží:

$$\tau + \frac{\gamma}{G} \cdot \frac{d\tau}{dt} = \gamma \cdot \frac{d\eta}{dt} \quad (10)$$

kde  $\gamma$  je zkosa.

Jakmile se deformace v určitém čase zastaví, tzn. když tavenina vyplní celou dutinu vstřikovací formy, platí:

$$\frac{d\eta}{dt} = \phi \quad (11)$$

takže:  $\frac{\tau}{\gamma} + \frac{1}{G} \cdot \frac{d\tau}{dt} = \phi$  (12)

a po separaci proměnných:

$$\int_{\tau_0}^{\tau} \frac{d\tau}{\tau} = -\frac{G}{\gamma} \int_0^t dt \quad (13)$$

se integrací získá konečný tvar:

$$\tau = \tau_0 \cdot e^{-\frac{G}{\gamma} \cdot t} \quad (14)$$

Relaxace napětí v závislosti na čase tedy probíhá podle exponenciální křivky. Poměr

$$\frac{\tau}{\tau_0} = t_{rel} \quad (15)$$

je označován jako relaxační doba. Při neměnné teplotě je  $t_{rel}$  konstantou a představuje potom materiálovou konstantu určenou hodnotami  $\gamma$  a G.

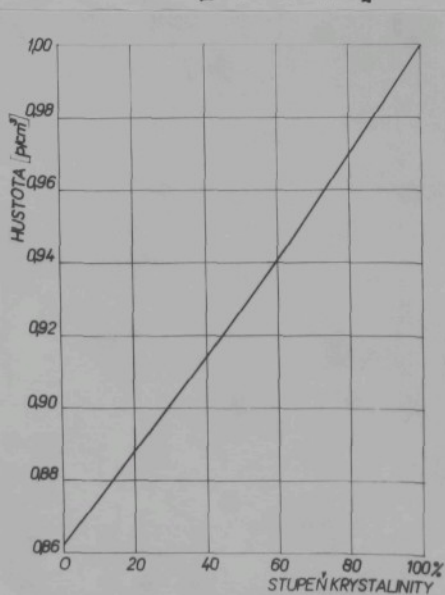
Při vyplňování dutiny vstřikovací formy ovšem teplota hmoty není konstantní, ale v určitém bodě vystřiku je funkce

času. Proto v tomto případě není relaxační doba konstantou, ale závisí také na čase. Její změna je ovlivněna jak změnou viskozity, tak změnou modulu pružnosti, které jsou v daném místě funkci teploty. Protože se viskozita s klesající teplotou mní rychleji než modul pružnosti ve smyku, relaxační doba se při poklesu teploty zvětšuje a relaxace napětí probíhá pomaleji.

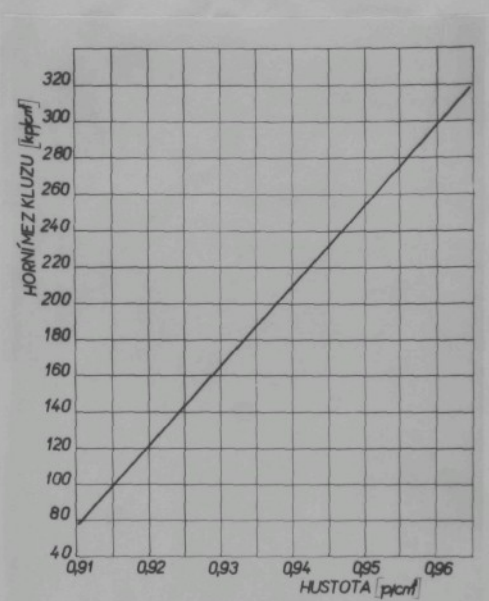
Bylo prokázáno, že i stoupající tlak, který působí na taveninu v dutině vytvárací formy během dotlačování, způsobuje zpomalení relaxačního procesu v důsledku snížení pohyblivosti molekul [29].

### 3.4.1.3. Vliv kryštalizace

Fyzikálně mechanické vlastnosti krytalizujících polymérů jsou velmi závislé na stupni krytalinitety, jak je zřejmé z obr. 6 a 7 [30;50;51;52].

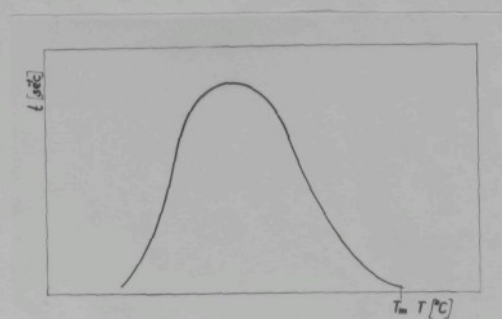


Obr. 6. Závislost hustoty polyetylenu na stupni krytalinitety



Obr.7. Závislost horní meze kluzu polystylénu na jeho hustotě

Pro krystalizaci plastických hmot platí analogické zákony jako pro krystalizaci kovů, tj. v prvním stadiu se tvoří krystalické zdrodky, z nichž vyrůstají krystality. Rychlosť krystalizace závisí na teplotě, jak je patrné z obr. 8 [1] :



Obr.8. Obecná závislost krystalizační rychlosťi na teplotě T

Polymér začíná krystalizovat až pod oblastí tání  $T_m$ .

Rychlosť krystalizace se s klesající teplotou zvyšuje až k maximu, odkud nastává opět pokles v důsledku snížené pohyblivosti molekul. Prudkým ochlazením je možno krystalizační rychlosť zpomalit a získat výrobek s nízkým stupněm krystalinity. Tato termodynamicky nestabilní struktura během doby nebo při zvýšené teplotě ovšem může přejít ve strukturu stabilní.

Při vstřikování přichází tavenina polyméru o vysoké teplotě do bezprostředního styku s chladnou formou. Povrchové vrstvy taveniny jsou zprudka ochlazeny, a proto je jejich stupeň krystalinity nízký. Vnitřní vrstvy jsou však po povrchovými vrstvami tepelně izolovány, takže mají pro krystalizaci lepší podmínky. Důsledkem je nestejný stupeň krystalinity v průřezu výstřiku.

Je možné předpokládat, že k nehomogenitě z hlediska krystalinity dochází i ve směru podélné osy výstřiku. To vyplývá z následující úvahy: Plnení dutiny vstřikovací formy vyžaduje jistý čas, přibližně několik desetin vteřiny. Tavenina v blízkosti ústí vtoku je ochlazována relativně nejdelší dobou a tloušťka ztuhlé povrchové vrstvy by zde měla být největší. Avšak v těchto místech tavenina teče nejrychleji, což chladnutí naopak zpomaluje. Tavenina na samém konci dutiny chladne nejkratší dobou. Z toho vyplývá, že tloušťka ztuhlé vrstvy prochází maximem, které leží mezi ústím vtoku a okrajem výstřiku.

Jiná nestejnoměrnost krystalinity může vznikat tím, že chladící vodní kanály nebjížvají zcela správně ve vstřikovací formě rozmištěny. Některé části dutiny formy jsou proto

ochlazovány intenzivněji než druhé. Dosažení úplně stejné teploty ve všech místech dutiny formy je ovšem nejen z praktického, ale i z čistě teoretického hlediska složitý problém.

Na nerovnoměrné rozložení hustoty v příčném směru výstřiku poukázal Stockmeir [50] u polyetylénu a Boukal [12] u polypropylénu. Stockmeir [50] a Krebs [28] pozorovali nestejnomořné rozložení hustoty také v podélném směru polyetylénových výstříku: největší hustota byla nalezena v blízkosti ústí vtoku.

Je možno předpokládat, že krystallizace ovlivní i stupeň orientace molekul. S krystallizací je totiž spojen určitý pohyb molekul, který napomáhá snížení orientace molekul. Vliv orientace molekul na mechanické vlastnosti výstříku se tedy krystallizací zmenšuje. Vzrůst hustoty ovšem vyvolává současně zvýšení mechanických vlastností, takže konečná hodnota vlastnosti je výsledkem obou pochodů.

### 3.4.2. Vliv podmínek zpracování na orientaci molekul a na vlastnosti výstříku

Podmínky zpracování mají tak velký význam proto, že mohou být měněny u všech moderních vstříkovacích línii v širokých mezech. Tím je dána možnost značně ovlivňovat fyzikálně mechanické vlastnosti finálního výstříku.

Nejdůležitější vlivy jsou:

#### 3.4.2.1. Vliv vstříkovací teploty

Zvyšování vstříkovací teploty má za následek snížení

vískozity taveniny. Při nízké vískozitě vznikají v tavenině během toku jen malá smyková napětí a dochází jen k nízkému stupni orientace molekul. Protože se relaxační doba zmenšuje s poklesem vískozity, relaxace napětí dosahuje vysokého stupně. Teoreticky by ovšem snížení vískozity mohlo způsobit i výsledek zcela opačný, neboť při nízké vískozitě se zvyšuje rychlosť tečení taveniny v dutině formy a to by mohlo vést k vyšší orientaci.

Praktické pokusy však ukazují, že převládá první děj a že zvýšení vstříkovací teploty způsobuje pokles orientace molekul, což se projevuje nízkými hodnotami mechanických vlastností vystříků. Toto potvrdili Kvjatkovskaja [29], Just [22], Stockmair [51] a jiní. Abramov [1] pozoroval, že vliv vstříkovací teploty na změnu mechanických vlastností nebyl u všech druhů polyetylénu stejný.

#### 3.4.2.2. Vliv vstříkovacího tlaku

Zvýšení vstříkovacího tlaku způsobuje vzrůst rychlosti tečení taveniny v dutině vstříkovací formy. Jak vyplývá z vedenových zákonů, je zvýšení rychlosti větší než odpovídá lineární úměrnosti. Zvýšená rychlosť je příčinou vyššího stupně orientace molekul. Na druhé straně má však zvýšená rychlosť za následek snížení vískozity, což přiznivě ovlivňuje relaxaci napětí. Vnitřní tlak nenávratně všechny vstříkovací formy stejnou hodnotu. Nejvyšší je v bezprostřední blízkosti ústí vtoku a postupně k okraji se snižuje. V různých místech dutiny proto existují rozdílné podmínky jak pro vznik orientace molekul, tak pro relaxaci napětí.

Vše, co by dosud řečeno o vlivu tlaku, platí pro vlastní plnění dutiny formy. Ale tlak ovlivňuje poměry v dutině ještě během doby dotlačování. Přiřeš vysoký tlak znesnadňuje pohyb molekul, který je nejdůležitějším předpokladem pro relaxaci napětí. S tím souvisí i zhoršení podmínek pro průběh relaxace.

Na základě těchto úvah lze očekávat, že zvyšování vstřikovacího tlaku bude mít za následek vzrůst mechanických vlastností výstřiku. Toto potvrzuje Abramov [1] a Mamedov [32].

#### 3.4.2.3. Vliv doby plnění dutiny

Rychlosť plnění dutiny vstřikovací formy a s tím spojená doba plnění sice nejsou samostatné technologické veličiny, protože závisejí na jiných faktorech, např. na vstřikovacím tlaku a vstřikovací teplotě, ale přesto je nutné analyzovat jejich vliv na orientaci molekul a na vlastnosti výstřiku.

Čím je rychlosť plnění větší, tím jsou molekuly ve směru toku více orientovány a tím je i vyšší stupeň vytvořené orientace. Pomalé cíhnutí hmoty v důsledku rychlého tečení naopak orientaci snižuje. V literárních údajích převládá názor, že první děj má větší význam než druhý. Souvisí to bezpochyby i s tím, že doba plnění je velmi krátká a činí jen několik desetin vteřiny. Staub [49] zjistil, že doba plnění výstřiku z lineárního polyetylénu o rozměrech asi  $50 \times 225 \times 2$  mm činila 0,35 vteřiny. Podobně uvádí Seyfahrt [43], že doba plnění u polystyrénové kruhové desky o průměru 140 mm a tloušťce 2 mm byla 0,44 vteřiny.

Marešov [32] tvrdí, že prodloužení doby plnění způsobuje snížení mechanických vlastností výstřiku. Vzrůst mechanických vlastností zvyšováním vstřikovacího tlaku přičítá hlavně vlivu zvýšené rychlosti plnění a následující fixace orientované struktury nikoliv vlivu vlastního vstřikovacího tlaku.

#### 3.4.2.4. Vliv doby dotlačování

Ochladováním taveniny v dutině formy se zmenšuje její objem a do uvolněného prostoru je vtlačována další hmota. Tavenina v dutině vstřikovací formy tuhne od stěn a od okraje výstřiku. To znamená, že hmota vtlačená do dutiny během dotlačování zůstává v blízkosti ústí vtoku. V těchto místech se však nachází také hmota, která vtekla do dutiny jako první a která má již nízkou teplotu. Čím je doba dotlačování delší, tím je rozdíl teplot obou hmot větší a tím větší jsou i snykové napětí ve hmotě. Tím vzniká i větší orientace molekul, která dosahuje maxima v blízkosti ústí vtoku. Velikost pnutí závisí i na délce doby dotlačování. Orientace je největší tehdy, když vstřikovací tlak působí až do bodu zatuhnutí ústí vtoku.

Prodloužení doby dotlačování tedy zvyšuje orientaci molekul i mechanické vlastnosti výstřiku, a to až k určité maximální hodnotě odpovídající bodu zatuhnutí. Délce zlepšují na konstantní výši, protože vstřikovací tlak nemůže působit na hmotu v dutině formy [19;29].

### 3.4.2.5. Vliv teploty vstříkovací formy

Čím je teplota vstříkovací formy vyšší, tím se tavenina pomaleji ochlazuje. Tloušťka orientované povrchové vrstvy je tedy malá. Kromě toho relaxace napětí může proběhnout ve velkém měřítku. Vliv orientace molekul na mechanické vlastnosti výstříku se tedy snižuje.

U krystalizujících plastických hmot se při vyšší teplotě vstříkovací formy zvyšuje stupeň krytalinity, což vede ke zvyšování mechanických vlastností [24].

### 3.4.3 Vliv faktorů souvisejících s konstrukcí vstříkovací formy a funkcí vstříkovacího lisu na orientaci molekul a na vlastnosti výstříku

Také faktory, které jsou spojeny s konstrukcí vstříkovací formy a s funkcí vstříkovacího lisu, velmi podstatně ovlivňují stupeň orientace molekul a tedy i mechanické vlastnosti výstříku. Nejdůležitější jsou tyto vlivy :

#### 3.4.3.1. Vliv tloušťky výstříku

Jak již bylo uvedeno je orientace molekul soustředěna v poměrně tenké vrstvě při porvchu výstříku. Ve vrstvách dostatečně vzdálených od povrchu je orientace rovna nule. Tloušťka orientované vrstvy závisí hlavně na podmínech ochlazování, tedy nikoliv přímo na tloušťce výstříku. Z těchto důvodů lze předpokládat, že poměr orientovaných vrstev k celkovému objemu výstříku je u tlustých výstříků menší než u tenkých.

U tlustostěnných výstřílek má tedy orientace molekul relativně menší vliv na mechanické vlastnosti, které jsou tudíž nižší.

Mimo to lze očekávat, že u tlustého výrobcu je rychlosť proudění taveniny menší než u tenkého. Rovněž to má za následek nižší stupeň orientace.

Tyto úvahy byly experimentálně potvrzeny Mamedovem a Kavavcem [33], Krebsem a Velikovskou [26].

#### 3.4.3.2. Vliv průřezu ústí vtoku

Vytékání taveniny z ústí vtoku o malém průřezu, např. o průměru 1 mm, je velmi chaotické a tavenina vytváří po výstupu nepravidelnou spirálu. Čím je průřez větší, tím je výtok rovnomořnejší a plynulejší.

Chaotické tečení zhoršuje podmínky pro vznik orientované struktury. To vysvětluje, proč výstřísky vstříkováné bodovým ústím vtoku vykazují nízké smrštění za tepla i nízké hodnoty mechanických vlastností [1;32].

Malý průřez ústí vtoku ovlivňuje také rychlosť plnění dutiny vstříkovací formy. Tato se snižuje, čemuž odpovídá i nižší stupeň orientace molekul [25]. Mimo to malé ústí vtoku rychle zatuhne, takže doba dotlačování je krátká a důsledkem je rovněž snížení orientace molekul.

#### 3.4.3.3. Vliv konstrukce vtokového kanálu

Konstrukce vtokového kanálu také ovlivňuje podmínky plnění dutiny formy. Úzký a dlouhý vtokový kanál vyvolává velké ztráty tlaku, takže tavenina je do dutiny vstříkována nízkým

tlakem a výsledkem je malá orientace molekul.

#### 3.4.3.4. Vliv tvaru dutiny vstříkovací formy

Dutina vstříkovací formy má být konstruována tak, aby tloušťka výstříku byla podle možnosti všeude stejná. Jestliže tento požadavek není splněn, mění se podmínky plnění od jednoho místa dutiny k druhému. Důsledkem je rozdílný stupeň orientace molekul v různých místech výstřiku. Takový výstřík je velmi nestejnorodý a mnohdy nelze spolehlivě určit místo s nejvíce mechanickými vlastnostmi.

Velká nestejnorodost vzniká v místech studených spojů. Tento problém však leží mimo rámec této práce.

#### 3.4.4. Vliv přídavných prutů na vlastnosti výstříku

Jestliže se tavoní na během ochlazování v dutině formy nemůže volně smršťovat, vznikají ve výstříku další přídavná prutí. Bývá to často způsobeno např. kovovými zálišky, ale i vlastním tvarem výstříku. Ku příkladu u zkoušebního tělesa pro stanovení pevnosti v tahu, zvaného "očko", se střední část nemůže volně smršťovat, protože to tvar nedovolí. Tak vznikají ve zúžené části tělesa přídavná prutí, která jsou ochlazením fixována. V uvedeném případě jsou vyvolaná prutí rozdělena po celém průřezu tělesa rovnoměrně.

Jiná přídavná prutí mohou být vyvolána vyhazovači. Jestliže je výstřík vyhazován z dutiny ještě částečně plastický, mohou být některé jeho části namáhaný vyhazovači nad mez kluzu. Při tom dochází k plastickému přetváření těchto částí.

Přetvoření zůstává ve výstřiku po ochlazení přitomno jako vnitřní pnutí. Tato pnutí nejsou v průřezu výstřiku konstantní a mohou to být jak pnutí tříkové, tak tlaková [25].

### 3.5. Anizotropie a nestejnorođost výstřiku

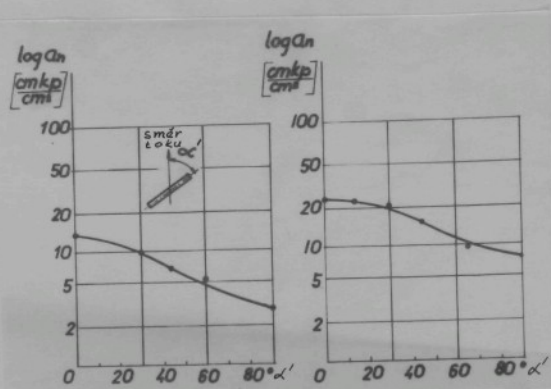
Vnitřní struktura výstřiku neodpovídá termodynamické rovnováze, protože kus pořádání molekul do tvaru s minimální volnou energií není během vystřikování dostatek času. Výsledkem je nestejnoměrnost vlastnosti v různých místech výstřiku.

Nestejnoměrnost vlastnosti se projevuje jednak jako anizotropie, jednak jako nestejnorođost čili nehomogenita vlastností.

a) Anizotropie vlastností je důsledkem orientace molekul.

Orientace zvyšuje hodnoty mechanických vlastností tehdy, když je zkušební těleso namáháno tak, že lom vzniká kolmo ke směru orientace molekul.

Anizotropie mechanických vlastností byla pozorována Orthmannem [38] u polystyrénu. Výsledky na obr. 9a a 9b ukazují, že náklonost k anizotropii není u všech druhů plastických hmot stejná. Kopolymér vykazoval menší sklon k anizotropii.



Obr. 9a

Obr. 9b

Závislost rázové houževnatosti  $a_n$  na směru odebíráni zkoušeného tělesa  $\alpha'$   
pro: 9a - normální polystyrén  
9b - kopolymér styrén-akrylonitril

Také Horsley a Lee [20] nalezli, že vrubová houževnatost výstřiků z houževnatého polystyrénu je ve směru tečení hmoty asi trojnásobná než ve směru kolmém. Mez pevností v ohýbu byla ve směru toku asi o 50 % vyšší. K podobným závěrům dospěli také Mamedov a Kanavec [32].

Anizotropii zkoušených těles zkoumal rentgenograficky Boukal [12].

b) Nestejnorodost čili nehomogenita vlastností představuje takové rozdělení vlastností ve výstřiku, kdy jejich hodnota závisí na souřadnicích  $x, y, z$ , tedy např. :

$$\sqrt{P_x}(x, y, z) \neq \text{konst.} \quad (16)$$

kde znamená:

$\sqrt{P_x}$  - měřenou vlastnost, např. horní mez kluzu ve směru osy  $x$

$x, y, z$  - souřadnice systému.

Nestejnorodost vlastností může vznikat jak napříč výstříkem, tak i v jeho podélném směru. V obou případech spočívají příčiny v rozdílných podmínkách zpracování, které se mění od místa k místu.

Nestejnorodost byla zjištěna Krebsem a Velikovskou [26] u polypropylénu, z něhož byly vystříknuty pásky o rozměrech 2x30x500 mm a z těch byla vyříznuta mikrotělesa pro tahovou zkoušku orientovaná ve směru toku, ale v různé vzdálenosti od místa ústí vtoku. Mez pevnosti v tahu a tažnost těles jsou uvedeny v tab. 2.

Tab.2. Závislost meze pevnosti v tahu a tažnosti polypropylénových mikrotěles na vzdálenosti od ústí vtoku

Vzdálenost od ústí [mm]	Mez pevnosti v tahu [kp/cm <sup>2</sup> ]	Tažnost [%]
9	302	160
259	261	333
359	227	373

### 3.6. Teoretické řezení vstříkovacího procesu

I když jsou vnější technologické podmínky při vstříkování konstantní, podmínky uvnitř dutiny vstříkovací formy se od jednoho místa k druhému navzájem liší. Důsledkem toho je, že ani fyzikálně mechanické vlastnosti výstřiku nemohou být ve všech místech shodné.

Nestejnost vlastností má příčinu jednak v ochlazování taveniny, jednak v poklesu vnitřního tlaku v dutině vstříkovací formy. Ochlazování probíhá především v příčném směru

výstřiku; to je od jeho povrchu ke středu, ale také ve směru podélném, to je od místa ústí vtoku k okraj výstřiku. K poklesu vnitřního tlaku v podélném směru výstřiku dochází vlivem tlakových ztrát. Změna tlaku je důležitá proto, že tlak ovlivňuje jak vznik orientace molekul, tak i relaxaci napětí.

V teoretickém rozboru je třeba prosetřít následující problémy :

- 1) Přesvědčit se, zda ochlazování povrchových vrstev během plnění dutiny vstříkovací formy je z hlediska objemu výstřiku zanedbatelné a nebo je nutno brát je v úvahu.
- 2) Odvodit rozdílení vnitřního tlaku v dutině vstříkovací formy jednoduchého tvaru během doby plnění.
- 3) Objasnit pojem "směr tečení taveniny" na základě odvození směru pohybu molekul při zaplňování dutiny jednoduchého tvaru.

### 3.6.1. Ochlazování taveniny během doby plnění

Ochlazování taveniny během plnění dutiny vstříkovací formy ovlivňuje tloušťku orientovaných vrstev. Aby bylo možné zhodnotit, do jaké míry se ochlazování uplatní při vzniku orientace molekul, je nutné znát rychlosť ochlazování.

Ochlazování taveniny v dutině vstříkovací formy je nestacionární dej. V tomto případě pro ochlazování nekonečné desky platí vztah (17) [48]:

$$\frac{Q_w}{Q_a} = \frac{4}{\pi} e^{-\left(\frac{\pi}{2}\right)^2 F_0} \left( 1 - \frac{1}{3} e^{-\delta \left(\frac{\pi}{2}\right)^2 F_0} + \frac{1}{5} e^{-2\delta \left(\frac{\pi}{2}\right)^2 F_0} - \dots \right) \quad (17)$$

V rovnici (17) znamenají :

$Q_m$  - rozdíl teplot mezi povrchem a středem desky po čase t

$Q_a$  - rozdíl teplot vstříknuté taveniny a stěny dutiny formy  
na počátku ochlazování

e - základ přirozených logaritmů

Fo - Fourierovo číslo

Jestliže je Fourierovo číslo větší než 0,2, blíží se  
výraz v závorkách jedné a rovnici (17) je možno dále zjedno-  
dušit. Při ochlazování polymérní taveniny v kovové formě je  
tato podmínka dobré splněna, protože teplota povrchové vrstvy  
výstřiku se prakticky okamžitě rovná teplotě povrchu dutiny  
formy, takže Fourierovo číslo je mnohem větší než 0,2.

Rovnice (17) pak přejde do tvaru :

$$\frac{Q_m}{Q_a} = \frac{4}{\pi} \cdot e^{-(\frac{\pi}{2})^2 \cdot Fo} \quad (18)$$

Fourierovo číslo je dán vztahem :

$$Fo = \frac{a \cdot t}{h^2} \quad (19)$$

kde je :

t - čas

h - tloušťka desky. V uvažovaném případě je deska ochlazová-  
na z obou stran, a proto musí být do rovnice dosazeno  
pouze  $h/2$ .

a - teplotní vodivost, která je dána vztahem :

$$a = \frac{\lambda}{c_p \cdot \rho} \quad (20)$$

přičemž :

$\lambda$  - tepelná vodivost

$\rho$  - hustota

$c_p$  - měrné teplo

Po dosazení a úpravě rovnice (17) se získá výraz pro čas potřebný k ochlazení desky o tloušťce  $h$  :

$$t = \frac{4}{\pi^2} \left( \frac{\ell}{2} \right)^2 \cdot \frac{1}{\alpha} \cdot \ln \left( \frac{4}{\pi} \cdot \frac{Q_0}{Q_{\text{m}}} \right) \quad (21)$$

Pomocí rovnice (21) je možné vypočítat teoretickou tloušťku ztuhlé povrchové vrstvy výstřiku, která se vytvoří ochlazením taveniny během doby plnění dutiny vstřikovací formy. Hodnota teplotní vodivosti  $\alpha$  byla převzata z údajů P. Seyfahrtu [43]. Teplotní vodivost pro nejdůležitější druhy plastických hmot a pro rozmezí teplot 20 až 200 °C je v tabulce 3.

Tab.3. Hodnota teplotní vodivosti  $\alpha$ .

Druh hmoty	PEV	PEN	PS	PA
$\alpha \cdot 10^4 \text{ [cm}^2/\text{sec}]$	7,86	7,29	7,58	9,44

Význam zkratek :

PEV - rozvětvený polyethylén

PEN - lineární polyethylén

PS - normální polystyrén

PA - polyamid

Tlušťka ztuhlé vrstvy ve výstřiku z lineárního polyethylénu byla vypočítána pro následující zvolené podmínky :

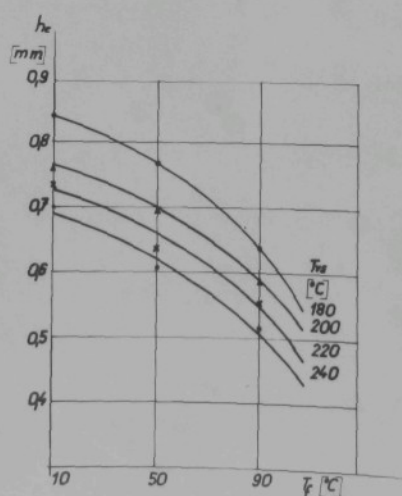
a) Doba plnění 0,5 vteřiny. Tento údaj sice může záviset na tloušťce výstřiku, ale předpokládá se, že u tlustých výstřiků se ztráty tlaku v dutině vstřikovací formy zmenšují, takže za jednotku času protéče dutinou větší množství

taveniny a celková doba plnění zůstane přibližně stejná.

Zvolená doba se opírá o údaje v literatuře [43;49].

- b) Teplota vstřikovací formy : 10, 50 a 90 °C; vstřikovací teplota v rozmezí 180 až 240 °C. Teplotní vodivost byla považována za konstantní v celé této oblasti.
- c) Nejnižší teplota taveniny, při které může být tavenina lineárního polyetylénu ještě tvářena byla zvolena 140 °C.
- d) Předpokládá se, že se tavenina nepohybuje.

Za těchto předpokladů byla vypočítána tloušťka ztuhlé vrstvy  $h_e$ , která se vytvoří ve výstřiku ochlazením taveniny ze vstřikovací teploty na teplotu nižší než 140 °C. Závislost tloušťky  $h_e$  na teplotě vstřikovací formy a vstřikovací teplotě je na obr. 10. Vypočítaná tloušťka  $h_e$  představuje vrstvu v celém výstřiku, t.zn., že u každého povrchu je vrstva tlustá  $h_e/2$ . Tato vrstva má na jednom povrchu teplotu rovnu teplotě vstřikovací formy, na druhém, vnitřním povrchu, teplotu 140 °C.



Obr.10. Závislost tloušťky vrstvy  $h_e$  ve výstřiku tvaru desky na teplotě formy  $T_f$  a vstřik. teplotě  $T_{inj}$

Vypočítané hodnoty jsou uvedeny v tab. 31 v příloze I.

Ve skutečnosti je tloušťka ztuhlé vrstvy menší než bylo vypočítáno, protože se tavenina během ochlazování pohybuje. Uvedené hodnoty tedy představují tloušťku pro nejméně příznivé podmínky.

Z obr. 10 vyplývá, že tloušťka ztuhlé vrstvy je při nízkých teplotách vstříkovací formy a nízké vstříkovací teplotě značná. Vrata  $h_e$  se vytváří postupně během celé doby plnění a je tvořena vysoce orientovanými molekulami, protože relaxace molekul v této vrstvě nemohla proběhnout. Celková tloušťka orientované vrstvy je však větší než odpovídá ztuhlé vrstvě a to o tloušťku neodrelaxovaných molekul orientovaných vlivem rychlostního gradientu mezi ztuhlou povrchovou vrstvou a středem výstřiku.

Z teoretického řešení je patrné, že ochlazování taveniny během vstříkování není možno zanedbat, i když proces plnění probíhá velice krátkou dobu.

### 3.6.2. Rozdělení vnitřního tlaku v dutině vstříkovací formy jednoduchého tvaru během procesu plnění

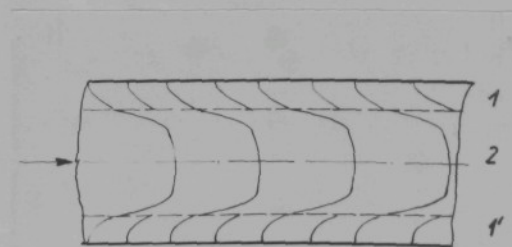
Velikost pnutí v důsledku orientace molekul závisí na velikosti snykových napětí. Toto napětí mohou vzniknout jen během toku taveniny, to znamená, že pro vznik orientace je nejdůležitějším obdobím plnění dutiny vstříkovací formy.

Aby bylo možno zhodnotit vliv snykových napětí na orientaci molekul je nutné znát rozložení vnitřního tlaku v dutině vstříkovací formy. Logicky lze ucoutit, že tento tlak je nejvyšší v okolí ústí vtoku a na čele prouducí taveniny je

nejnižší. Problém rozložení tlaku v dutině vstříkovací formy studovali Ballman a Toor [4] a na základě reologických vztahů odvodili teoretickou rovnici, jejíž numerické řešení je však velmi obtížné a ve většině případů nemožné.

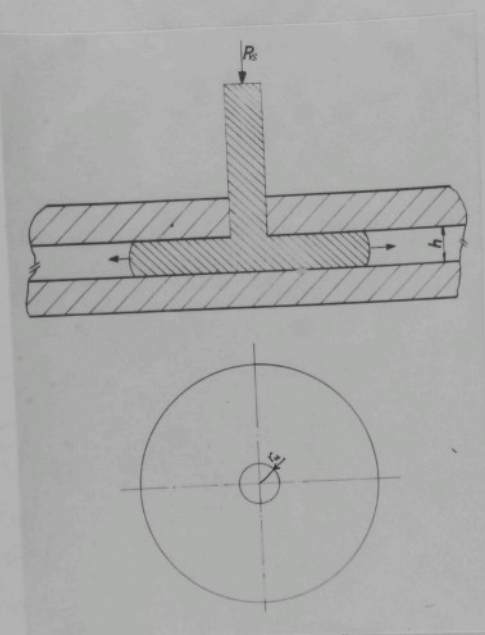
Proto týká v této práci k řešení problému navržena a použita následující hypotéza :

Tavenina polyméru je považována za ideálně plastické těleso. Vlastní pohyb taveniny v dutině formy probíhá tak, že mezi dvěma stuhlymi povrchovými vrstvami polyméru 1 a 1' je posunována střední vrstva 2 ve tvaru desky. Pouze na kluzných plochách se uvažuje přítomnost "kapalného" polyméru, který působí jako mazadlo. Protože jsou molekuly polyméru velmi dlouhé, dochází vlivem pohybu na stykové ploše k jejich orientaci podle obr. 11. Tloušťky povrchových vrstev 1 a 1' i střední vrstvy 2 jsou považovány během celé doby plnění ze konstantní.



Obr. 11. Schematické znázornění toku polymerní taveniny v dutině tvaru desky

Za uvedených předpokladů je možno případ řešit s použitím vztahů z teorie plasticity. Plnění dutiny formy může být znázorněno pomocí modelu na obr. 12.

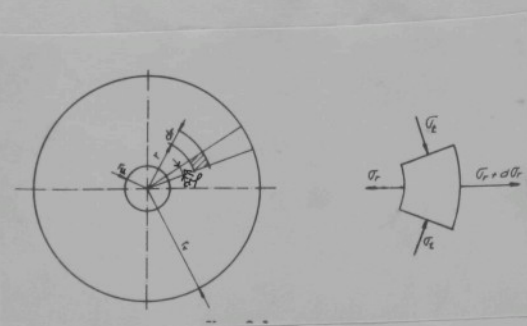


Obr.12. Vyplňování dutiny kruhové formy taveninou plastické hmoty

Tavenína polyméru představuje plastickou tyč kruhového průřezu a je působením vnějšího tlaku  $P_{vs}$ , který odpovídá vstřikovacímu tlaku, vtlačována do dutiny formy o konstantní tloušťce  $h$ . Ústí vtoku má poloměr  $r_u$ . Protože povrchové vrstvy vystříku působí jako tepelný izolátor, lze předpokládat, že se střední vrstva pohybuje za izotermických podmínek.

Na základě tohoto modelu je možno určit rozložení napětí v libovolném místě taveniny v dutině vstřikovací formy

[18;40;41]. Napětí se určí z podmínky rovnováhy sil na vytknutém elementu dle obr. 13.



Obr. 13. Rozložení sil působících na element vstřikovaného tělesa

Pro rovnováhu sil platí :

$$(\tilde{\sigma}_r + d\tilde{\sigma}_r)(r + dr)h \cdot d\varphi - \tilde{\sigma}_t h \cdot r d\varphi - 2\tilde{\sigma}_t h \cdot dr \sin \frac{d\varphi}{2} = 0 \quad (22)$$

kde je

$\tilde{\sigma}_r$  - radiační napětí

$\tilde{\sigma}_t$  - tangenciální napětí

h - tloušťka dutiny

$\varphi$  - úhel

Protože je úhel  $\varphi$  velmi malý, platí :

$$\sin \frac{d\varphi}{2} \approx \frac{d\varphi}{2} \quad (23)$$

Po dosazení do (22) a zanedbání členu  $d\tilde{\sigma}_r dr$

jehož hodnota je nepatrná, se úpravou získá :

$$d\tilde{\sigma}_r \cdot r + (\tilde{\sigma}_r + \tilde{\sigma}_t) dr = 0 \quad (24)$$

Z podmínek při vstřikovacím procesu vyplývá, že  $\tilde{\sigma}_r < 0$

to znamená, že  $\tilde{\sigma}_r$  je napětí tlakové a  $\tilde{\sigma}_t$  je větší než 0 a představuje napětí tahové. Molekuly jsou tedy během vstřikování namáhany v radiačním směru tlakovém a ve směru tangenciálním tahovým napětím.

S ohledem na symetrii tělesa jsou  $\sigma_r$  i  $\sigma_t$  napětí hlavní.  
Třetí hlavní napětí  $\sigma_L$  ve směru tloušťky desky je možno  
pro zjednodušení uvažovat rovné nule, tedy  $\sigma_L = 0$ .  
Z Treskovy podmínky plasticity platí, že

$$\sigma_t - \sigma_r = \sigma_K \quad (25)$$

kde  $\sigma_L$  je mez kluzu plastické taveniny.

Dosazením do (24) se obdrží :

$$d\sigma_r \cdot r - \sigma_K \cdot dr = 0 \quad (26)$$

Řešením se získá :

$$d\sigma_r = \sigma_K \frac{dr}{r} \quad (27)$$

a konečně

$$\sigma_r = \sigma_K \cdot \ln r + C_s \quad (28)$$

Hodnota konstanty  $C_s$  se stanoví z okrajových podmínek :  
Jestliže nemají vznikat ve výstříku žádná propadlá místa či  
dutiny, musí na cele taveniny na poloměru  $r_v$  po vyplnění celé  
dutiny působit ještě určité radiační napětí. Tedy pro  $r = r_v$   
platí :

$$C_s = \sigma_{rv} - \sigma_K \cdot \ln r_v \quad (29)$$

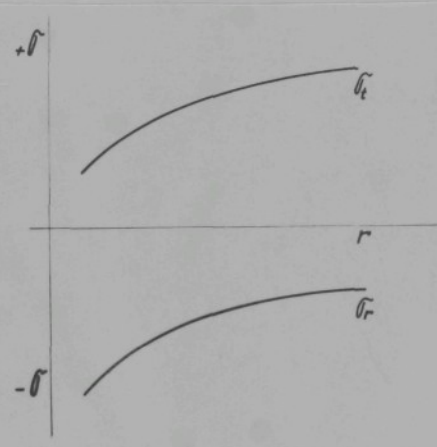
Napětí na poloměru  $r_v$  je pro konstantní podmínky vstříkování  
konstantou, která je označena  $K_s$ . „Dlouhé napětí v kru-  
hové vstříkovací formě v závislosti na poloměru je rozlože-  
no podle vztahu

$$\sigma_r = \sigma_K \cdot \ln \frac{r}{r_v} + K_s \quad (30)$$

Dosazením (30) do rovnice (25) se obdrží obdobný vztah pro rozložení tangenciálního napětí

$$\sigma_t = \sigma_k \left( 1 + \ln \frac{r}{r_0} \right) + k_p \quad (31)$$

Z rovnic (30) a (31) vyplývá, že obě napětí jsou v kruhovém výstříku během vyplňování dutiny rozložena podle logaritmické křivky. Graficky je tato znázorněno na obr. 14.



Obr.14. Průběh radiaálního napětí  $\sigma_r$  a tangenciálního napětí  $\sigma_t$  v kruhovém výstříku během vstříkování

Tlakové napětí v radiálním směru klesá se zvětšujícím se poloměrem, tangenciální napětí, které představuje napětí tahové, se zvětšuje s rostoucím poloměrem.

Po ochlazení a po uvolnění vstříkovacího tlaku se smyč obou napětí ve výstříku obrátí. V chladném výstříku se tedy projevuje vnitřní pnutí v radiálním směru jako tahové a tangenciální jako tlakové napětí.

Při zkoušení pevnosti v tahu na tělesech vyříznutých z výstřiku v radiaálním směru má radiaální napětí opačný směr než vnější síla a zvyšuje tedy naměřenou hodnotu. Mez pevnosti v tahu v radiaálním směru má tedy dosahovat nejvyšších hodnot v blízkosti ústí vtoku a nejnižších na okraji výstřiku.

Tangenciální napětí má stejný směr jako vnější síla při tahové zkoušce. Mez pevnosti v tahu se v důsledku toho snižuje. Tato hodnota je tangenciálním napětím ovlivněna nejméně v blízkosti ústí vtoku, kde má tangenciální napětí hodnotu nejmenší a kde tedy má být mez pevnosti v tahu nejvyšší. Naopak na okraji výstřiku je nejnižší.

V praxi ovšem nejsou poměry tak jednoduché vlivem relaxace napětí. Protože rychlosť relaxace závisí na tlaku, k největší dochází na okraji výstřiku a k nejmenší relaxaci u ústí vtoku. Tento důj může ještě částečně ovlivnit výsledky měření, především hodnoty mechanických vlastností měřených v tangenciálním směru.

### 3.6.3. Pohyb molekul v dutině formy během toku

Orientace molekul je způsobována ještě pohybem během toku dutinou vstříkovací formy. Směr pohybu, a tedy i směr orientace, však není vždy jednoznačný. Nejjednodušší případ nastává, když tavenina teče dlouhým úzkým kruhovým kanálem. Potom převládající směr pohybu molekul je shodný s podélnou osou kanálu.

Ko komplikovanějšímu případu dochází u plochých výstříků, které jsou vstříkovány středovým vtokem. Ze těchto podmínek se hmota pohybuje nejen v radiaálním směru, vedoucím

ke zvětšování průměru, ale i v tangenciálním směru následkem zvětšování obvodu. Důj odpovídá představě, že tavenina se šíří v soustředných kruzích, jejichž poloměr se stále zvětšuje.

U plochých výstříků jsou tedy molekulky orientovány jak ve směru radiálním, tak i tangenciálním. Jednomu z těchto směrů přísluší buď maximum nebo minimum mechanické vlastnosti, zatím co druhý extrém leží v některém jiném směru s minimální orientací molekul, pravděpodobně v blízkosti uhlopříčky mezi radiálním a tangenciálním směrem.

Úzký kruhový kanál a plochá deska představují dva extrémní případy z hlediska orientace molekul. Do oblasti mezi těmito extrémami je možno zařadit praktické výstříky.

#### 3.6.4. Závěry z teoretického řešení

Na základě teoretického řešení vstříkovacího procesu je možné učinit tyto závěry :

- 1.) Vliv rychlosti ochlazování při plnění dutiny vstříkovací formy nemůže být zanedbán, i když když během plnění činí jen několik desetin vteřiny.
- 2.) Vnitřní tlak v kruhové dutině vstříkovací formy a v podobných plochých dutinách, které jsou vstříkovány středovým vtokem, je během plnicího procesu rozložen podle logaritmické křivky. Tlak dosahuje maxima u ústí vtoku a klesá k okrajům výstřiku.
- 3.) Protože vnitřní tlak ovlivňuje orientaci molekul a stupeně orientace je spojen s mechanickými vlastnostmi výstříků, má ji tyto vylazovat stejný průběh jako vnitřní tlak, to je mají klesat od ústí vtoku k okrajům výstřiku.

4.) U plochých výstříků není směr toku molekul jednoznačný, protože nenastává tečení taveniny pouze v radikálním směru, ale i v tangenciálním. Z toho důvodu nejsou směry extrémních mechanických vlastností předem jasné.

### 3.7. Souhrn literárních a teoretických poznatků

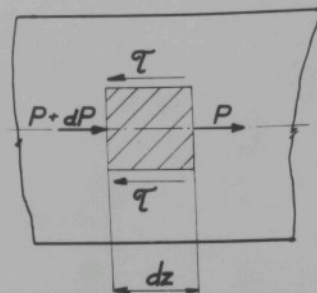
Fyzikálně mechanické vlastnosti výstříků jsou určovány technologickými podmínkami při vstříkování. Některé z těchto vlastností, jako rozměry a váha výstříku, jsou závislé na termodynamických veličinách taveniny odpovídajících bodu zahunutí.

Mechanické vlastnosti výstříků se stávají ze dvou složek: Prvá představuje hodnotu základní vlastnosti, to je vlastnost, která odpovídá plastické hmotě prosté vnitřního prutí, druhá složka reprezentuje vliv podmínek zpracování.

Hodnota této druhé složky souvisí s velikostí vnitřního prutí. Ve výstříku jsou přítomny dva druhy prutí:

- 1.) Prutí vznájící jako důsledek ochlazování taveniny v dutině vstříkovací formy. Jeho význam je velmi malý.
- 2.) Prutí jako důsledek orientace molekul. To ovlivňuje mechanické vlastnosti výstříku význačným způsobem.

Prutí z orientace molekul závisí na různých technologických faktorech, ale vlastní příčinou jsou ve všech případech smyková napětí. Jejich velikost souvisí s tlakovým spádem v dutině vstříkovací formy. Vyplývá to z rovnováhy sil působících na element pohybující se taveniny, jak je zřejmo z obr. 15.



Obr.15. Znázornění rovnováhy sil na  
elementu pohybující se tavenině

Pro rovnováhu sil platí vztah :

$$\tau = \text{konst.} \quad \frac{dP}{dz} \quad (32)$$

kde znamená :

konst. - konstantu zahrnující vliv rozměrů elementu

$dP$  - změnu tlaku podél vzdálenosti  $dz$

Protože stupeň orientace molekul je přímo úměrný smykovému napětí, platí následující souvislosti :

1. Zvyšující se vstřikovací teplota snižuje viskozitu taveniny.

Tím i lesá smykové napětí a orientace molekul, tedy i mechanické vlastnosti výstřiku klesají.

2. Prodlužující se doba plnění zmenšuje rychlosť toku. Tím se smykové napětí snižuje a orientace klesá.

3. Ještěliže se zvětšuje průřez výstřiku, především jeho tloušťka, jenou tlakové ztráty malé a orientace klesá. Stejný účinek má i zmenšení průřezu ústí vtoku.

Stupeň orientace molekul závisí na vzdálenosti od ústí vtoku. Vnitřní tlak je rozdelen v dutině vstřikovací formy

podle logaritmické křivky s maximem v místě ústí vtoku.

Mechanické vlastnosti výstřiku závisejí také na tloušťce orientovaných molekul. Tloušťka vrstvy a tedy její vliv na mechanické vlastnosti klesá, jestliže stoupá vstřikovací teplota a teplota vstřikovací formy. Při konstantních podmínkách vstřikování se měrné mechanické vlastnosti výstřiku snižují se zvětšující se jeho tloušťou.

Vstřikovací tlak ovlivňuje orientaci molekul pouze nepřímo, a to ovlivněním rychlosti plnění.

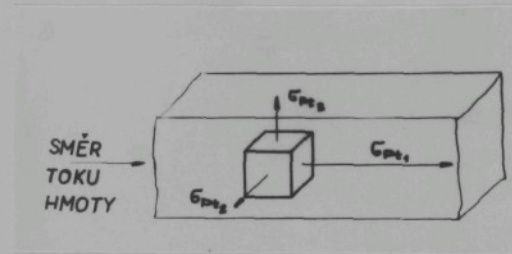
Výsledný stupeň orientace molekul je vlivem relaxace napětí nižší než původně vzniklý. Relaxace napětí závisí na druhu hmoty a u jedné hmoty na podmínkách ochlazování taveniny, tedy na vstřikovací teplotě, teplotě vstřikovací formy a na tvaru výstřiku, především jeho tloušťce. Stupeň relaxace závisí také na vstřikovacím tlaku, který působí na taveninu během dotlačování. Krystalizace hmoty rovněž působí příznivě na relaxaci napětí.

Protože jak vznik orientační struktury, tak relaxační proces jsou závislé na fyzikálních vlastnostech polymerní taveniny, je citlivost různých plastických hmot k podmínkám vstřikování rozdílná.

Pravidelné orientačné struktury platí v podstatě obdobné zákony jak u amorfních tak u krystalických polymerů. To vyplývá z toho, že orientace vzniká v tavenině, kdy jsou všechny hmoty amorfní, bez ohledu na to, zda později, při mnohem nižších teplotách, nastudou krystalické struktury či nikoliv. Z tchо důvodu není také rozhodující, zda k pokrovům je zvolena plastická hmota krystalická či amorfní, neboť obě se mezi sebou liší pouze relativní velikostí významné orientace molekul.

Vstříkovací pochod vyvolává ve výstřiku dva druhy nerovnoměrnosti fyzikálně mechanických vlastností : anizotropii vlastnosti a nestejnorođost (nehomogenitu) vlastnosti.

Důsledkem anizotropie je, že hodnota mechanické vlastnosti určitého elementu výstřiku, např. možnost pevnosti v tahu, je závislá na směru stanovení, jak je schematicky znázorněno na obr. 16.



Obr. 16. Schema rozložení meze pevnosti v tahu elementu výstřiku

Anizotropie vlastnosti souvisejí s orientací molekul. Jestliže zkoušené těleso je namáháno tak, že lomová plocha vzniká kolmo na směr orientace molekul, dosahuje mechanické vlastnosti extrémní hodnoty.

Nestejnorođost vlastnosti je důsledkem toho, že hodnoty vlastnosti jsou funkcí souřadnic a že se mění od místa k místu, tedy :

$$\sqrt{P_x}(x,y,z) \neq \text{konst. } (x,y,z) \quad (33)$$

$$\sqrt{P_y}(x,y,z) \neq \text{konst. } (x,y,z) \quad (34)$$

$$\sqrt{P_z}(x,y,z) \neq \text{konst. } (x,y,z) \quad (35)$$

kde značí :

$\sqrt{P}$  - měřenou mechanickou nebo fyzikální vlastnost, např. mezi pevnost v tahu, hustotu apod.

$x, y, z$  - souřadnicový systém

konst. - konstanta související s příslušnou měřencu vlastností.

Nestandardost vlastnosti je způsobována odlišnými technologickými podmínkami v různých místech dutiny vstřikovací formy.

#### 4. EXPERIMENTÁLNÍ ČÁST

##### 4.1. Volba druhu plastické hmoty

K experimentálním účelům byl zvolen lineární polyetylén z těchto důvodů :

1. Lineární polyetylén patří v technologii vstřikování k nejdůležitějším druhům plastických hmot a je používán ve stále větší míře pro výrobu technických předmětů.
2. Je stálý v širokém rozmezí vstřikovacích teplot a všeobecně má dobré zpracovatelné vlastnosti. To umožnuje prostudovat vliv technologických parametrů v jejich velkém rozsahu.
3. Neabsorbuje prakticky žádnou vodu a proto není nutno provádět klimatizaci zdrobněních těles.
4. Patří ke krytalizujícím plastickým hmotám, takže stanovené zákonitosti bude možné aplikovat i na jiné důležité hmoty této skupiny, jako jsou polypropylén, polyformaldehyd apod.

Ob záměru provádět souběžně zkoušky jak s polyetylénem, tak s jednou amorfou plastickou hmotou, např. houzevnatým polystyrénem, bylo po podrobnějším rozboru upuštěno, protože ty nejméně narušily množství polusů a práce by se stala nepřehlednou.

Byl používán lineární polyetylén značky "Rigidex" anglické firmy British Resin Products, menší část pokusů byla provedena s typem Rigidex 15, hlavní část s typem Rigidex 50. Výrobce udává tyto nejdůležitější vlastnosti polyetylénu; tab. 4.

Tab.4. Vlastnosti polyetylénu Rigidex 15 a Rigidex 50

Typ		Rigidex 15	Rigidex 50
Tavný index	$(\bar{n}_2)$	1,5	5,0
Hustota	$(g/cm^3)$	0,96	0,96
Mez pevnosti v tahu	$(kp/cm^2)$	295	295
Rázová houževnatost (Izod)	$(ftlb/in notch)$	4	2
Teplota křehnutí	$(^{\circ}C)$	- 110	- 73
Délka spirály při 220 °C	$(cm)$	45	65

Z tabulky je zřejmé, že se oba typy polyetylénu liší hlavně technologickými vlastnostmi, to je zábihavostí měřenou na spirále a tavným indexem.

Oba typy byly k dispozici ve formě granulí o průměru asi 2 mm a délce cca 2 mm. Rigidex 15 byl v přírodním odstínu barvy bez pigmentů, Rigidex 50 byl bíle pigmentován. Podle doporučení výrobce je Rigidex 15 vhodný jak pro vstřikování, tak pro vytlačování, Rigidex 50 je doporučován pro vstřikování.

Jeden zložený provozní výrobek byl zhotoven z Rigidéxu 50 serní pigmentem vanho.

#### 4.2. Volba zkoušební metody

Vlastnosti výstříků mohou být hodnoceny z různých klesacík. K hodnocení se používá následujících nejdůležitějších zkoušek :

1. vizuální zkoušky
2. mikroskopické zkoušky
3. zjištování rozměrů a váhy
4. stanovení hustoty
5. sledování morfologických vlastností
6. mechanické zkoušky
7. chemické zkoušky
8. elektrické zkoušky
9. tepelné zkoušky
10. optické zkoušky

Z uvedených zkoušek je pro konstrukční praxi bezesporu nejdůležitější stanovení mechanických vlastností. Z nich mají u polyetylénu největší význam horní mez kluzu a tažnost. Horní mez kluzu, případně mez pevnosti v tahu, jsou měřeny na zkoušebních tělesech zhotovených vstřikováním. Rozměry zkoušebního tělesa jsou zřejmé z obr. 17. Tělesa těchto rozměrů nejčastěji vhodná pro studování nestejnorođnosti výstřiků. K tomu účelu je nutno používat tělesa co nejmenších rozměrů. Způsob jejich zhotovování je nutno vypovídat. Je třeba mít na paměti, že však tato mikrotělesa pro tahovou zkoušku, byť i sebe menších rozměrů, jsou stále ještě relativně velká, takže ani v tom případě není zcela vyloučena jejich nestejnorođost, což může mít nepříznivý vliv na měřené vlastnosti.

Zkoušební tělesa pro stanovení rázové houževnatosti podle Izoda, jsou sice menších rozměrů, ale metoda může být použita jen u lžíčkových plastických hmot a nikoliv u houževnatých, k nimž polyetylén patří. V tom případě bylo nutno měřit vrubovou houževnatost. Z praktických zkušeností je slovo zná-

mo, že rezervé zkoušky vykazují vysoký rozptyl měření. Tím vzniká nebezpečí, že chyba měření může být větší než vlastní kolísání vlastnosti vlivem nestejnорodosti výstřiku. Kromě toho příprava zkusebních těles s vrubem klade vysoké nároky na přesnost práce i na čas. Z obou důvodů bylo od rázových zkušek upuštěno.

Z nauky o kovech je známo, že u téhož materiálu bývá mezi pevností v tahu a mezi pevností ve střihu v určitém konstantním poměru. O používání pevnosti ve střihu při zkoušení plastických hmot sice najdou k dispozici téměř žádné konkrétní údaje, ale jeví se účelné přesvědčit se o vhodnosti této metody, neboť má přednost v malém rozmezí zkusebních těles, reproducovatelnosti podmínek měření atd.

V praxi je často požadována taková zkusební metoda, která nevede k destrukci zkoušeného tělesa. K takovým metodám patří měření tvrdosti, které se i u plastických hmot, i když v menším měřítku, občas používá.

Nevýhodou měření makrotvrdosti je, že podle normy DIN 53456 má být tloušťka zkusebního tělesa 4 mm. To je ovšem u praktických výrobků jen málokdy splněno. Mimo to je nutné, aby tloušťka byla konstantní. Ani tento požadavek výstříky často neplňuje. Při rozdílné tloušťce zkusebního tělesa se vžak mění průběh kluzných čar v objemu tělesa deformovaném při zkoušce a to vede k různým naměřeným hodnotám tvrdosti.

Iybníkář [42] uvádí, že ke zkoušení plastických hmot je možno využít i stanovení mikrotvrdosti. Tato metoda má některé výhody: plocha v-tisku je nepatrná, takže poškození povrchu výstřiku je zanedbatelné. Dále lze očekávat, že metoda může poskytnout čestě přesné údaje o stupni orientace

molekul a s tím spojené nestejnorođnosti výstřiku, protože orientace je se středěna v povrchových vrstvách a objem, který je při zloučce mikrotvrdosti zasažen, leží rovněž při povrchu. Protože se používá velmi malých sil při zatížení, není konstantní tloušťka tělesa bezpodmínečně nutná.

Protože je změna mechanických vlastností výstřiků vlivem různých podmínek zprocesování vyvolána orientací molekul (teplné poškození hmoty během zprocesování se předem vylučuje), je třeba mít k dispozici metodu, která by umožňovala kvantitativní měření orientace.

Podle literatury [3;31] se k tomuto účelu často používá stanovení dvojlkamu v polarizovaném světle. Této metody může být použito jen u průhledných plastických hmot, nikoliv však u krystalických, které jsou neprůhledné.

Boukal [12] použil ke studiu orientace molekul rentgenografické metody.

Orthmann [36;37] a jiní autoři doporučují používat jako kritéria orientace molekul ve výstřiku směr nízkoučinného tělesa při zahřívání na teplotu, která leží výše než je Vicatova teplota příslušné hmoty stanovená v glykolu. Všechny údaje o této metodě se týkají amorfních plastických hmot. Není proto předem jasno, zda ji lze možno použít i u krystalizujících hmot, které mohou v poměrně úzkém teplotním rozmezí.

Vhodnou metodou k hodnocení orientace může být penetrometrická metoda, která se osvědčila v jiné oblasti zlouček. [27;47] Princip metody spočívá v tom, že ohřívání jehla je vtlačováno konstantní silou do povrchu zkušebního tělesa. Předností metody je, že objem tělesa zasažený při zloučce je malý,

zatím co vlastnosti zbyvající části tělesa nejsou zkouškou ovlivněny. Metoda se podobá Vicastově zkoušce stanovení tepelné odolnosti s tím rozdílem, že není zahříváno celé těleso, nýbrž jen jeho malou část v bezprostřední blízkosti jehly.

Teoretickým základem aplikace metody pro hodnocení stupňu orientace molekul je tato úvaha : V důsledku přesklupování molekul během plnění dutiny vstříkovací formy jsou molekuly orientovány a přecházejí do stavu, který odpovídá termodynamické rovnováze. Tento stav je fixován ochlazením. Při zvýšené pohyblivosti molekul se tyto snaží přejít do rovnovážného stavu. Jedná se o entropicko-elastickou změnu.

Je-li původní stav molekul charakterizován malou hodnotou entropie, která odpovídá uspořádanému stavu, dochází k deformaci molekul při nižší teplotě než u molekul s vysokou hladinou entropie, to je neorientovaných molekul. Čím je orientace molekul vysoká, tím má tedy být hloubka vtisku jehly při určité teplotě větší. Naopak malá hloubka vpichu má charakterizovat nízký stupeň orientace.

O nehomogenitě výstřiků může poskytnout informace i stanovení hustoty v různých jeho částech. Metoda je nenáročná na zařízení a při tom je velmi citlivá. Proto je často k charakteristice výstřiků používána [28;50] .

Z praktického hlediska je třeba sledovat rozměry a výšku výstřiků v závislosti na technologických podmínkách vstříkování. Tato znalost je důležitá proto, že rozměry jsou v přímém vztahu k fyzikálně mechanickým vlastnostem výstřiku. Kolisní rozměrů i výšky výstřiků vyrobených v téže dutině vstříkovací formy je z praxe dobře známo.

Kolísání váhy bývá vysvětlováno stlačitelností tavenin plastických hmot, tedy zvýšením hustoty vlivem tlaku. Podle jiných názorů se však připouštějí i změny rozměrů výstřiku vlivem technologických podmínek.

Rozměry výstřiku závisejí na několika faktorech, z nichž jedny rozměry zmenšují, jiné zvětšují.

Do skupiny faktorů, které zmenšují rozměry, patří především vstříkovací teplota. Plastické hmoty mají několikádásobně vyšší koeficient tepelné roztažnosti než kovy. Proto samotné zvýšení vstříkovací teploty při konstantním vnitřním tlaku má za následek zvětšení smrštění, tedy zmenšení rozměrů.

K témtoto faktorům patří také teplota vstříkovací formy, která je důležitá hlavně u krystalizujících plastických hmot, protože ovlivňuje stupeň krystalinitity. Ten stoupá se zvyšující se teplotou formy a proto se smrštění zvětšuje.

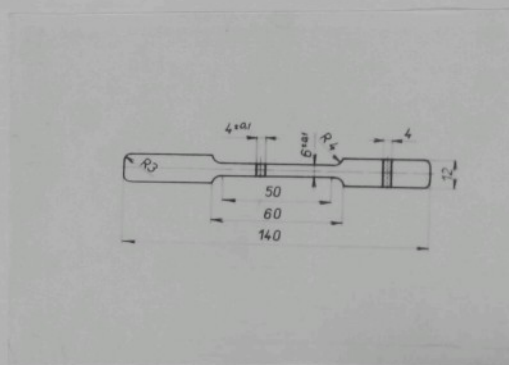
Ze skupiny faktorů, které smrštění zmenšují, je nejdůležitější vnitřní tlak. Během ochlazování taveniny v dutině formy dochází ke snižování vnitřního tlaku, a to umožnuje elastické odpružování původně stlačené taveniny. Čím je vnitřní tlak vyšší, tím je odpružení větší a smrštění výstřiku menší.

Tato úvaha se týká rozměrů výstřiku využívaných vstříkovací formou. U rozměrů nevyužívaných formou přistupují ještě elasticke deformace vlastního uzavíracího ústrojí lisu. To vyvolává další, obtížně kontrolovatelné změny rozměrů.

#### 4.3. Popis zvolených zkoušebních metod

##### 4.3.1. Horní mez kluzu a tažnost normalizovaných zkoušebních těles

Ke stanovení horní meze kluzu a tažnosti bylo používáno normalizovaných zkoušebních těles podle obr. 17, ČSN 640361



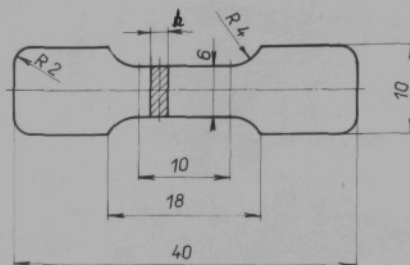
Obr.17. Normalizované zkoušební těleso pro tahovou zkoušku.

Zkoušky byly provedeny na trhacím stroji FM 1000, výrobce VEB Thüringer Industriewerk, Rauenstein, DDR; rok výroby 1962. Stroj měl tři měřící rozsahy síly, a to 0 až 200 kp, 0 až 500 kp, 0 až 1000 kp. Při zkouškách bylo používáno prvního rozsahu. Rychlosť posuvu čelistí byla u stroje měnitelná od 10 do 90 mm/min. Bylo používáno rychlosť 90 mm/min.

Zkoušební místnost nebyla klimatizována, takže teplota klesala ve větším rozmezí než doporučují normy. Z pravidla je předepsávána teplota  $23 \pm 1$  °C, pohybovala se však v rozmezí  $21 \pm 2$  °C.

4.3.2. Horní mez kluzu a tažnost měřená na mikrotělesech

Ke stanovení horní meze kluzu a tažnosti výstřiku v jeho různých místech bylo používáno mikrotěles podle obr. 18.



Obr.18. Mikrotěleso pro tahovou zloučku

Mikrotěleso vzniklo zkrácením měřené části normalizovaného tělesa na minimální rozsah. Ke zkouškám bylo použito trhacího stroje fy Werkstoffprüfmaschinen, Leipzig, který měl tři měřicí rozsahy, a to 0 až 50 kp, 0 až 100 kp a 0 až 250 kp. Suroj umožňoval přesnější měření, protože síla odpovídající hornímez kluzu činila asi 40 kp. Trhací rychlosť byla 50 mm/min., teplota místnosti 21 ± 2 °C.

Hornímez kluzu v případech 4.3.1. i 4.3.2. byla počítána podle vzorce

$$\overline{G_{Pt}} = \frac{P_t}{b \cdot h} \quad (36)$$

kde značí :

$\overline{G_{Pt}}$  - hornímez kluzu [kp/cm<sup>2</sup>]

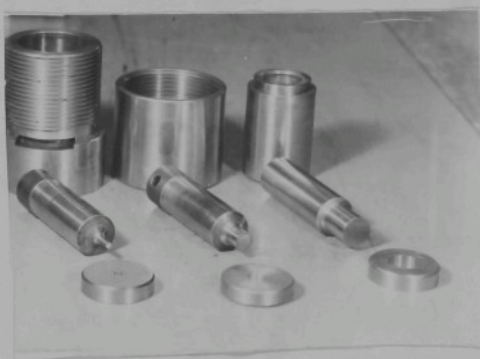
$P_t$  - maximální sílu dosaženou při tahové zkoušce [kp]

b - šířka tělesa [cm]

h - tloušťka tělesa [cm]

#### 4.3.3. Mez pevnosti ve střihu

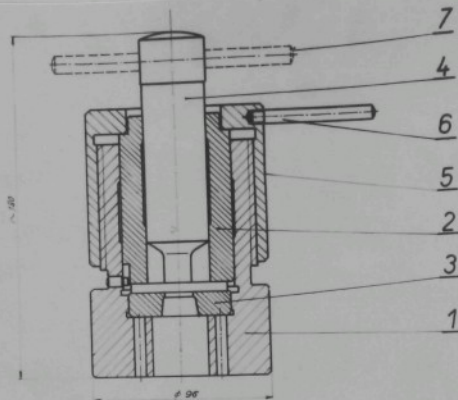
Pokladem metody pro stanovení pevnosti ve střihu byla americká norma ASTM D 732-46. Ke zkouškám bylo použito stříšného nástroje vlastní konstrukce podle obr. 19.



Obr.19. Stříšný nástroj pro měření pevnosti ve střihu

Sestava nástroje je na obr. 20. Nástroj sestává z vlastního tělesa 1, vodicího pouzdra 2, které slouží jednak k vedení průstřížníku 4, jednak přitlačuje zloubený materiál k průstřížnici 3. Přitlační pouzdra se dosahuje dotažením převlečné matice 5 opatřené k tomu účelu tyčí 6. Tyč 7 slouží k vytahování průstřížníku.

Jak přistřížník tak průstřížnice byly vyměnitelné, což umožnilo měnit průměr průstřížníku i střížnou váli.



Obr. 20. Sestava střížného nástroje

Mez pevnosti ve střihu byla počítána ze vztahu :

$$\bar{\sigma}_s = \frac{P_s}{\pi \cdot d_p \cdot h} \quad (37)$$

kde značí :

$\bar{\sigma}_s$  - mez pevnosti ve střihu [kp/cm<sup>2</sup>]

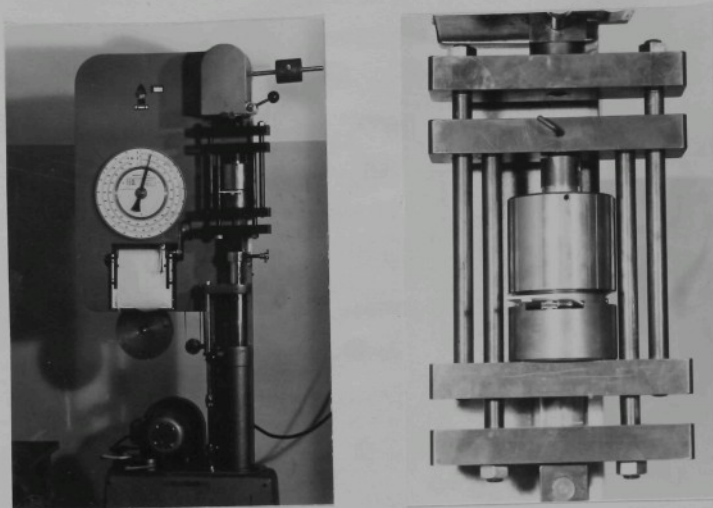
P<sub>s</sub> - maximální sílu při stříhové zkoušce [kp]

d<sub>p</sub> - průměr průstřížníku [cm]

h - tloušťku desky [cm]

Bylo používáno průstřížníku o průměru 15 mm, střížná výška činila 0,03 mm. Podrobné zkoušky související s vypreparováním metody jsem popsány v příloze 2 na konci zprávy.

Rychlosť čelistí byla 90 mm/min., teplota místnosti 21 ± 2°C. Zkoušky byly provedeny na trhacím stroji FM 1000, síla měřena na střední stupnici, to je 0 až 500 kp. Zkratek trhací stroj a jeho detail se střížným nástrojem sjou na obr. 21.



Obr. 21. Zkušební trhací stroj a detail se střížným nástrojem

#### 4.3.4. Měření tvrdosti kuličkou

Protože nebyl k dispozici Brinellův tvrdoměr pro plastické hmoty, který se používá nejčastěji, bylo užito Rockwellova tvrdoměru pro kovy, jenž pracuje na obdobném principu. Pro měření byl přístroj částečně upraven. Úprava spočívala ve zmenšení zatěžovací síly, která byla volena tak, aby hloubka vtržku kuličky o průměru 5 mm činila asi 0,2 mm, jak předpisuje norma DIN 53456. Zatěžovací síla dosáhla konečné hodnoty během 2 vteřin. Hloubka vtržku byla stanovena po 10 resp. po 60 vteřinách působení síly. Předzatížení u pří-troje činilo 10 kp místo 1 kp u pří-trojů pro plastické hmoty, což ovlivnilo konečné hodnoty tvrdosti. Přebudování přístroje v tomto smyslu však nebylo proveditelné.

Početný postup měření byl následující : Měřené těleso bylo vloženo na stolek přístroje a otáčením stolku bylo přitisknuto ke kuličce, až ručička indikátoru překročila nulovou značku o 2 dílky. Vlivem plastického tečení hmoty se ručička vracela zvolna zpět. V okamžiku, kdy dosáhla nuly, byla na těleso vložena zatěžovací síla, která působila 10 příp. 60 vteřin. Po zrušení síly a uplynutí dalších 60 vteřin se odečetla hloubka vtisku s přesností na tisíciny milimetru.

Tvrdoost byla počítána ze vztahu

$$HR = \frac{P_R}{\pi \cdot d_R \cdot h_R} \quad (38)$$

kde značí :

HR = tvrdoost  $5/31,25/10$  resp.  $5/31,25/60$  [ $\text{kp}/\text{cm}^2$ ]

$P_R$  = zatěžovací síla 31,25 kp

$d_R$  = průměr kuličky, 0,5 cm

$h_R$  = hloubka vtisku kuličky [cm]

Pohyby byly provedeny v místnosti s klimatizací při teplotě  $21 \pm 1^\circ\text{C}$  a relativní vlhkosti vzduchu  $60 \pm 5\%$ .

#### 4.3.5. Měření mikrotvrdosti

K měření mikrotvrdosti bylo použito sovětského mikrotvrdoměru PMT 3, který pracuje na principu Vickerssovy metody. Zatěžovací síla činila 50, příp. 100 p. Větší síly nebylo možno použít, protože plocha vtisku byla potom větší než zorné pole okuláru.

Jedná se o první pohyby ukázaly, že použití metody bez předběžné úpravy povrchu zkoušeného tělesa, není možné. Hlavní cíl úpravy spočíval ve vytvoření talcového pozůstatku, na němž by byly

hrany vtišku zřetelné. Nejvhodnějším způsobem úpravy se ukázalo pokovování tělesa ve vakuu parami kliniku. Tloušťka nanesené vrstvy činila jen několik desítek angstrémů, takže její vliv na výsledky mikrotvrdoosti byl zanedbatelný, jak bylo ověřeno pokusy. [62]

Mikrotvrdoost byla vypočítána ze vztahu

$$HV = \frac{1\ 855 \cdot P_v}{\mu^2} \quad (39)$$

kde je :

HV - mikrotvrdoost [ $kp/mm^2$ ]

1 855 - konstanta přístroje

$P_v$  - zatěžovací síla [ $kp$ ]

$\mu$  - délka uhlopříčky otisknutého hranolu [ $mm$ ]

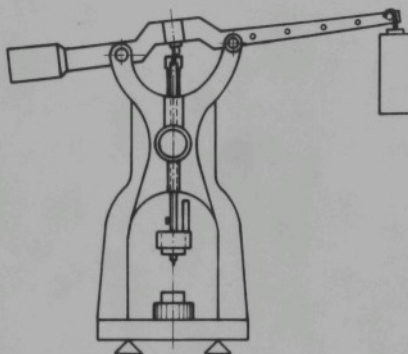
#### 4.3.6. Sčlenovení hustoty

K sčlenovení hustoty bylo použito flotační metody. Její princip je následující : V místnosti s konstantní teplotou  $21 \pm 1 ^\circ C$  byla měřená tělesa vložena do roztoku destilované vody a methylalkoholu. Přikapáváním vody nebo methylalkoholu byla vytvořena taková hustota roztoku, že se tělesa v kapalinně začala vznášet. V tomto okamžiku, kdy hustota tuhých těles i kapaliny byla shodná, byla hustota kapalné fáze stanovena pyknometricky.

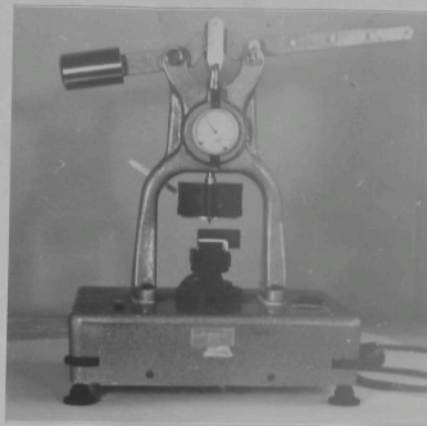
Přesnost metody byla velice dobrá. Rozdílení těles a jen nepatrн se odlišující hustotou bylo umožneno tím, že v kádince s kapalinou se současně nacházelo včetně množství měřených těles, takže bylo snadné je navzájem odlišit.

#### 4.3.7. Penetrometrická měření

K měření bylo použito přístroje, jehož schema je na obr. 22. a přístroj je na obr. 23.



Obr.22. Schema penetrometru



Obr.23. Penetrometrický přístroj

Penetrometr vznikl úpravou Höpplerova konistometru. Podstatnou součástí přístroje byla jehla o průřezu  $1 \text{ mm}^2$  zakončená vrcholem o úhlu asi  $60^\circ$ . Jehla byla vsazena do hliníkovohotelného reservoáru, který byl vyhříván elektricky. Teplota stoupala rychlostí  $4^\circ\text{C}$  za minutu. Během vlastních měření byla teplota měřena rtuťovým teploměrem vloženém do reservoáru. Protože tato teplota neodpovídala teplotě na špiči jehly, byly nejdříve údaje rtuťového teploměru okalibrovány termočlánkem připájeném ke špiči jehly.

Hloubka vtisku byla odečítána na indikátoru s přesností na  $0,01 \text{ mm}$  při teplotách jehly  $100, 105, 110, 115$  a  $120^\circ\text{C}$ . Při vyšší teplotě jehla pronikala do měřeného tělesa nelkontrolovatelně rychle.

Celková zatěžovací síla včetně váhy tyče s reservoárem činila 3 kp. Protože má jehla malou tepelnou kapacitu, byla měření prováděna v klimatizované místnosti s teplotou  $21 \pm 1^\circ\text{C}$ .

Aby byla eliminována tepelná roztažnost funkčních částí přístroje, byl nejprve zahřát na teplotu asi  $150^\circ\text{C}$ , načež volně vychladl asi na  $70^\circ\text{C}$ , kdy bylo topení znova zapnuto. Při teplotě  $90^\circ\text{C}$  bylo vloženo zkoušební těleso pod jehlu penetrometru a při dosažení teploty  $100^\circ\text{C}$  byla odečtena první hodnota hloubky vpichu.

#### 4.3.8. Rentgenografická měření

Rentgenografická měření byla provedena na mikorentgenu Mikrometa, výrobek n.p. Chirana v Modřanech. Jako zdroje záření bylo použito kobaltové rentgenové lampy se železným filtrem. Difrakční obrazy byly zaznamenány na film Agfa-Laue

s oboustrannou emulzí. Film byl od zkušebního tělesa vzdálen 30 mm, expoziční doba činila 6 hod.

#### 4.3.9. Měření délky a výhy

Rozměry zkoušebních těles byly měřeny odpovídajícím mikrometrem s přesností na 0,01 mm. K vážení bylo používáno analytických vah s přesností 0,0001 g.

#### 4.3.10. Stanovení fluidity

Fluidita polyetylénu byla stanovena pouze v jediném případě na vytlačovacím plastomáru při teplotě 200 °C a zatížení 10 kp/cm<sup>2</sup>. Tryska měla průměr 1 mm a délku 6 mm.

#### 4.3.11. Měření smrštění za tepla

Smrštění ze tepla bylo měřeno v glycerínové lázni při teplotě 135 °C. Zkušební tělesa byla ohřívána na tuto teplotu po dobu 10 min. Další prodloužení ohřevu již hodnotu smrštění neovlivnilo.

#### 4.3.12. Smrštění výstříků

Smrštění výstříků je dáno poměrem rozdílu délky dutiny vstříkovací formy a odpovídající délky výstřiku k délce dutiny formy při 20 °C, tedy :

$$s = \frac{l_0 - l}{l_0} \cdot 100 \quad (40)$$

kde značí :

$s$  - strášení výstřiku [%]

$l_0$  - rozměr dutiny vstříkovací formy při teplotě  $20^{\circ}\text{C}$  [cm]

$l$  - odpovídající rozměr výstřiku při stejné teplotě [cm]

#### 4.4. Volba základních výstřiků a volba zkušebních těles

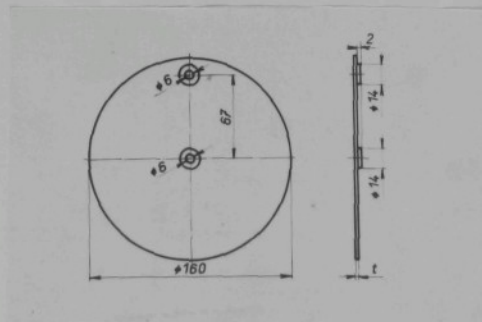
Ke zkušenám bylo používáno následujících základních výstřiků :

##### 4.4.1. Zkušební těleso pro tahovou zkoušku.

První série pokusů byla provedena se zkušebním tělesem pro tahovou zkoušku znázorněném na obr. 17.

##### 4.4.2. Kotouč o průměru 160 mm a nastavitelné tloušťce 1 a 2 mm. Skutečná tloušťka však byla ve většině případů větší než nastavená.

Kruhová deska byla zvolena proto, že tento tvar je z teoretického hlediska nejjednodušší. Tvar kotouče je zřejmý z obr. 24.



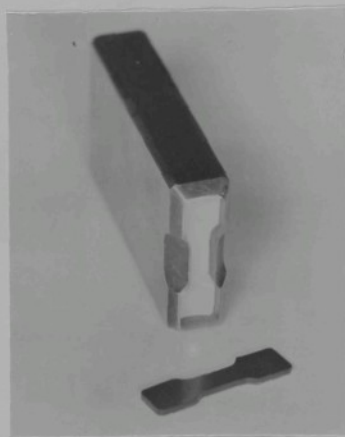
Obr. 24. Zkušební kotouč o průměru 160 mm

##### 4.4.3. Pravoúhlá deska o rozměrech 120 x 120 x 2 mm.

4.4.4. Dva výstříky byly odebrány přímo z provozní výroby, a to dítká koupací vanička a kryt topení osobního automobilu.

4.4.5. K využití vlastnosti bylo nutno někdy používat přizpůsobená zkusební tělesa. Jednalo se o tyto případy :

Stanovení meze kluzu na mikrotělesech : Základní tvar mikrotělesa je na obr. 18. Těleso bylo z požadovaného místa výstříku vysekáváním nožem, který je na obr. 25.



Obr.25. Vysekávací nůž na mikrotělesa

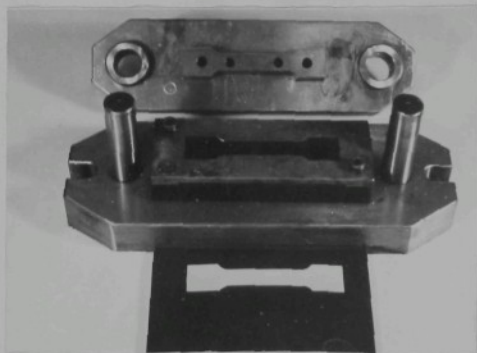
Na těchto tělesech bylo také měřeno smrštění za tepla.

Stanovení meze pevnosti ve střihu : Ze základního výstříku byly vyříznuty pásy o šířce asi 50 mm libovolné délky, které byly vkládány do střížného nástroje. Vystřížené kotoučky o průměru 15 mm byly použity pro stanovení hustoty.

Pro stanovení tvrdosti, mikrotvrdosti a penetrometryckých hodnot nebyl tvar základních výstříků upravován.

Rentgenografická měření byla provedena na dvou vrstvách o tloušťce 0,2 mm, které byly ze zkoušebního tělesa pro tahovou zloušťku seříznuty na mikrotomu.

Vhodnost střížové zkoušky byla ověřena na deskách z 1<sup>4</sup>-neárního polyetylenu vyrobených vytlačováním. Zkoušební tělesa pro tahovou zkoušku byla vyrobena pomocí střížného nástroje podle obr. 26.



Obr.26. Střížný nástroj pro zhotovení zkoušebních těles z vytlačených desek

Tato tělesa měla šířku měřené části 18 mm, délku 50 mm.

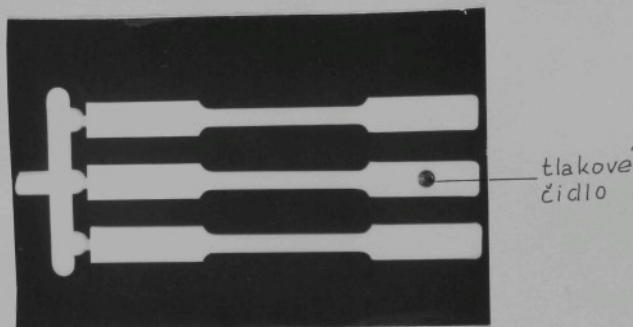
Byla použita pouze v kapitole 6.2.

#### 4.5. Způsob zhotovení zkoušebních výstříků a technologické podmínky při vstříkování

##### 4.5.1. Zkoušební těleso pro tahovou zloušťku

Zkoušební těleso bylo vstříkováno na trojnádobné vstří-

kovací formě. Uspořádání výstříku je zřejmé z obr. 27.



Obr.27. Uspořádání kompletního výstříku těles pro tahovou zkoušku

Tělesa byla vstřikována na lis LTR 4714, výrobce TOS n.p. Rekovník. Lis měl tyto nejdůležitější parametry :

maximální objem výstřiku                     $100 \text{ cm}^3$

zavírací síla                                     $47 \text{ Mp}$

vstříkovací síla                                 $10,5 \text{ až } 14 \text{ Mp}$

Forma se uzavírala horizontálně, směr vstříkování byl vertikální. Jednalo se o starší lis se vstříkovacím pístem bez předplastikace.

Tělesa byla vstříkována z Rigidexu 15, který byl zvolen proto, že má nízkou tekutost a tedy vyšší citlivost vůči podmínám zpracování.

V rámci práce byly zvoleny následující podmínky vstříkování :

#### 4.5.1.1. Vstříkovací teplota : 160, 180, 200, 220, 260 °C

Tavící komora lisu byla vyhřívána elektrickým odporovým topením rozděleným do tří pásem, z nichž každé bylo udržováno na požadované teplotě pomocí pedáčkového regulátoru. Teplota vstříkovací trysky byla kontrolována termočlánkem železo-konstantán.

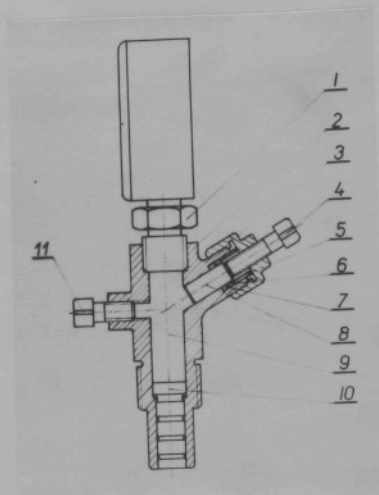
Protože všechna čidla byla umístěna ve stěně tavící komory, byla ještě měřena při každé serii měření sítí učebná teplota taveniny. Postup byl následující : Při rovnoramenném vstříkovacím cyklu bylo množství taveniny, odpovídající jednomu vstříkovacímu cyklu, vystříknuto na místo do dutiny formy do volného prostoru před tryskou. Teplota taveniny byla změřena termočlánkem Fe-Ko vloženým do injekční jehly, která umožňovala jeho snadné vpichnutí do taveniny. Takto stanovená teplota byla vždy o několik stupňů vyšší než údaj termočlánku v trysce komory.

Rozsah vstříkovací teploty byl vymezen možností zhodit kvalitní výstříky. Spodní teplota byla určena tím, že při ještě nižší teplotě již nebyla tělesa úplná, horní hranice byla dáná teplotou, kdy se tvořily neúměrně tlusté přetoky v dělicí rovině formy.

#### 4.5.1.2. Vstříkovací tlak : 570, 670, 750 kp/cm<sup>2</sup>

Rozsah použitého vstříkovacího tlaku byl určen možností měnit tlak v hydraulickém válci lisu. Pro zkoušky bylo využito celého možného rozsahu. Uvedený vstříkovací tlak odpovídá tlaku na čele vstříkovacího pistetu. Mimo to byl měřen tlak taveniny v trysce tavící komory. Princip tohoto měření je zdejší z obr. 28. Tlak taveniny je přenášen pistetem 10 do kapaliny 9, v tomto případě silikonové vaseeliny, která dále

působí na manometr 1.

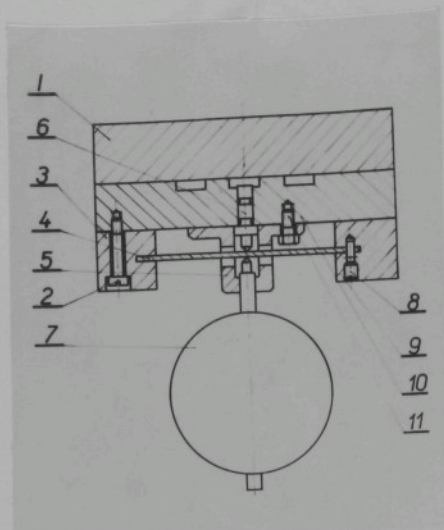


Obr.28. Princip měření tlaku  
taveniny v trysce tavicí komory

#### 4.5.1.3. Teplota vstříkovací formy : 20, 70 °C

Teplota vstříkovací formy byla udržována na zvolené výši pomocí obíhající temperované vody s přesností na  $\pm 1$  °C. K regulaci bylo používáno Höpplerova ultratermostatu. Teplota vstříkovací formy byla ještě kontrolována rtuťovým teploměrem.

Forma umožňovala měřit tlak přímo v dutině středního výstříku. Umístění čidla je zložité z obr. 27.a jeho princip je na obr. 29. Tavenina v tomto případě působí na pist 6, jehož posuv se přenáší na ocelový nosník 4. Z jeho průhybu, měřeného pomocí setnového indikátoru 7 se vypočítal vnitřní tlak v dutině formy.



Obr.29. Způsob měření tlaku  
v dutině vstříkovací formy

4.5.1.4. Průměr ústí vtoku : 1,2,3,4 a 6 mm

Zkušební tělesa byla vstříkována polokruhovým ústím vtoku o průměru 1,2,3,4,a 6 mm. Základní řada zkoušek byla provedena s ústím o průměru 4 mm. Délka ústí vtoku byla ve všech případech 1,5 mm.

4.5.1.5. Délka vstříkovacího cylulu : 60 vteřin

Vstříkovací cyklus trval vždy 60 vteřin. Doba plnění, dotlačování a chlazení činila celkem 30 vteřin, dalších 30 vteřin bylo výhraženo pro manipulaci tj. vyjmutí výstříku z dutiny atd. Doba dotlačování nebyla měněna a vstříkovací tlak byl udržován na maximální výši po celou dobu chlazení, tedy prakticky 30 vteřin. Tlak působil na taveninu v dutině formy až do bodu zatuhnutí, čímž byl jeho vliv na vlastnosti výstříku maximální.

#### 4.5.2. Kotouč o průměru 160 mm

Kotouč byl vstříkován z Rigidexu 50. Jeho zabíhavost byla lepší než Rigidexu 15, což bylo výhodné z ohledem na poměrně velkou plochu kotouče.

Kotouč byl vyráběn na jednonásobné vstříkovací formě se středovým vtokem. Ke vstříkování bylo použito horizontálního vstříkovacího lisu PECO 21 MR, vybaveného šnekovou předplastifikací. Výrobce udává tyto charakteristiky lisu :

maximální objem výstříku	84 cm <sup>3</sup>
vstříkovací rychlosť	107 cm <sup>3</sup> /sec
uzevírací síla	81,5 MP

Při vstříkování byly zvoleny následující technologické podmínky :

##### 4.5.2.1. Vstříkovací teplota : 180, 200, 220, 240 °C

Tavící komora lisu byla rozdělena do tří samostatně vyhřívaných pásů, ve kterých byla teplota udržována regulátory typu Gardsmen s měřicím rozsahem 0 až 400 °C. Teplota taveniny byla kontrolována vpichovacím termočlánkem (viz 4.5.1.1.). V tomto případě umožňovala konstrukce lisu vložit termočlánek plímo do otvoru trysky tavící komory. Když byla tavenina vytlačována do volného prostoru, obtékala termočlánek, takže ztráty tepla byly minimální. Údaje teploty termočlánku a regulátorů se velmi dobře shodovaly.

Spodní a horní vstříkovací teploty byly určeny podobně jako v 4.5.1. dobrou kvalitou výstříku.

##### 4.5.2.2. Vstříkovací tlak: 230 až 680 kp/cm<sup>2</sup>

Vstříkovací tlak byl měněn regulačním tlaku hydraulické kapaliny vstříkovacího ústrojí lisu. Z něho byl počítán tlak

na čele žneku. Tlak v trysce nebylo možno měřit. Výši vstříkovacího tlaku bylo nutné volit v závislosti na vstříkovací teplotě a na tloušťce kotouče. Proto nebylo možné vstříkovat libovolně voleným tlakem při jakýchkoliv jiných technologických veličinách.

#### 4.5.2.3. Tloušťka kotouče : 1 a 2 mm

Vstříkovací forma umožňovala svou konstrukcí měnit tloušťku kotouče v rozmezí 1 až 2 mm. Změny se dosáhlo vkládáním kovové vložky do dutiny formy. Skutečná tloušťka kotouče se ovšem od nastavených hodnot ve většině případů lišila.

Do dutiny formy byla zabudována dvě tlaková čidla, jedno naproti ústí vtoku, druhé na okraj kotouče (viz obr. 24).

Tlak byl měřen stejným způsobem jak je znázorněno na obr. 28.

#### 4.5.2.4. Teplota vstříkovací formy : 50 a 90 °C

Teplota vstříkovací formy byla regulována obíhající vonou temperovanou v Höpplerově ultratermostatu.

#### 4.5.2.5. Průměr ústí vtoku : 1, 2, 3 a 5 mm

Kotouč byl vstříkován středovým vtokem. Vložka ústí vtoku byla vyměnitelná, což umožňovalo rychlé změnu průměru ústí vtoku. Kruhové ústí mělo průměr 1, 2, 3 a 5 mm.

#### 4.5.2.6. Délka vstříkovacího cyklu : 90 vteřin

Vstříkovací cyklus trval celkem 90 vteřin, z toho doba plnění, dotlače ční a chlazení 40 vteřin, 5 vteřin předplasti-kace a 45 vteřin manipulační práce. Doba 40 vteřin byla delší než nejdělsí doba potřebná k zatuhnutí ústí vtoku o průměru 5 mm, která byla vypočítána teoreticky. (Viz 6.4)

#### 4.5.3. Pravoúhlá deska 120 x 120 x 2 mm

Deska byla vyráběna z Rigidexu 50 na vstříkovacím lise Eckert-Ziegler EZ VII. Lis byl používán pro laboratorní účely a jeho maximální objem výstříku činil asi  $35 \text{ cm}^3$ . Jednalo se o horizontální pistový lis bez předplatíkace.

Při vstříkování desek bylo používáno stejných regulačních prvků jako v kap. 4.5.1. a 4.5.2. a technologické faktory byly následující :

##### 4.5.3.1. Vstříkovací teplota : 160, 180, 200, 220, 240 °C

K regulaci bylo použito dvou padáčkových regulátorů, teplota taveniny byla kontrolována vpichovacím termočlánkem Fe-Ko.

##### 4.5.3.2. Vstříkovací tlak : 640 kp/cm<sup>2</sup>

Zkoušky byly provedeny při konstantním vstříkovacím tlaku 640 kp/cm<sup>2</sup>. Byl kontrolován podle údajů manometru typ Irema, jehož přesnost byla 2 1/2 %. Vstříkovací forma nebyla vybavena zařízením k měření vnitřního tlaku.

##### 4.5.3.3. Teplota vstříkovací formy : 10, 50, 90 °C

Teplota byla udržována pomocí obíhající vody z Höpplerova ultratermostatu. V případě teploty 10 °C bylo jako chladícího media obíhající vody použito ledu.

##### 4.5.3.4. Průměr ústí vtoku : 2 mm

Deska byla vstříkována středovým vtokem kruhového tvaru o průměru ústí 2 mm, což odpovídá zásadám konstrukční praxe.

##### 4.5.3.5. Tloušťka desky : byla konstantní 2 mm

#### 4.5.3.6. Vstříkovací cyklus : 60 vteřin

Vstříkovací cyklus trval celkem 60 vteřin, z toho 30 vteřin činila manipulace. Vstříkovací tlak působil na taveninu v dutině formy až do okamžiku těsně před otevřením formy.

#### 4.5.4. Provozní výstříky

Technologické podmínky vstříkování u výrobků odebraných v provozu nebyly známy, protože v okamžiku odebrání již byly výrobky dohotoveny. Oba výstříky, tj. dětská koupací vanička a kryt topení motorového vozidla, byly vyrobeny v n.p. Plastimat v Liberci. Oba byly z lincárního polyetylénu Rigidex 50. Vanička byla přesně ze stejné šarže polyetylénu jako zkoušební kotouč a zkoušební deska, kryt topení byl vyroben z Rigidexu 50, který byl černě pigmentován.

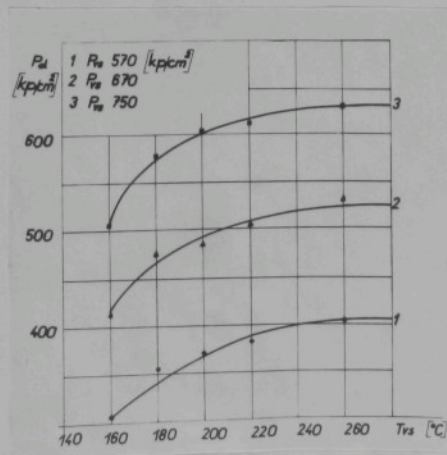
#### 4.6. Výsledky experimentálních měření

##### 4.6.1. Výsledky měření na zkoušebním tělese pro tahovou zkoušku

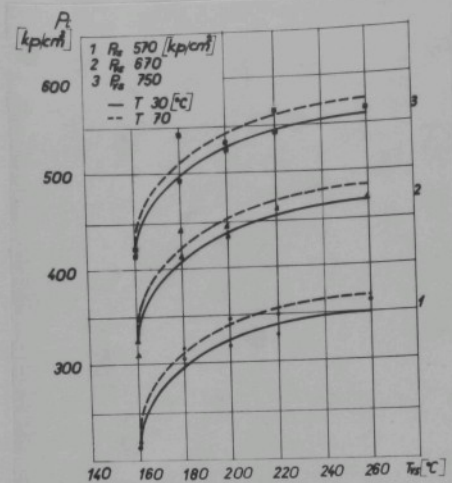
###### 4.6.1.1. Zjištění vztahu mezi technologickými faktory

Aby bylo možno správně zhodnotit vliv technologických faktorů na vlastnosti výstřiku, bylo nejprve nutno zjistit závislost vnitřního tlaku na ostatních faktorech vstřikování. Jednalo se hlavně o závislost vnitřního tlaku na vstříkovací teplotě, na vnějším vstříkovacím tlaku, na teplotě vstříkovací formy a na průřezu ústí vtoku.

Závislost maximálního tlaku v trysce tavicí komory  $P_d$  a vnitřního tlaku  $P_i$  v závislosti na sledovaných faktorech je na obr. 30 a 31. Průměr ústí vtoku byl v obou případech 4 mm. Podrobné údaje jsou v tabulce 35 v příloze 5.



Obr.30. Závislost  $P_d$  na  $T_{vs}$  a  $P_i$



Obr. 31. Závislost  $P_i$  na  $T_{vs}$ ,  
 $P_{vs}$  a  $T_f$

Jak je z obr. 30 a 31 zřejmé, způsobuje zvýšení vstříkovací teploty  $T_{vs}$  současně vzrůst tlaku, a to jak v trysce tavící komory  $P_d$ , tak i vnitřního tlaku  $P_i$  ve vlastní dutině formy. Příčina spočívá v tom, že při stoupající teplotě klesá viskozita taveniny, což má za následek snížení ztrát tlaku při toku taveniny jak tavící komorou tak i vlastní dutinou formy.

Relativní zvýšení tlaků v procentech způsobené změnou vstříkovací teploty ze  $160$  na  $260$   $^{\circ}\text{C}$  při teplotě vstříkovací formy  $T_f = 30$   $^{\circ}\text{C}$  udává tabulka 5. Hodnoty tlaků při  $T_{vs} = 160$   $^{\circ}\text{C}$  byly považovány za  $100\%$ .

Z tabulky vyplývá, že zvýšení vstříkovací teploty se projevilo hlavně změnou vnitřního tlaku. Změna byla nejznačnější při nízkém vstříkovacím tlaku.

Tab.5. Relativní zvýšení Pd a Pi způsobené změnou Tvs  
ze 160 na 260 °C; Tf = 30 °C

Pvs [kp/cm <sup>2</sup> ]	570	670	750
Zvýšení Pd v %	131	130	125
Zvýšení Pi v %	160	151	135

Dále bylo ověřeno, jak je vnitřní tlak ovlivňován průměrem ústí vtoku du. Zkoušky byly provedeny za následujících podmínek : Tvs = 220 °C, Pvs = 670 kp/cm<sup>2</sup>, což odpovídá Pd = 505 kp/cm<sup>2</sup>, Tf = 30 °C. Výsledky jsou v tabulce 6.

Tab.6. Vliv průměru ústí vtoku du na vnitřní tlak Pi

du [mm]	1	2	3	4	6
Pi [kp/cm <sup>2</sup> ]	288	405	425	466	452

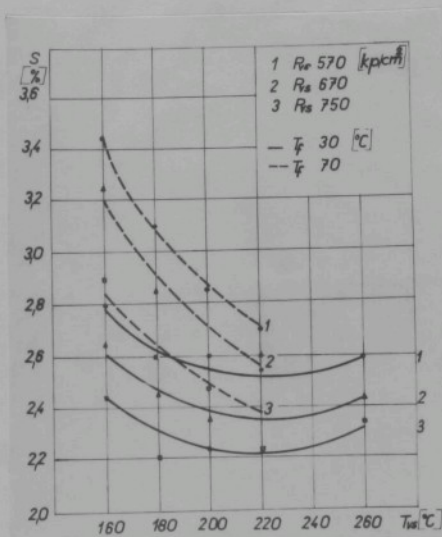
Jak ukazuje tab. 6, dochází v ústí vtoku o průměru 1 mm k velkým ztrátám tlaku. Naproti tomu ztráty u průměrů včtějších než 2 mm ovlivňují tlak v dutině formy poměrně málo a převládajícím vlivem se pravděpodobně stávají ztráty ve vlastní dutině formy.

Zvýšení teploty vstříkovací formy ze 30 na 70 °C se projevilo jen malým vzrůstem vnitřního tlaku. Zvýšení představovalo asi 20 kp/cm<sup>2</sup>.

#### 4.6.1.2. Závislost smrštění a rozměrů výstříku na technologických faktorech

Závislost smrštění výstříku s ve směru jednodělné osy na sledovaných technologických veličinách je na obr. 32.

Průměr ústí vtoku byl konstantně  $d_u = 4$  mm. Hodnoty jsou uvedeny v tab. 36, příl. 6.



Obr. 32. Závislost  $s$  na  $T_{vs}$ ,  
 $P_{vs}$  a  $T_f$

Smrštění výstřiku v příčném směru nebylo možno spolehlivě změřit, protože hodnoty vykazovaly příliš velký rozptyl. Příčna spočívala v konicitě jak dutiny vstříkovací formy, tak i výstřiku, také přesné rozměry ani v prvním ani v druhém případě nebylo možno stanovit. Velmi zhruba bylo zjištěno, že smrštění v příčném směru činilo asi 65 až 80 % příslušné hodnoty v podélném směru. Kolísání hodnot však nedovolilo stanovit závislost příčného smrštění na podmínkách vstříkování.

Proto byla zjištěna závislost příčného průřezu  $\bar{A}_F$  ve střední zúžené části zkoušebního tělesa na podmínkách vstříkování. Průřez je udáván jako průměrná hodnota ze tří míst na pěti různých tělesech, jedna hodnota tedy představuje průměr z 15 měření. Variační koeficient  $V_F = \pm 0,15$  %; směrodatná

odchylka  $\pm 0,04 \text{ mm}^2$ . Výsledky jsou uvedeny v tab. 7.

Tab. 7. Závislost  $F$  na  $T_{vs}$ ,  $P_{vs}$ ,  $T_f$ ;  $du = 4 \text{ mm}$

$T_{vs}$	$[^\circ\text{C}]$	$F \quad [\text{mm}^2]$				
		160	180	200	220	260
$P_{vs} = 570 \text{ kp/cm}^2$						
$T_f = 30^\circ\text{C}$		24,52	25,09	25,26	25,36	25,43
$T_f = 70^\circ\text{C}$		24,79	24,89	24,97	25,18	---
$P_{vs} = 670 \text{ kp/cm}^2$						
$T_f = 30^\circ\text{C}$		24,88	25,12	25,30	25,40	25,48
$T_f = 70^\circ\text{C}$		24,87	24,95	25,05	25,23	---
$P_{vs} = 750 \text{ kp/cm}^2$						
$T_f = 30^\circ\text{C}$		24,91	25,18	25,38	25,48	25,54
$T_f = 70^\circ\text{C}$		24,90	25,00	25,11	25,27	---

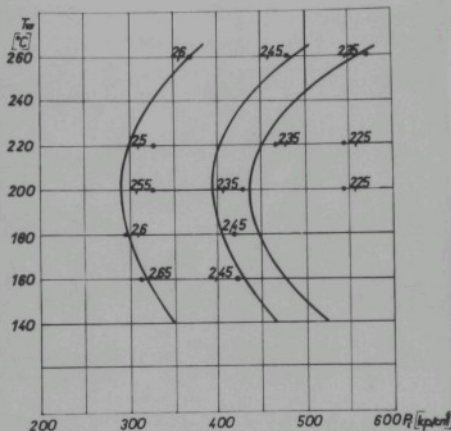
Na základě obr. 32 a tab. 7 je možno učinit tyto závěry:

1. Rozměry vstříků v podélném i příčném směru se mění při vstřikování podle stejných závislostí.
2. Zvýšení vstřikovacího tlaku způsobuje ve všech případech zvětšení rozměrů v podélném i příčném směru.
3. Stoupající teplota vstříku ači formy má naopak ze následek zmenšení rozměrů, tzn. zvětšení smrštění. Vliv je nejzřetelnější při nízkých vstřikovacích teplotách, při vyšších se vliv zmenšuje.
4. Vliv vstřikovací teploty je do jisté míry překvapující.

Pro sledovaný rozsah teploty je možno usoudit, že zvyšování vstřikovací teploty způsobuje zvětšování rozměrů, tj. pokles smrštění. Vysvětlení spočívá v tom, že při stoupající vstřikovací teplotě stoupá i vnitřní tlak, jak bylo

uváděno v 4.6.1.1.

Zajímavou se také jeví závislost podélného smrštění na vnitřním tlaku a na vstříkovací teplotě, která je na obr.33.



Obr.33. Závislost podélného smrštění s na vnitřním tlaku  $P_i$  a vstříkovací teplotě  $T_{vs}$

I když je nutno brát závislost na obr. 33 zdrženlivě, protože nebylo k disposici dostatečné množství měření, zdá se, že v oblasti nízkých vstříkovacích teplot převládá vliv stoupajícího tlaku. Ten se mění v této oblasti s teplotou nejrychleji. Při vysoké vstříkovací teplotě však začne převládat vliv stoupající teploty, takže smrštění se s teplotou zvětšuje.

Zjištění vlivu průměru ústí vteku na podélné smrštění a na příčný průřez tělesa slouží k ověření předcházejících výsledků. Hodnoty učívá tab. 8. Technologické podmínky byly následující :  $T_{vs} 220^{\circ}\text{C}$ ,  $P_{vs} 670 \text{ kp}/\text{cm}^2$ ,  $T_f 30^{\circ}\text{C}$ .

Tab.8. Závislost podélného smrštění s a příčného průřezu tělesa F na průměru ústí vtoku du

du [mm]	1	2	3	4	6
s [%]	3,45	3,00	2,57	2,35	2,30
F [ $\text{mm}^2$ ]	24,68	25,24	25,31	25,40	25,60

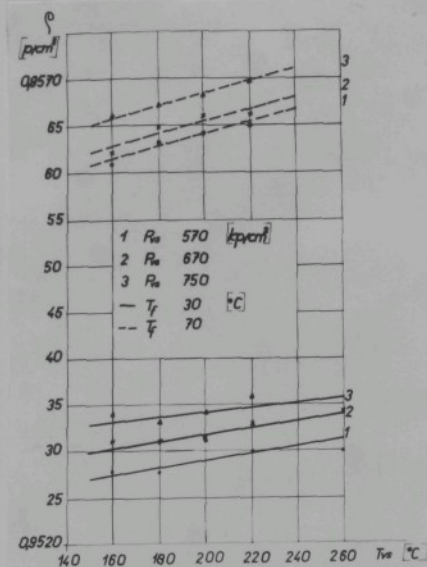
Podle očekávání má zvětšování průměru ústí vtoku za následek zvětšení rozměru zkoušebního tělesa. Přičine spočívá jednak ve zvýšenívnitřního tlaku, jednak v prodloužení doby dotlačování a s tím související zvýšenívnitřního tlaku v bode zatuhnutí.

#### 4.6.1.3. Závislost váhy a hustoty zkoušebních těles na podmínkách vstřikování

Aby bylo možno učinit správné závěry o vlivu podmínek vstřikování na váhu výstříku, bylo nutno stanovit také závislost hustoty na sledovaných technologických faktorech.

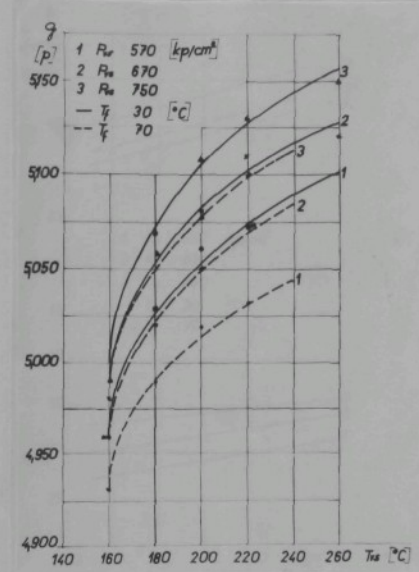
Výsledky jsou zřejmě z obr. 34 a 35 a z tab. 9. Hustota byla měřena ve střední části tělesa. Průměr ústí vtoku : du = 4 mm.

Podrobné hodnoty měření jsou uvedeny v tab. 37 v přiloze 7. Průměrný variacní koeficient stanovení hustoty činil  $V_p = \pm 0,02 \%$ , stanovení váhy  $V_g = \pm 0,06 \%$ .



Obr. 34.

Závislost hustoty  $\rho$  a váhy  $g$  zkoušebního tělesa na vstříkovací teplotě  $T_{vs}$ , vstříkovacím tlaku  $P_{vs}$  a teplotě vstříkovací formy  $T_f$



Obr. 35.

Tab. 9. Vliv průměru dutí vtoku du na hustotu  $\rho$  a váhu  $g$  zkoušebního tělesa

$$T_{vs} = 220 \text{ } ^\circ\text{C}, P_{vs} = 670 \text{ kp/cm}^2, T_f = 30 \text{ } ^\circ\text{C}$$

du [mm]	1	2	3	4	6
$\rho$ [ $\text{kg}/\text{cm}^3$ ]	0,9529	0,9533	0,9533	0,9533	0,9533
g [p]	4,8404	4,9885	5,0260	5,1163	5,1317

Rozbor výsledků ukázal, že hustota vystříká při nízké teplotě vstříkovací formy nebyla prakticky ovlivněna vstříkovací teplotou. Při vysoké teplotě vstříkovací formy však zvýšující se vstříkovací teplota způsobila nepatrný vzrůst hustoty. Vzrůst ovšem byl též na hranici chyb stanovení.

Podobně zvýšení vstříkovacího tlaku způsobilo při jinak stejných podmínkách vstříkování nepatrný vzrůst hustoty. Z hlediska technické praxe jsou však změny hustoty tak malé, že mohou být ve většině případů zanedbány. Pouze při přesnějších výzkumech je nutné s nimi počítat.

Teplota vstříkovací formy se projevila zřetelně. Ve všech sledovaných případech byla hustota výstříků při teplotě formy  $70^{\circ}\text{C}$  vyšší než při  $30^{\circ}\text{C}$ . Zvýšení hustoty představovalo asi 0,3 %.

Rovněž vliv sledovaných technologických faktorů na váhu zkoušebních těles byl jednoznačný. Jak zvýšení vstříkovací teploty, tak i zvyšování vstříkovacího tlaku mělo za následek zvětšení váhy výstříků. V souvislosti s předcházejícími výsledky je zřejmé, že hlavní úlohu při tom hraje zvětšování objemu výstříku. Když byla váha výstříku při  $T_{vs} = 160^{\circ}\text{C}$  a  $P_{vs} = 570 \text{ kp/cm}^2$  položena za základ, potom zvýšení vstříkovací teploty ze 160 na  $260^{\circ}\text{C}$  způsobilo zvětšení váhy asi o 3 %, zvýšení vstříkovacího tlaku z 570 na  $750 \text{ kp/cm}^2$  zvětšení asi o 1 %. Zvýšení teploty vstříkovací formy ze 30 na  $70^{\circ}\text{C}$  naopak způsobilo mírný pokles váhy, a to asi o  $1/2\%$ . Celková váha klesla přesto, že se hustota za stejných okolností zvýšila. Tuto skutečnost je možno vysvětlit takto: Váha výstříku je ovlivňována dvěma pochody, a to vlastním plněním dutiny formy a krystalizací polyméru. Z rozboru vstříkovacího procesu vyplývá, že váha výstříku je určována termodynamickými veličinami v bodě zatuhnutí. V tomto bodě je vliv teplota větší části polyméru v dutině pravděpodobně jen o málo nižší než teplota moknutí, takže krystalizace probíhla jen v malé míře. Většina hmoty zkrystalizuje při teplotách mnohem nižších,

kdy však do prostoru uvolněného krystalizací již další hmoty nemůže být vtlačena. Při vyšší teplotě vstřikovací formy je uvolněný prostor v její dutině malý a tedy i dodatečně vtlačené množství taveniny je malé. To je příčinou, že váha vystříků při vyšší teplotě formy je menší než při nízké teplotě formy.

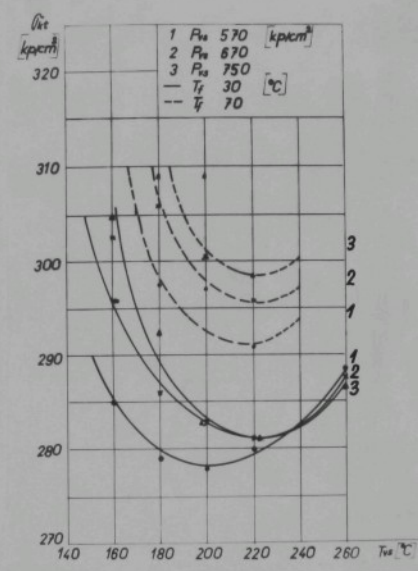
Stanovení vlivu průměru ústí vtoku potvrdilo předcházející závislosti. Zvětšování průměru ústí mohlo za následek zvýšení váhy tělesa, ale hustota nebyla ovlivněna.

#### 4.6.1.4. Závislost horní meze kluzu s tažností na podmírkách vstřikování

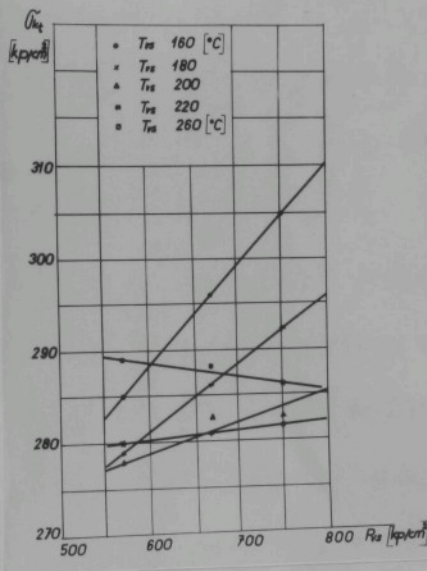
Úvodem je třeba říci, že objektivní závěry mohly být vyvozeny jen z hodnot horní meze kluzu. Vyhodnocení tažnosti selhalo, neboť z výsledků nebylo možno odvodit spolehlivou závislost. Původně bylo zamýšleno hodnotit tažnost těles při přetřžení. Tato hodnota je však velmi neopalemivá, protože závisí na vnitřní místní vadě tělesa. Očekávalo se, že přenější výsledky poskytne tažnost odpovídající horní mez kluzu. Ale tento pokus ztroskotal, protože trhací diagram nebylo možno vyhodnotit s takovou přesností, aby nevznikala i zde velká chyba. Situaci nezlepšilo ani používání uhlového papíru, na nějž byl diagram zaznamenáván jehlou.

Naměřené výsledky horní meze kluzu  $\sigma_{kt}$ , tažnost při přetřžení  $\epsilon_p$  a tažnost na hornímez kluzu  $\epsilon_k$  jsou uvedeny v tab. 38, přísl. 8. Výpočetní koeficient stanovení horní meze kluzu činil  $V\sigma_{kt} = \pm 1,36 \%$ , pro tažnost nebyl počítán, byl však výsledek než 10 %.

Závislost horní meze kluzu na podmírkách vstřikování je na obr. 36. Na obr. 37 je uveden vliv vstřikovacího tlaku na horní mez kluzu.



Obr. 36. Závislost  $G_{kt}$  na  $T_{vs}$ ,  $P_{vs}$  a  $T_f$



Obr. 37. Vliv  $P_{vs}$  na  $G_{kt}$  při různé  $T_{vs}$ ,  $T_f = 30^\circ C$

Z obr. 36 je patrné, že horní mez kluzu při teplotě formy 30 °C vykazuje minimum při vstřikovacích teplotách mezi 200 až 220 °C. Při teplotě formy 70 °C byla zaznamenána jen klesající část křivky, protože při teplotě vyšší než  $T_{vs} = 220$  °C již nebylo možno vyrobit bezvadná tělesa.

Obr. 37 ukazuje, že zvýšení vstřikovacího tlaku má za následek vzrůst horní meze kluzu. Vliv tlaku však závisí na vstřikovací teplotě. Při nízkých vstřikovacích teplotách je vliv zřetelný, zatím co při vysoké vstřikovací teplotě se stává zanedbatelný.

Zvýšení teploty vstříkovací formy způsobila ve všech případech vzrůst horní meze kluzu. Bezesporu se uplatnilo zvětšení hustoty výstřiku.

V souladu s předchozím výsledky bylo zjištěno, že zvětšování průměru ústí vtoku vede ke zvýšení horní meze kluzu, jak ukazuje tab. 10.

Tab.10. Závislost horní meze kluzu  $\sigma_{kt}$  a tažnosti při přetřížení  $E_p$  na průměru ústí vtoku  $d_u$ .

$$T_{vs} = 220^{\circ}\text{C}, P_{vs} = 670 \text{ kp/cm}^2, T_f = 30^{\circ}\text{C}$$

$d_u$ [mm]	1	2	3	4	6
$\sigma_{kt}$ [kp/cm <sup>2</sup> ]	266,0	271,6	272,2	281,1	283,0
$E_p$ (%)	470	128	188	185	90

Poznámka 1. Při stanovení meze kluzu bylo pozorováno, že k vytvoření hráku v měřené části tělesa docházelo pravidelně na konci protilehlém ústí vtoku. Ukazuje to, že pevnost tělesa byla v tomto místě nejmenší. Ani sebepečlivějším měřením však nebylo prokázáno, že by tomuto místu odpovídalo také nejmenší průřez tělesa.

Poznámka 2. K vysvětlení přičin vzrůstu horní meze kluzu při vysoké vstříkovací teplotě po předcházejícím minimu byla zkušební tělesa rozkrájena na granulát a u něj byla změřena fluiddita na vytlačovacím plastoměru. Výsledky jsou uvedeny v tab. 11.

Z tabulký je zřejmé, že fluiddita při stoupající vstříkovací teplotě proti očekávání klesá. Znamená to, že během vstříkování dochází k zvětšování molekul polyméru v důsledku sítování či další polymerace. K tomuto jevu dochází právě při

teplotách nad  $200^{\circ}\text{C}$ , což souvisí i se zvýšením horní meze kluzu.

Tab.11. Fluidita  $\phi$  polyetylénu ze zkoušebních těles vstřikovaných při různé vstřikovací teplotě

Tvs [°C]	$\phi [\text{cm}^3/\text{sec}] \cdot 10^4$
originální granulát	148
160	154,5
180	149,3
200	130
220	101
260	92

#### 4.6.1.5. Hodnocení homogenity zkoušebních těles

Na nehomogenitu tělesa upozornily nepřímo tahové zkoušky při stanovení meze kluzu. Pevnostně nejslabší místo leželo vždy na vzdálenějším konci měřené části tělesa vzhledem k ústí vtoku. Rovněž z teoretického rozboru vyplynulo, že zúžená část tělesa má mít jiné vlastnosti než obě okrajové části sloužící k uchycení tělesa do celiství.

Nehomogenita byla potvrzena stanovením mikrotvrdosti, jak ukazuje tab. 12.

Tab.12. Závislost mikrotvrdosti HV zkoušebních těles na vzdálenosti od ústí vtoku l u

Podmínky vstřikování :  $T_{vs} = 180^{\circ}\text{C}$ ,  $P_{vs} = 670 \text{ kp/cm}^2$ ,  $du = 4\text{mm}$

$tu [\text{mm}]$	10	30	50	70	90	110	130
$HV [\text{kP/mm}^2]$	5,88	5,79	6,46	6,46	5,94	5,47	5,16

Body vzdálené od místa ústí vtoku 50 a 70 mm leží ve zúžené části, bod příslušející 90 mm na její hranici. Jak je zřejmý střední část tělesa vyzkoušel jiné vlastnosti než obě okrajové. Mikrotvrdoost ve střední části byla vůbec nejvyšší, nejnižší naopak na konci protilehlém ústí vtoku.

Stanovení mikrotvrdoosti bylo časově velmi náročné, a proto bylo od dalších měření na tělesech upuštěno.

K dalším orientačním zkouškám bylo použito penetrometrické metody. Hloubka vpichu jehly byla stanovena na pěti místech tělesa, a to 10 mm od ústí vtoku, 1, na počátku 2, ve středu 3, a na konci 4 zúžené části, a 10 mm od konce tělesa 5. Výsledky jsou v tabulce 13.

Tab. 13. Závislost  $\eta$  hloubky vpichu  $\varnothing$  při teplotě jehly

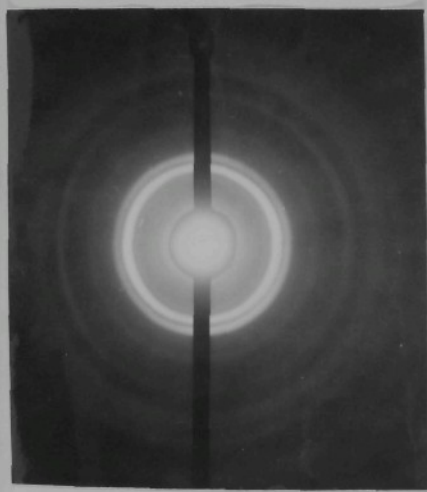
120 °C na vzdálenost od ústí vtoku

$P_{vs} = 670 \text{ kp/cm}^2$ ,  $T_f = 30^\circ\text{C}$ ,  $du = 4 \text{ mm}$

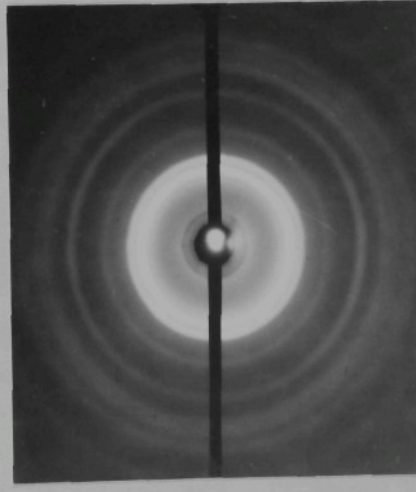
Poloha vpichu	$\eta \cdot 10^2 [\text{mm}]$				
	1	2	3	4	5
$T_{vs} [\text{°C}]$					
200	80	78	84	76	77
220	83	82	86	75	81
260	81	81	84	77	72

Jak ukazují výsledky projevila se nestejnoroost tělesa i při penetrometrických měření. Je však nutno říci, že ani tato metoda neuspokojila při hodnocení stupně orientace. Tak je možno jen s určitou pravděpodobností soudit, že orientace je nejvyšší ve střední části těles a nejnižší na jejích konci.

K ověření správnosti Ballmanovy teorie o rozložení orientace bylo dále použito rentgenografie. Z povrchu tělesa a z jeho střední části byly na mikrotomu seříznuty vrstvy o tloušťce 0,2 mm, u nichž byly zhotoveny rentgenogramy. Pokus však skončil bezúspěšně, protože jak ukazují obr. 38a a 38b v rentgenogramech nebylo rozdílu.



Obr.38a  
Rentgenogramy vnitřní a povrchové vrstvy  
zkoušebních těles



Protože se v literatuře doporučuje hodnotit orientaci na základě sražení za tepla, byla tato metoda vyzkoušena i v této práci. Zkoušební tělesa byla rozřezána na čtyři části, které byly po dobu 10 min. zahřívány na teplotu  $135 \pm 2^{\circ}\text{C}$ . Po ochlazení na výdechu bylo zjištěno sražení jednotlivých částí. Výsledky jednoho takového měření kompletního výstřiku, sestávajícího ze tří zkoušebních těles, jsou v tab. 14.

Tab.14. Smrštění jednotlivých částí zkušebních těles za tepla

Poloha ve výstřiku	Poloha v tělese			
	Smrštění (%)			
	1	2	3	4
1. okraj	6,5	6,4	5,6	3,5
střed	4,2	7,3	3,6	2,3
2. okraj	5,6	4,1	3,7	3,0

V tab. značí :

- 1 - okraj tělesa u ústí
- 2 - zúžená část tělesa směrem k ústí
- 3 - zúžená část tělesa směrem ke konci
- 4 - konec tělesa

Výsledky v tab. 14 jsou typické pro provádění měření.  
(Pokus byl několikrát opakován.) Jak je zřejmé, vykazovala metoda veliký rozptyl výsledků. K u příkladu obě okrajová tělesa byla vyrobena za naprosto stejných podmínek a rovněž podmínky při měření byly stejné a přesto se naměřené hodnoty velmi lišily. Proto i vyhodnocení výsledků bylo problematické. Bylo možno pouze soudit, že orientace klesá od ústí vtoku k opačnému konci tělesa, ale nebylo možno spolehlivě určit, kde orientace dosahuje maxima.

S ohledem na neuspokojující výsledky měření bylo od dalších upuštěno, protože metoda, jak se zdá, není pro kryrstalizující plastické hmoty vhodná.

V různé vzdálenosti od místa ústí vtoku byla díle stanovena hustota flotační metodou. Protože bylo již dříve zjištěno, že ani vstříkovací teplota ani vstříkovací tlak hustotu

neovlivňují, nebyl vliv těchto faktorů systematicky studován.  
Naměřené výsledky jsou v tab. 15.

Tab. 15. Hustota zkoušebních těles v různé vzdálenosti od ústí  
vtoku

Vzdálenost od ústí [mm]	0	45	95	135
T <sub>f</sub> = 30 °C, P <sub>vs</sub> = 570 kp/cm <sup>2</sup>				
T <sub>vs</sub> = 160 °C	0,9535	0,9531	0,9530	0,9530
T <sub>vs</sub> = 260 °C	0,9535	0,9533	0,9533	0,9530
T <sub>f</sub> = 30 °C, P <sub>vs</sub> = 750 kp/cm <sup>2</sup>				
T <sub>vs</sub> = 160 °C	0,9536	0,9533	0,9531	0,9530
T <sub>vs</sub> = 260 °C	0,9534	0,9532	0,9532	0,9531
T <sub>f</sub> = 70 °C, P <sub>vs</sub> = 570 kp/cm <sup>2</sup>				
T <sub>vs</sub> = 200 °C	0,9572	0,9564	0,9559	0,9564

Výsledky v tab. 15 ukazují, že hustota není stejná ve všech místech výstřiků, ale že vylazuje maximum v blízkosti ústí vtoku. V této části tělesa také nejrychleji klesá, zatím co ve vzdálenějších místech se mění jen nepatrně.

#### 4.6.1.6. Zhodnocení výsledků měření na tělesech pro tahovou zkoušku

Mezi jednotlivými technologickými faktory existuje těsná souvislost. Platí to především o závislosti vnitřního tlaku na vstříkovací teplotě, na vnějším vstříkovacím tlaku i na rozměrech ústí vtoku. Z toho vyplývá, že není možno sledovat vliv jen jedného faktoru, např. měnící se vstříkovací teploty,

při konstantním vnějším vstříkovacím tlaku na změnu vlastnosti výstřiku, protože v dutině vstříkovací formy se mění nejen teplota taveniny, ale i vnitřní tlak. Totéž platí o vlivu ústí vtoku atd. Protože změna vnitřního tlaku se vstříkovací teplotou je závislá na vlastnostech taveniny plastické hmoty, mohou být vlivy technologických faktorů u různých hmot velmi odlišné.

Ve sledovaném případě převládal při zvyšování vstříkovací teploty vliv vnitřního tlaku. Tento se projevil jak na rozdílech tak na váze výstřiku.

Z výsledků vyplývá, že názor podle něhož zvyšování vstříkovací teploty má za následek větší smrštění je z jednodušen a nemá obecnou platnost. Konečná hodnota smrštění závisí jak na samotném zvýšení vstříkovací teploty tak na zvýšení vnitřního tlaku. V praxi mohou nastat tři případy :

1. Vliv stoupajícího vnitřního tlaku je větší než vliv stoupající vstříkovací teploty a v tomto případě klesá smrštění a když vstříkovací teplota se zvyšuje.
2. Zvětšení smrštění vlivem zvyšující se teploty se právě rovní jeho zmenšení vlivem vzrůstu tlaku. Pak je smrštění konstantní. Tento případ je ovšem víceméně jen teoretický.
3. Zmenšení smrštění v důsledku vzrůstu tlaku je menší než jeho zvětšení vlivem zvýšené vstříkovací teploty. Pak se smrštění se stoupající vstříkovací teplotou zvětšuje.

Který z těchto tří případů nastane, závisí na vlastnostech taveniny příslušného druhu plastické hmoty.

Vnitřní tlak ovlivňuje také horní močál luzu zkusebních těles. Naproti tomu se nepodařilo stanovit závislost težnosti na podmírkách vstříkování pro příliš velký rozptyl naměřených

hodnot. Podobně narezilo na potíže prověření homogenity těles. Výsledky měření mikrovýtrdosti, měření na penetrometru a částečně smrštění za tepla ukazují, že orientace molekul dosahuje pravděpodobného maxima ve zúžené části výstřiku. Hustota výstřiku byla nejvyšší v bezprostřední blízkosti ústí vtoku, směrem k opačnému konci klesala.

#### 4.6.2. Výsledky měření na kotoučích

##### 4.6.2.1. Zjištění vztahu mezi technologickými faktory

Nejdříve byl stanoven vztah mezi vstříkovací teplotou a vnitřním tlakem. Vnitřní tlak byl měřen jednak uprostřed kotouče proti ústí vtoku a je označen  $P_{is}$ , jednak na okraji kotouče a je označen  $P_{ik}$ . Dále byla stanovena závislost vnitřního tlaku na vnějším vstříkovacím tlaku  $P_{vs}$ , na průměru ústí vtoku  $d_u$ , na tloušťce kotouče  $hk$  a na teplotě vstříkovací formy  $T_f$ . Výsledky těchto měření jsou uvedeny v tab. 16, 17 a 18.

Z výsledků je možno učinit následující závěry :

1. Zvyšování vstříkovací teploty má za následek vzrůst vnitřního tlaku. Toto platí bez výhrad pro tloušťku kotouče 2 mm, u kotouče tlustého 1 mm pouze pro tlak na okraji kotouče. Tlak ve středu kotouče v některých případech naopak mírně poklesl.
2. Stoupající vstříkovací teplota zmenšuje rozdíl tlaku ve středu a na okraji kotouče, tzn. že podmínky vstříkování jsou při vysoké vstříkovací teplotě homogenější. Tento

závěr je zřetelný u kotoučů tlustých 1 mm, u kotoučů tlustých 2 mm je tlakový rozdíl na vstřikovací teplotě prakticky nezávislý.

3. Vzrůst vnějšího tlaku má za následek zvýšení tlaku vnitřního.
4. Rovněž zvýšení teploty vstřikovací formy vede ke zvýšení vnitřního tlaku.
5. Ve všech případech, kdy dochází ke zvýšení vnitřního tlaku, zvětšuje se i tloušťka kotouče.
6. Vstřikování tenkých kotoučů je velice citlivé na dodržení optimálních technologických podmínek. Z tab. 16 je zřejmé, že kotouč o tloušťce 1 mm může být vstřikován při dané vstřikovací teplotě maximálně při dvou různých hodnotách vstřikovacího tlaku, které leží v rozmezí asi  $100 \text{ kp/cm}^2$ . Při větším zvýšení tlaku se tvoří přetoky, při jeho snížení je kotouč neúplný.  
Naproti tomu je možno kotouče s tloušťkou 2 mm vstřikovat při zvolené teplotě v širokém rozmezí vstřikovacího tlaku.  
Je ale nutno pamatovat, že s tlakem se mění i tloušťka kotouče.  
Také zvyšující se teplota vstřikovací formy rozšířuje oblast použitelnosti vstřikovacího tlaku.
7. Při stejně vstřikovací teplotě a stejném vstřikovacím tlaku byl vnitřní tlak ve středu kotouče u 2 mm kotoučů nižší než tentýž u kotoučů o tloušťce 1 mm. U tlaku na okraji tomu však bylo naopak. Toto lze vysvětlit tím, že u tenkých kotoučů vzniká v dutině formy velký odpor proti tečení, což vyvolává i velký tlakový spád. Protože odpory u tlustých kotoučů jsou menší, dosahuje tlak ve středu nižší hodnoty.
8. Zvětšování průměru ústí vtoku má různý vliv u tenkých a u tlustých kotoučů. U tenkých kotoučů nezávisí vnitřní tlak na průměru ústí vtoku. To souvisí bezpochyby s tím, že výbě vnitř-

ního tlaku je ovlivněna především odpory ve vlastní dutině formy. U 2 mm kotoučů stoupá vnětřní tlak až do průměru ústí 3 mm. Rozdíl mezi ústím 3 a 5 mm je ale nepatrný.

Tab.16. Závislost Pis a Pik na Pvs a Tvs pro teoretickou tloušťku kotouče  $hk = 1 \text{ mm}$ ;  $du = 2 \text{ mm}$

Tf = 50 °C						
Pvs [kp/cm <sup>2</sup> ]	Tvs [°C]	Pis [kp/cm <sup>2</sup> ]	510	530	460	380
X 175	175	Pik [kp/cm <sup>2</sup> ]	500			
		Pik [kp/cm <sup>2</sup> ]	195			
		hk [mm]	1,25			
	200	Pis [kp/cm <sup>2</sup> ]	520	455		
		Pik [kp/cm <sup>2</sup> ]	290	215		
		hk [mm]	1,45	1,2		
	220	Pis [kp/cm <sup>2</sup> ]		440	395	
		Pik [kp/cm <sup>2</sup> ]		310	300	
		hk [mm]		1,35	1,2	
240	240	Pis [kp/cm <sup>2</sup> ]			370	310
		Pik [kp/cm <sup>2</sup> ]			320	260
		hk [mm]			1,25	1,2
Tf = 90 °C						
Tvs [°C]	Pis [kp/cm <sup>2</sup> ]	Pik [kp/cm <sup>2</sup> ]	410	335		
200	200	hk [mm]		250	130	
		Pik [kp/cm <sup>2</sup> ]		1,2	1,15	
		hk [mm]				
220	220	Pis [kp/cm <sup>2</sup> ]		420	340	
		Pik [kp/cm <sup>2</sup> ]		270	210	
		hk [mm]		1,25	1,15	

Tab.17. Závislost Pis a Pik na Pvs a Tvs pro teoretickou tloušťku kotouče  $hk = 2 \text{ mm}$ ;  $du = 2 \text{ mm}$

$T_f = 50^\circ\text{C}$								
Pvs [kp/cm <sup>2</sup> ]	Tvs [ $^\circ\text{C}$ ]	Pis [kp/cm <sup>2</sup> ]	610	530	460	380	310	230
175	Pik [kp/cm <sup>2</sup> ]	400	375	310	260	170		
	hk [mm]	365	300	280	225	120		
	2,4	2,2	2,1	2,05	2,0			
200	Pis [kp/cm <sup>2</sup> ]		390	345	280	190		
	Pik [kp/cm <sup>2</sup> ]		320	285	245	155		
	hk [mm]		2,4	2,2	2,1	2,0		
220	Pis [kp/cm <sup>2</sup> ]			365	310	220	150	
	Pik [kp/cm <sup>2</sup> ]			300	255	180	85	
	hk [mm]			2,25	2,05	2,0	2,0	
240	Pis [kp/cm <sup>2</sup> ]			390	320	240	160	
	Pik [kp/cm <sup>2</sup> ]			340	280	200	105	
	hk [mm]			2,3	2,1	2,0	2,0	

$T_f = 90^\circ\text{C}$								
Tvs [ $^\circ\text{C}$ ]	Pis [kp/cm <sup>2</sup> ]	Pik [kp/cm <sup>2</sup> ]	hk [mm]	280	235	155		
200				225	160	100		
				2,0	2,05	2,0		
220				335	250	180		
				280	215	125		
				2,1	2,05	2,0		

Tab.18a. Vliv průměru ústí vtoku du na Pis a Pik při různém Pvs;  $Tvs = 200^\circ\text{C}$ ,  $T_f = 50^\circ\text{C}$ ,  $hk = 1 \text{ mm}$

Pvs [kp/cm <sup>2</sup> ]	650	610	530	460
du [mm]	Pis [kp/cm <sup>2</sup> ]	Pik [kp/cm <sup>2</sup> ]	hk [mm]	
1	Pis [kp/cm <sup>2</sup> ]	540		
	Pik [kp/cm <sup>2</sup> ]	180		
	hk [mm]		čpatné	
2	Pis [kp/cm <sup>2</sup> ]		520	455
	Pik [kp/cm <sup>2</sup> ]		290	215
	hk [mm]		1,45	1,2
3	Pis [kp/cm <sup>2</sup> ]			465
	Pik [kp/cm <sup>2</sup> ]			275
	hk [mm]			1,25
5	Pis [kp/cm <sup>2</sup> ]			430
	Pik [kp/cm <sup>2</sup> ]			280
	hk [mm]			1,45

Tab.18b. Vliv průměru ústí vtoku du na Pis a Pik při různém PvS;  $T_{vs} = 200^{\circ}\text{C}$ ,  $T_f = 50^{\circ}\text{C}$ , hk = 2 mm

PvS [kp/cm <sup>2</sup> ]	du [mm]	610	530	460	380	310	230
1	Pis [kp/cm <sup>2</sup> ]	400	335	250	185		
	Pik [kp/cm <sup>2</sup> ]	310	260	215	145		
	hk [mm]	2,5	2,15	2,0	2,0		
2	Pis [kp/cm <sup>2</sup> ]		390	345	280	190	
	Pik [kp/cm <sup>2</sup> ]		320	285	245	155	
	hk [mm]		2,4	2,2	2,1	2,0	
3	Pis [kp/cm <sup>2</sup> ]			375	305	230	165
	Pik [kp/cm <sup>2</sup> ]			320	260	195	110
	hk [mm]			2,3	2,1	2,0	2,0
5	Pis [kp/cm <sup>2</sup> ]			385	300	235	170
	Pik [kp/cm <sup>2</sup> ]			325	270	210	125
	hk [mm]			2,5	2,1	2,05	2,0

#### 4.6.2.2. Měření horní meze kluzu a meze pevnosti ve střihu na kotoučích

Horní mez kluzu byla měřena na mikrotělesech vystřížených na poloměrech 30 a 55 mm. Tyto vzdálenosti odpovídaly minimální a maximální poloze mikrotělesa v radiálním směru. Na obou poloměrech byla tělesa odbrána jak v radiálním, tak v tangenciálním směru. Na těchto poloměrech byla stanovena také mez pevnosti ve střihu. Výsledky měření jsou sestaveny do tabulek 19, 20 a 21. Variacionní koeficient horní meze kluzu byl roven  $V\sigma_{kt} = \pm 1,64\%$ , meze pevnosti ve střihu  $V\sigma_f = \pm 1,03\%$ .

Graficky nebylo možno výsledky zpracovat, protože technologické podmínky musely být voleny podle vzájemné závislosti, takže porovnatelné podmínky se vyslytly zpravidla jen pro dva či tři případy jedné série.

Tab.19. Horní mez kluzu  $\tilde{\sigma}_{ktr}$  a  $\tilde{\sigma}_{ktt}$  a mez pevnosti ve stříku  $\tilde{\tau}_s$  na kotoučích o tloušťce 1 mm

$T_f = 50^\circ C$							
$T_{vs}$ [°C]	$P_{vs}$ [kp/cm²]	$\tilde{\sigma}_{ktr3}$ [kp/cm²]	$\tilde{\sigma}_{ktt3}$ [kp/cm²]	$\tilde{\tau}_{s3}$ [kp/cm²]	$\tilde{\sigma}_{ktr5}$ [kp/cm²]	$\tilde{\sigma}_{ktt5}$ [kp/cm²]	$\tilde{\tau}_{s5}$ [kp/cm²]
175	610	479	332	343	329	338	282
200	610	384	325	311	301	339	284
	530	408	327	303	296	329	272
220	530	405	326	302	313	336	283
	460	380	326	302	304	329	274
	460	342	317	290	302	321	271
240	380	350	308	284	300	320	270

$T_f = 90^\circ C$							
$T_{vs}$ [°C]	$P_{vs}$ [kp/cm²]	$\tilde{\sigma}_{ktr3}$ [kp/cm²]	$\tilde{\sigma}_{ktt3}$ [kp/cm²]	$\tilde{\tau}_{s3}$ [kp/cm²]	$\tilde{\sigma}_{ktr5}$ [kp/cm²]	$\tilde{\sigma}_{ktt5}$ [kp/cm²]	$\tilde{\tau}_{s5}$ [kp/cm²]
200	460	383	327	288	306	322	269
	380	394	330	291	316	350	286
220	460	369	324	290	306	330	276
	380	365	323	284	317	323	275

Význam symbolů :

$\tilde{\sigma}_{ktr3}$  - horní mez kluzu v radiálním směru na poloměru 30 mm

$\tilde{\sigma}_{ktt3}$  - horní mez kluzu v tangenciálním směru na poloměru 30 mm

$\tilde{\tau}_{s3}$  - mez pevnosti ve stříku na poloměru 30 mm

$\tilde{\sigma}_{ktr5}$  - horní mez kluzu v radiálním směru na poloměru 55 mm

$\tilde{\sigma}_{ktt5}$  - horní mez kluzu v tangenciálním směru na poloměru 55 mm

$\tilde{\tau}_{s5}$  - mez pevnosti ve stříku na poloměru 55 mm

Tab.20. Horní mez kluzu  $\tilde{v}_{ktr}$  a  $\tilde{v}_{ktt}$  a meze pevnosti ve  
střihu  $\tilde{\tau}_s$  na kotoučích o tloušťce 2 mm

T <sub>r</sub> = 50 °C							
T <sub>vs</sub> [°C]	P <sub>vs</sub> [kp/cm <sup>2</sup> ]	$\tilde{v}_{ktr3}$ [kp/cm <sup>2</sup> ]	$\tilde{v}_{ktt3}$ [kp/cm <sup>2</sup> ]	$\tilde{\tau}_{s3}$ [kp/cm <sup>2</sup> ]	$\tilde{v}_{ktr5}$ [kp/cm <sup>2</sup> ]	$\tilde{v}_{ktt5}$ [kp/cm <sup>2</sup> ]	$\tilde{\tau}_{s5}$ [kp/cm <sup>2</sup> ]
175	610	306	310	269	287	302	256
	530	305	303	370	383	389	259
	460	298	306	271	274	296	263
	380	306	326	275	294	307	267
	310	306	328	279	291	317	270
	200	530	305	299	264	288	296
200	460	302	303	269	287	296	261
	380	297	313	270	276	290	262
	310	295	309	277	278	293	267
	220	460	301	308	268	287	293
220	380	299	316	276	295	297	270
	310	302	315	280	289	298	271
	230	303	297	278	279	296	271
	240	460	297	302	268	288	298
240	380	296	302	271	288	295	270
	310	305	312	275	289	301	272
	230	296	315	278	289	303	274

T <sub>r</sub> = 90 °C							
T <sub>vs</sub> [°C]	P <sub>vs</sub> [kp/cm <sup>2</sup> ]	$\tilde{v}_{ktr}$ [kp/cm <sup>2</sup> ]	$\tilde{v}_{ktt}$ [kp/cm <sup>2</sup> ]	$\tilde{\tau}_s$ [kp/cm <sup>2</sup> ]	$\tilde{v}_{ktr}$ [kp/cm <sup>2</sup> ]	$\tilde{v}_{ktt}$ [kp/cm <sup>2</sup> ]	$\tilde{\tau}_s$ [kp/cm <sup>2</sup> ]
200	380	309	306	271	294	303	265
	310	305	317	276	298	299	271
	230	309	320	279	296	312	274
	220	380	319	320	280	310	307
	310	320	342	280	319	325	278
	230	320	340	282	317	325	279

Tab.21. Vliv průměru ústí vtoku na  $\tilde{\sigma}_{ktr}$ ,  $\tilde{\sigma}_{ktt}$  a  $\tilde{\tau}_s$

Podmínky vstřikování :  $T_{vs} = 200^\circ\text{C}$ ,  $T_f = 50^\circ\text{C}$

Tloušťka kotouče : $hk = 1 \text{ mm}$							
$du$ [mm]	$P_{vs}$ [kp/cm <sup>2</sup> ]	$\tilde{\sigma}_{ktr}$ [kp/cm <sup>2</sup> ]	$\tilde{\sigma}_{ktt}$ [kp/cm <sup>2</sup> ]	$\tilde{\tau}_{s3}$ [kp/cm <sup>2</sup> ]	$\tilde{\sigma}_{ktr5}$ [kp/cm <sup>2</sup> ]	$\tilde{\sigma}_{ktt5}$ [kp/cm <sup>2</sup> ]	$\tilde{\tau}_{s5}$ [kp/cm <sup>2</sup> ]
2	610	384	325	311	301	339	284
	530	373	327	303	296	329	272
3	530	404	347	305	308	356	279
	460	414	348	303	305	342	270
5	530	420	346	310	316	352	280
	460	413	336	296	314	346	271
$hk = 2 \text{ mm}$							
1	610	303	314	273	301	305	265
	530	309	320	276	299	307	271
	460	307	307	281	298	307	273
	380	307	307	280	296	316	274
2	530	305	299	264	288	296	254
	460	302	303	269	287	296	261
	380	297	312	270	276	290	262
	310	295	309	277	278	293	267
3	460	306	315	270	294	302	266
	380	304	312	276	295	305	271
	310	305	325	278	293	304	271
	230	308	331	279	294	313	272
5	460	310	313	269	297	302	261
	380	311	319	274	292	306	266
	310	308	327	280	289	302	268
	230	302	329	272	292	304	268

Aby bylo možno učinit si představu o vlivu technologie vstříkování na vlastnost výstřiku, byla pro porovnání stanovena horní mez kluzu Rigidexu 50 na normalizovaných zkušebních tělesech pro tah. Tělesa byla vyrábena vstříkováním při teplotě  $T_{vs} = 200^{\circ}\text{C}$  na lise TOG 1245. Vstříkovací tlak u lisu nebyl znám. Horní mez kluzu Rigidexu 50 takto stanovená byla rovna  $279 \pm 3,3 \text{ kp/cm}^2$  ( $V_{\mu_t} = \pm 1,14\%$ ).

Na základě výsledků měření uvedených v tab. 19, 20 a 21 je možno učinit následující závěry :

1. Kotouč o tloušťce 1 mm :

1.1. Zvyšování vstříkovací teploty a s tím spojené snížování vstříkovacího tlaku má na poloměru 30 mm za následek pokles horní meze kluzu jak v radiálním, tak v tangenciálním směru. Obdobně klesá i mez pevnosti ve střihu. Změna těchto vlastností na poloměru 55 mm se zvyšující se vstříkovací teplotou je méně zřetelná.

1.2. Zvýšení teploty vstříkovací formy nemělo vliv na změnu sledovaných mechanických vlastností, protože hodnoty ležely v mezích chyb stanovení.

1.3. Horní mez kluzu v radiálním směru i mez pevnosti ve střihu klesají s rostoucím poloměrem. Horní mez kluzu v tangenciálním směru se s poloměrem prakticky nemění.

2. Kotouč o tloušťce 2 mm :

2.1. Hodnoty mechanických vlastností užazují, že homogenita kotoučů je značně výšší než při tloušťce 1 mm.

2.2. Vliv vstříkovací teploty je menší než chyba stanovená. Snížením vstříkovacího tlaku dochází k nepatrnému zvýšení horní meze kluzu v tangenciálním směru a mez pevnosti

ve střihu. Toto zvýšení je způsobeno zmenšením tloušťky kotoučů a tedy relativním zvýšením podílu orientovaných vrstev.

Zvýšení teploty vstříkovací formy mělo za následek mírný vzrůst mechanických vlastností.

- 2.3. Rozdíl mechanických vlastností na měřených poloměrech je menší než u kotoučů tlustých 1 mm a jesté se dálé snižuje při vyšší vstříkovací teplotě a vyšší teplotě vstříkovací formy.
- 2.4. Z porovnání mechanických vlastností kotoučů o tloušťce 1 a 2 mm je patrné, že vlastnosti tlustšího kotouče jsou v průměru asi o 10 % nižší než u tenkého.

3. Změna průměru ústí vtoku se projevila jen u kotoučů s tloušťkou 1 mm, kde zvýšení průměru způsobilo mírné zvýšení horní meze kluzu. Mez pevnosti ve střihu však zůstala na stejném úrovni. U 2 mm kotoučů se vliv ústí vtoku na mechanické vlastnosti neprojevil vůbec.

#### 4.6.2.3. Vztah mezi horní mezi kluzu a mezi pevnosti ve střihu

Protože je vystřík anizotropním tělem, je možné zjistit poměr horní meze kluzu a meze pevnosti ve střihu jen tehdy, jestliže se uvažuje průměrná hodnota horní meze kluzu v různém a tangenciálním směru. Tedy

$$B = \frac{\rho_{rx} + \rho_{tx}}{2} \quad (41)$$

kde  $x$  je poloměr.

Když byl tento poměr vypočítán pro celý soubor provedených

měření, bylo zjištěno, že hodnota B je velmi dobře konstantní. U 1 mm kotoučů se rovnalo  $B_1 = 1,16 \pm 0,03$ , u dvoumili- metrových kotoučů bylo  $B_2 = 1,12 \pm 0,025$ .

Z malého kolísání hodnoty B je zřejmé, že mezi oběma vlastnostmi existuje přímá závislost, i když je třeba pamatovat, že pevnost ve střihu vyjadřuje průměrnou hodnotu v daném místě pro všechny směry, zatím co mezi kluzu je ovlivněna anizotropií. Pro stanovení přesnější hodnoty B by bylo nutno zjistit horní mez kluzu ve více než dvou směrech. Tento případ nebyl v této práci podrobněji studován.

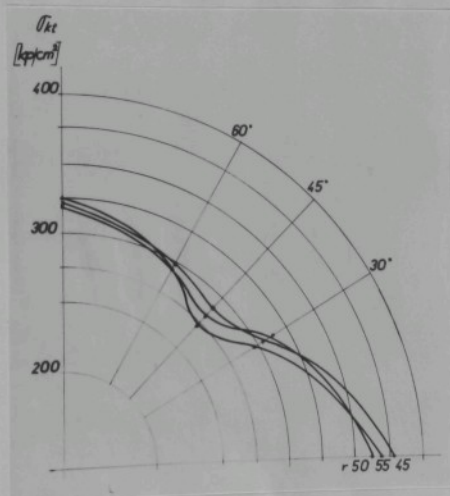
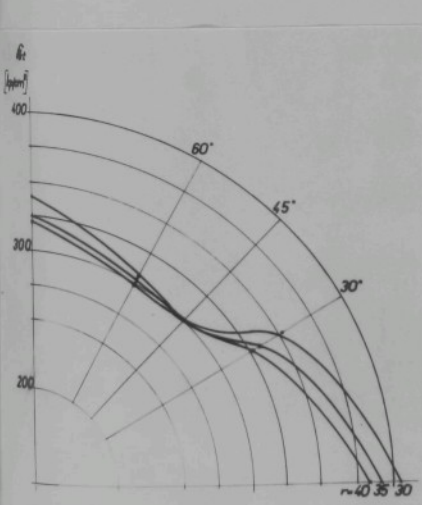
#### 4.6.2.4. Závislost horní meze kluzu na poloměru a úhlu odebrání mikrotělesa

Předcházející pokusy potvrdily, že mechanické vlastnosti výstřiku klesají s rostoucí vzdáleností od místa ústí vtoku. Proto byla tato závislost prověřena důkladněji. Horní mez kluzu byla měřena na čestí různých poloměrech a na každém z nich ještě v pěti různých směrech. Radiálnímu směru byl přisouzen úhel  $0^\circ$ , tangenciálnímu  $90^\circ$ . Ostatní mikrotělesa byla cdebrána pod úhly  $30^\circ$ ,  $45^\circ$  a  $60^\circ$ . Umístění mikrotěles na kotouče pro dva poloměry je zřejmé z obr. 39.

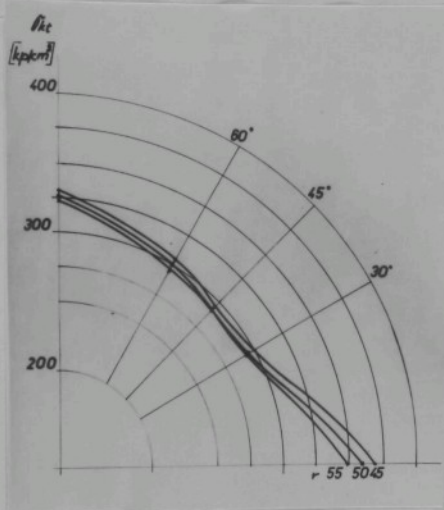
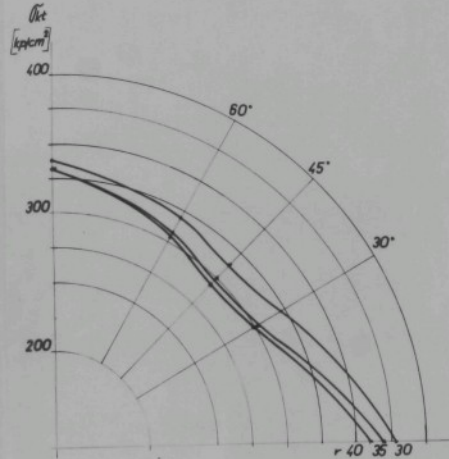
Výsledky měření horní meze kluzu jsou znázorněny v polárních diagramech na obr. 40 až 43. Podrobné hodnoty jsou uvedeny v tab. 39; příloha 9.



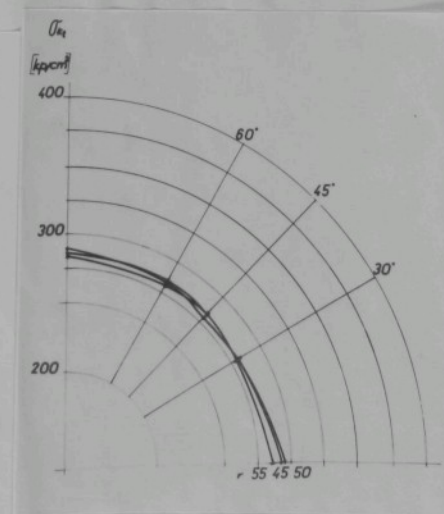
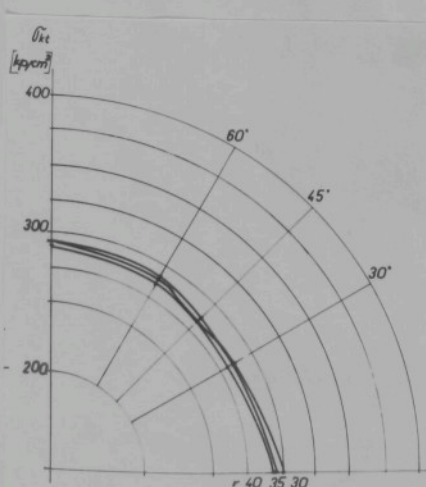
Obr.39. Rozmístění mikrotěles  
na kotouči



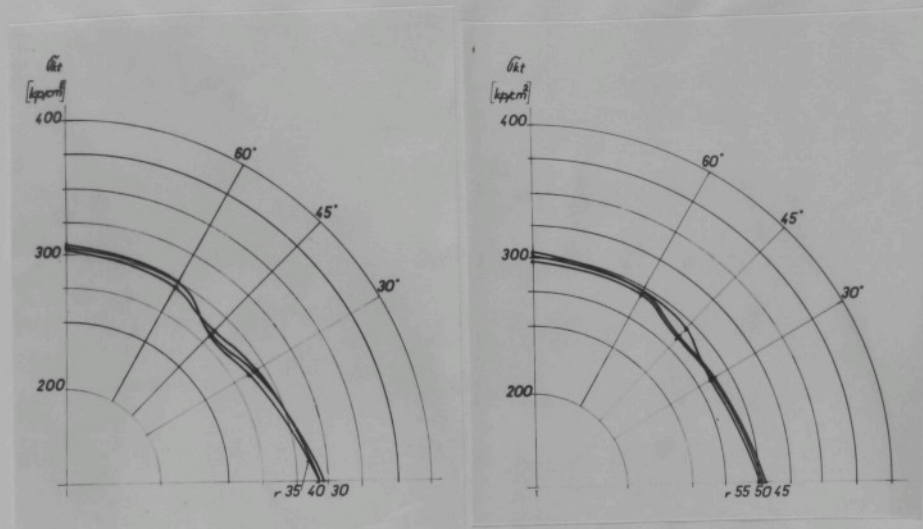
Obr.40ab. Závislost horní meze kluzu na poloměru a úhlu  $\theta_{kt}$ ,  
odebrání mikrotělesa. Podmínky vstřikování :  $T_{vs} = 175^{\circ}\text{C}$ ,  
 $P_{vs} = 610 \text{ kp/cm}^2$ ,  $T_f = 50^{\circ}\text{C}$ ,  $du = 2 \text{ mm}$ ,  $hk = 1,25 \text{ mm}$



Obr.41ab. Závislost horní meze kluzu na poloměru a úhlu odebřání mikrotýlesa. Podmínky vstřikování :  $T_{Vs} = 220^\circ\text{C}$ ,  $P_{Vs} = 530 \text{ kp/cm}^2$ ,  $T_f = 50^\circ\text{C}$ ,  $d_u = 2 \text{ mm}$ ,  $hk = 1,30$



Obr.42ab. Závislost horní meze kluzu na poloměru a úhlu odebřání mikrotýlesa. Podmínky vstřikování :  $T_{Vs} = 200^\circ\text{C}$ ,  $P_{Vs} = 310 \text{ kp/cm}^2$ ,  $T_f = 50^\circ\text{C}$ ,  $d_u = 2 \text{ mm}$ ,  $hk = 2,35 \text{ mm}$



Obr. 43ab. Závislost horní meze kluzu na poloměru a úhlu odebrání mikrotělesa. Podmínky vstřikování :  $T_{vs} = 200^{\circ}\text{C}$ ,  $P_{vs} = 530 \text{ kp/cm}^2$ ,  $T_f = 50^{\circ}\text{C}$ ,  $du = 2 \text{ mm}$ ,  $hk = 2,35 \text{ mm}$

Vliv průměru ústí vtoku a různého úhlu odebrání mikrotělesa na horní mez kluzu je v tab. 22.

Tab. 22. Závislost horní meze kluzu  $\bar{Q}_{kt}$  na úhlu odebrání mikrotělesa při různém průměru ústí vtoku.

Podmínky vstřikování :  $T_{vs} = 200^{\circ}\text{C}$ ,  $P_{vs} = 530 \text{ kp/cm}^2$ ,  $T_f = 50^{\circ}\text{C}$ .

Úhel [°]			$\bar{Q}_{kt} [\text{kp/cm}^2]$				
$du$ [mm]	$r$ [mm]	$hk$ [mm]	0	30	45	60	90
2	30	1,25	373	341	313	286	323
	55		311	296	272	318	329
3	30	1,42	389	299	291	305	328
	55		314	281	270	304	360
5	30	1,45	420	339	320	315	349
	55		331	302	294	322	350

Zhodnocení výsledků : Výsledky potvrdily, že tenké kotouče jsou mnohem nehomogennější než kotouče o tloušťce 2 mm. Horní mez kluzu vykazuje minimum při úhlu odebrání mikrotělesa asi  $45^{\circ}$ .

Rozdíl mezi maximální hodnotou horní meze kluzu, která leží v radiálním směru a minimální pod úhlem  $45^{\circ}$  činila u jednomilimetrových kotoučů téměř 25 % maximální hodnoty. Zvyšující se vstřikovací teplota rozdíl zmenšovala. Naproti tomu rozdíl těchž hodnot u kotoučů 2 mm tlustých činil jen asi 10 %.

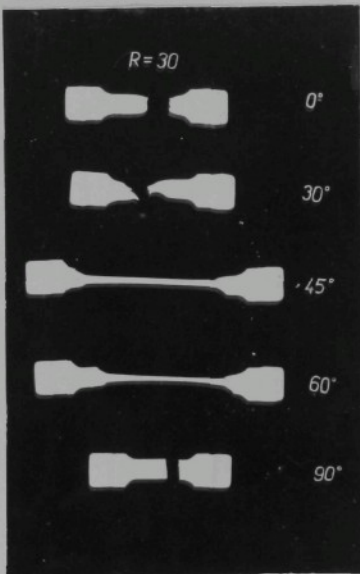
Zvětšení průměru ústí vtoku mělo u jednomilimetrových kotoučů za následek zvýšení horní meze kluzu, avšak nehomogenita kotoučů se nezvýšila.

#### 4.6.2.5. Závislost tažnosti mikrotěles na poloměru a na úhlu odebrání tělesa

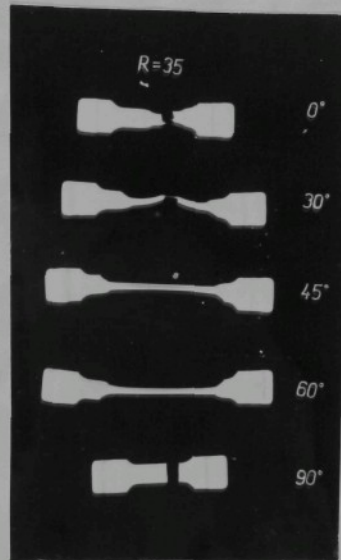
Kvantitativní vyhodnocení tažnosti mikrotěles nebylo proveditelné pro velký rozptyl naměřených hodnot. Daleko názornější se ukázalo kvalitativní vyhodnocení, které představují obr. 44 a, b, c, d, e, f.

Z obrázků je patrné, že tažnost mikrotěles byla ovlivněna jak poloměrem, tak úhlem odebrání. Mikrotělesa v radiálním směru na malém poloměru vytvářela před prasknutím krátký krček, který se zvětšoval při úhlech  $30$  a  $60^{\circ}$  a tělesa pod úhlem  $45^{\circ}$  vykazovala vysokou tažnost. Naproti tomu tělesa pod úhlem  $90^{\circ}$  vykazovala na malém poloměru zcela krátký lom, s roztoučím poloměrem se houževnatost těles zvětšovala.

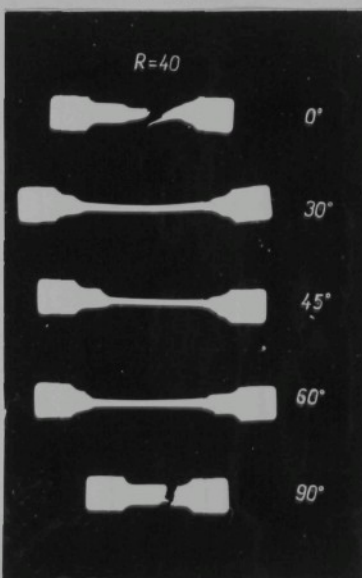
Obr. 44. Tažnost mikrotěles v závislosti na různých poloměrech a různých úhlech odebírání. Podmínky vstřikování:  $T_{vs} = 220^{\circ}\text{C}$ ,  $P_{vs} = 530 \text{ kp/cm}^2$ ,  $T_f = 50^{\circ}\text{C}$ ,  $du = 2 \text{ mm}$ ,  $hk = 1,30 \text{ mm}$



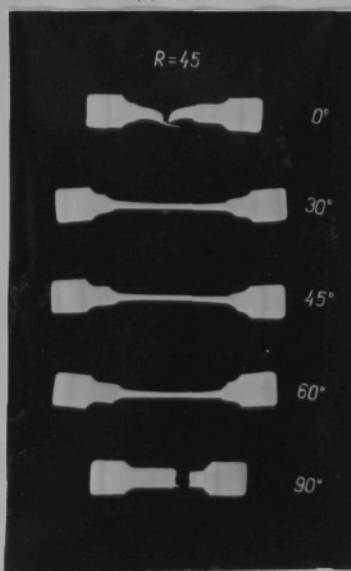
44 a



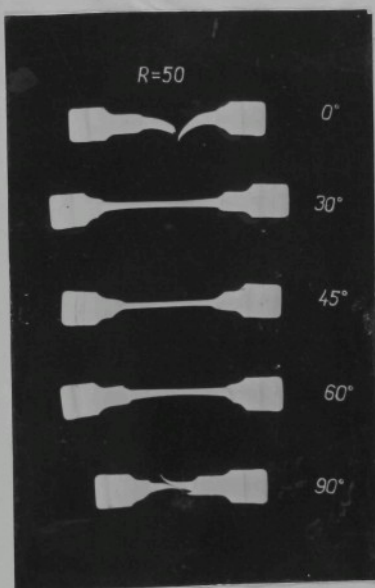
44 b



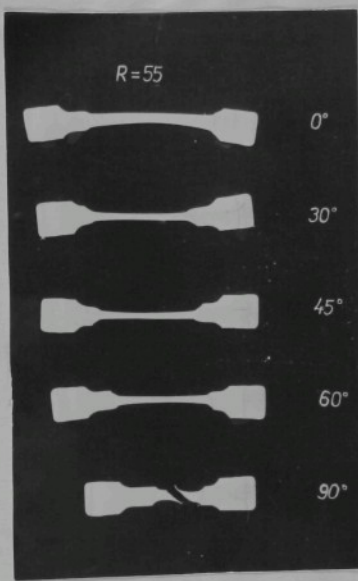
44 c



44 d



44 e



44 f

Větší homogenita kotoučů o tloušťce 2 mm se projevila i na tažností mikrotěles. I když se tato chovala při zkoušce obdobně jak je na obr. 44, rozdíly byly značně menší.

#### 4.6.2.6. Zhodnocení výsledků měření na kotoučích

Měření vnitřního tlaku potvrdilo jeho závislost na ostatních sledovaných technologických faktorech, tj. vstříkovací teplotě, vstříkovacím tlaku, teplotě vstříkovací formy, průměru ústí vtoku a tloušťce kotouče. Stanovení vnitřního tlaku na dvou místech dutiny formy umožnilo posoudit rozložení tlaku v dutině. K vysokému tlakovému spádu dochází u tenkostenných vstřívků, u dvoumilimetrových kotoučů byl rozdíl \* tlaku malý, asi  $50 \text{ kp/cm}^2$ , přičemž nezávisel ani na vstříkovací teplotě

sní na vstříkovacím tlaku. Naproti tomu u kotoučů tlustých 1 mm tlakový spád závisel značně na vstříkovací teplotě : při  $T_{vs} = 175^{\circ}\text{C}$  byl rozdíl tlaků ve středu a na okraji kotouče asi  $300 \text{ kp/cm}^2$ , při  $T_{vs} = 240^{\circ}\text{C}$  však jenom asi  $50 \text{ kp/cm}^2$ .

Vnitřní tlak ovlivnil řadu vlastností vystříků. Předně to byla tloušťka kotoučů. Přes to, že vstříkovací lis byl vybaven kolenovým uzavíracím ústrojím, kde by teoreticky nemalo docházet ke změně tloušťky vystříku, změna tloušťky se nepodařilo zabránit. Přičina specifické bezesporu v pružných deformacích uzavíracího ústrojí vyvolaných vnitřním tlakem, protože síla v dutině vstříkovací formy dosahuje asi 60 tun.

Vnitřní tlak také ovlivňoval mechanické vlastnosti vystříků. V souladu s teorií vyvolává větší tlakový spád větší nehomogenitu vystříku, která byla mnohem výraznější u tenkých než u tlustých vystříků. Vyšší orientace molekul v tenkostěnných kotoučích se projevila vyššími hodnotami mechanických vlastností.

Nevýhodou měření mechanických vlastností na kotoučích bylo, že vlastnosti nemohly být stanoveny v bezprostřední blízkosti ústí vtoku, protože v tomto místě se tvořil nálitek vlivem tlakového čidla. Nálitek měl průměr asi 15 mm a daném místě zvětšoval tloušťku kotouče asi o 2 mm.

Když byl vypočítán poměr horní meze kluzu, brané jako aritmetický průměr hodnoty v radiálním a tangenciálním směru, k meze pevnosti ve stříku, bylo zjištěno, že poměr je konstantní. Dokazuje to, že obě vlastnosti podléhají stejným zákonům. Stanovení meze pevnosti ve stříku předstilo měření horní meze kluzu menší chybou.

Závislost horní meze kluzu na úhlu odebrání mikrotělesa odhalila, že horní mez kluzu dosahuje minimální hodnoty asi uprostřed mezi radiálním a tangenciálním směrem. Tomuto směru odpovídá největší tažnost. Naopak nejmenší tažnost, na malých poloměrech prakticky nulevou, vykazovala tělesa v tangenciálním směru. Tento poznatek je pro praxi důležitý, protože pomáhá vysvětlit příčiny praskání výstříků z polyetylénu. Je zřejmé, že výstříky nemusí vždy praskat ve směru nejmenší pevnosti, ale lom může vzniknout ve směru s nejnižší tažností. Když totiž hmota vykazuje dostatečnou tažnost, potom působící napětí vyvolá plastické přetvoření, čímž se hodnota napětí sníží a k lomu vůbec nedojde. Jestliže však plastické přetvoření v důsledku malé tažnosti nemůže nastat, výstřík praskne.

#### 4.6.3. Výsledky měření na deskách 120 x 120 x 2 mm

##### 4.6.3.1. Stanovení meze pevnosti ve střihu

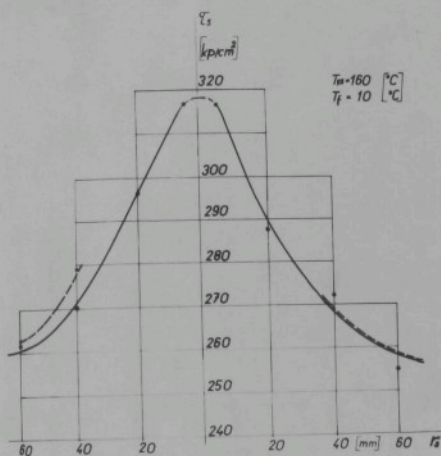
Nejprve bylo ověřeno, zda jsou mechanické vlastnosti rozloženy po ploše výstříku v soustředných kružnicích. K hodnocení vlastnosti bylo používáno výhodně pevnost ve střihu, která se ukázala přesnější než stanovení horní meze kluzu.

Rozložení meze pevnosti ve střihu ve směru obou uhlopříček je na obr. 45 a, b, c. Naměřené hodnoty jsou u tab. 40 v příloze 10.

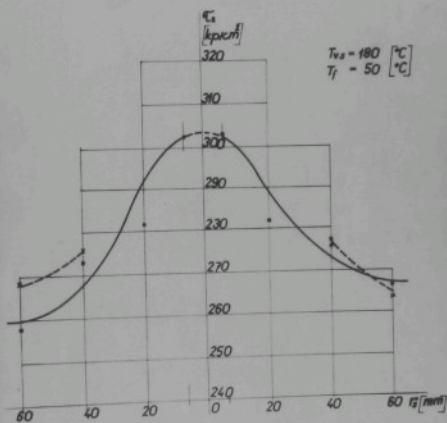
Jak z obrázků vyplývá je meze pevnosti ve střihu skutečně rozdělena v soustředných kruzích. Proto byly nadále vlastnosti měřeny pouze ve směru jedné uhlopříčky, přičemž výsledky připadající stojanu poloměrem byly vždy srovnány.

úložnicek

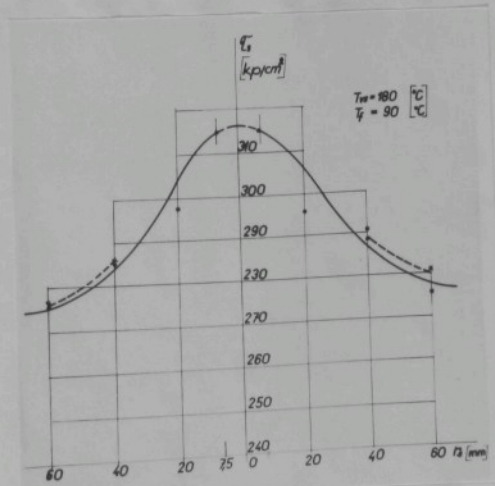
Obr. 45a, b, c. Závislost meze pevnosti ve střihu ve směru obou pro troje nemátkové zvolené podmínky vstřikování, které jsou uvedeny v příslušných obrázcích



45 a



45 b



45 c

Závislost meze pevnosti ve střihu na různých poloměrech výstříku a pro různé podmínky vstříkování je uvedena v tab. 23. Meření pevnosti ve střihu byla provedena na čtyřech poloměrech. Variacní koeficient stanovení  $V_{Ts} = \pm 1,3\%$ . Variacní koeficient je vyšší než v kap. 4.6.2., protože vstříkovací lis nebyl vybaven tak přesnými regulátory vstříkovací teploty jako v případě kotoučů, a proto se jednotlivé desky mezi sebou více lišily.

Tab. 23. Závislost meze pevnosti ve střihu  $T_s$  na poloměru výstříku  $r_s$  pro různé podmínky vstříkování

$T_s$ [kp/cm <sup>2</sup> ]						
$r_s$ [mm]		7,5	20	40	60	Průměr $T_s$
$T_f = 10$ [°C]	$T_{vs}$ [°C]					
	160	315	287	270	263	284
	180	300	276	265	259	275
	200	296	273	264	257	273
	220	293	269	263	260	271
	240	293	278	271	268	277
$T_f = 50$ [°C]						
	160	309	290	282	274	289
	180	307	285	278	275	286
	200	297	284	275	271	282
	220	294	281	275	271	280
	240	285	278	273	267	276
$T_f = 90$ [°C]						
	160	324	294	284	278	295
	180	298	285	282	276	285
	200	293	280	278	272	281
	220	313	295	295	295	299
	240	308	294	292	292	297

Z výsledků v tab. 23 vyplývají tyto závěry :

1. Pevnost ve střihu vykazovala zřetelné maximum v blízkosti ústí vrčku, směrem k okrajům vystřiku pevnost klesala zpočátku rychle, na větších poloměrech pomaleji.
2. Při teplotách vstřikovací formy 10 a 90 °C vykazovala meze pevnosti ve střihu minimum při teplotě asi 200 °C. Toto zjištění je v souladu se závislostí nalezenou u zkusebních těles v kap. 4.6.1. Minimum se neobjevilo při teplotě formy 50 °C, což je pravděpodobně způsobeno náhodnou chybou měření.
3. Stoupající teplota vstřikovací formy se projevila zvýšením meze pevnosti ve střihu.

#### 4.6.3.2. Stanovení homogenity desek

Homogenita desek byla posuzována na základě průměrného variacionního koeficientu meze pevnosti ve střihu vypočítaného pro jednotlivé podmínky vstřikování z hodnot uvedených v tab. 23. Vyšší hodnota průměrného variacionního koeficientu  $\bar{V}$  je známkou horší homogenity vystřiku. Výsledky jsou sestaveny do tab. 24.

Tab. 24. Průměrný variacionní koeficient  $\bar{V}$  jako míra homogenity desek

T <sub>vs</sub> [°C]	$\bar{V} [\%]$				
	160	180	200	220	240
T <sub>f</sub> [°C]					
10	6,35	6,58	5,08	5,93	4,04
50	5,15	4,98	3,98	3,52	2,72
90	6,02	3,25	3,10	3,04	2,65

I když se v tab. 24 objevily určité nepravidelnosti, které jsou způsobeny tím, že průmerný variační koeficient je ovlivňován chybami, které se postupným sruďováním závislostí zvětšují, je možno vyvodit tyto závěry :

Homogenita desek zhotovených při nízké vstřikovací teplotě je nejhorší. Při konstantní teplotě vstřikovací formy homogenita stoupá zvyšováním vstřikovací teploty. Rovněž zvyšování teploty vstřikovací formy při konstantní vstřikovací teplotě přiznivě ovlivňuje homogenitu výstřiku. Při extrémně nízké vstřikovací teplotě se mohou vyskytnout nepravidelnosti, které pramení z toho, že teplota  $T_{vs} = 160^{\circ}\text{C}$  leží na spodní hranici použitelnosti. Jestliže skutečná teplota taveniny kolísá v rozmezí asi  $\pm 5^{\circ}\text{C}$ , jak je běžné u padákových regulátorů, projeví se toto kolísání při nízké vstřikovací teplotě markantněji než při teplotě vystř.

#### 4.6.3.3. Průběh pláštného rozložení meze pevnosti ve střihu

Teoreticky bylo odvozeno, že vnitřní tlak v dutině vstřikovací formy ve tvaru desky je během vstřikování rozdělen podle logaritmické křivky a stejnou tendenci mají vykazovat i mechanické vlastnosti v jejichlivých místech výstřiku. Pro mez pevnosti ve střihu tedy má platit vztah

$$\sigma_{\text{sk}} = k_{s1} \cdot \log r_x + k_{s2} \quad (42)$$

Výpočtem bylo ověřeno, zda hodnoty uvedené v tab. 23 odpovídají vztahu (42). Konstanty  $k_{s1}$  a  $k_{s2}$  byly vypočítány desetinnými příslušných hodnot meze pevnosti ve střihu pro poloměr  $r_1 = 7,5 \text{ mm}$ , tj. poloměr vzdálenosti střížné plochy od ústí vrtku a  $60 \text{ mm}$  jako střední hodnotu vzdálenosti.

Na základě základních konstant  $k_{s1}$  a  $k_{s2}$  byly vypočítány hodnoty meze pevnosti ve střihu pro poloměry  $r = 20$  a  $r = 40$  a tyto byly porovnány s experimentálně zjištěnými. Výsledky jsou v tab. 25.

Tab.25. Hodnoty konstant  $k_{s1}$  a  $k_{s2}$  a vypočítané a experimentálně zjištěné hodnoty meze pevnosti ve střihu

$\tau_{s20}$  a  $\tau_{s40}$

$T_f [^{\circ}C]$	$T_{vs} [^{\circ}C]$	$k_{s1}$	$k_{s2}$	$\tau_{s20} [kp/cm^2]$ vypoč. exper.	$\tau_{s40} [kp/cm^2]$ vypoč. exper.
10	160	-57,6	365	290	287
	180	-43,6	338	281	276
	200	-43,4	334	278	273
	220	-35,8	328	278	269
	240	-27,2	316	283	278
50	160	-36,9	340	293	290
	180	-34,8	336	291	285
	200	-27,2	320	284	283
	220	-23,9	315	283	280
	240	-19,6	302	276	277
90	160	-50,1	368	303	294
	180	-27,2	318	282	285
	200	-21,7	312	284	280
	220	-19,6	330	304	295
	240	-17,4	323	301	294

V tabulce značí :

$\tau_{s20}$  - meze pevnosti ve střihu na poloměru  $r = 20$  mm

$\tau_{s40}$  - meze pevnosti ve střihu na poloměru  $r = 40$  mm

Z tabulky 25 vplývá, že konstanta  $k_{s1}$  se zmenšuje se stoupající vstříkovací teplotou. Protože rovnice (42) představuje v semilogaritmických souřadnicích přímku a  $k_{s1}$  je její

směrnicí, znamená pokles konstanty zvýšení homogenity výstřiku. Konstanta  $k_{s2}$  odpovídá mezi pevností ve střihu na poloměru  $r = 1 \text{ mm}$  a také zde se projevila klesající tendence se zvyšováním vstříkovací teploty. Tato tendence byla porušena pouze při teplotě formy  $T_f = 90^\circ\text{C}$  při nejvyšších vstříkovacích teplotách, tedy při extrémních podmínkách vstříkování.

Z tabulky je také patrná dobrá shoda vypočítaných a experimentálně zjištěných hodnot. Odchylka mezi těmito hodnotami je větší než je variační koeficient stanovený mezi pevností ve střihu.

#### 4.6.3.4. Vzťah mezi pevností ve střihu a horní mezi kluzu

Podobně jako u kotoučů byla na deskách změřena horní meze kluzu v radiální a tangenciálním směru na shodných poloměrech jako meze pevností ve střihu a z obou vlastností byl vypočítán poměr  $B$ , jehož hodnoty jsou uvedeny v tab. 26.

Tab.26. Poměr horní meze kluzu a meze pevností ve střihu  $B$   
pro různé poloměry desky  $r_s$

$r_s [\text{mm}]$	20	40	60
$B$	$1,12 \pm 0,022$	$1,13 \pm 0,014$	$1,13 \pm 0,017$

Výsledky ukazují, že hodnota  $B$  velmi dobře souhlasí s hodnotou zjištěnou na kotoučích.

Poznámka : Horní meze kluzu i v tomto případě vykázala větší kolísání hodnot než meze pevností ve střihu. Variační koeficient  $V_{G_k} = \pm 2,3\%$ .

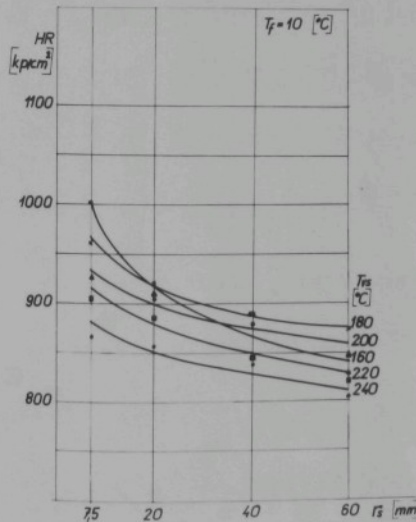
#### 4.6.3.5. Měření tvrdosti

Tvrdost byla měřena na upřeveném Rockwellově přístroji. Tloušťka desek se pohybovala v rozmezí  $2 \pm 0,1$  mm. Protože podmínky měření neodpovídají předepsaným normou, nelze brát stanovené hodnoty jako absolutní.

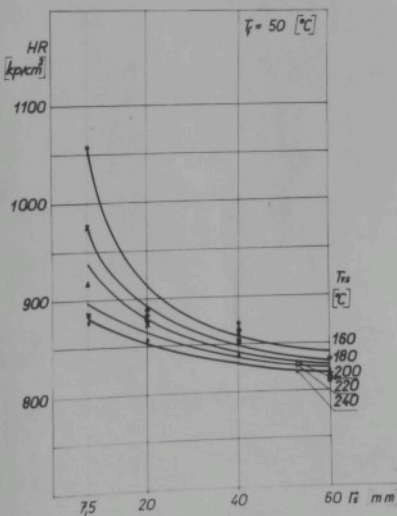
Výsledky měření jsou graficky zobrazeny na obr. 46 a, b, c, a dále jsou uvedeny v tab. 41, příloha 11. Průměrná hodnota variacního koeficientu stanovení tvrdosti :

$$V_{HR} = \pm 1,47 \%$$

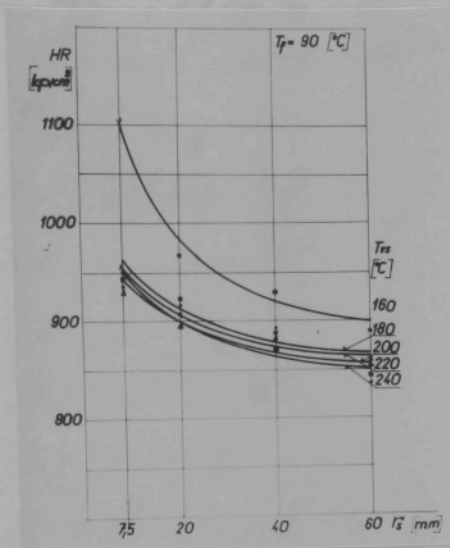
Obr. 46a, b, c. Závislost tvrdosti HR 5/31/60 [kp/cm<sup>2</sup>] na vzdálenosti od ústí vtoku  $r_s$



46 a



46 b



46 c

#### Zhodnocení výsledků :

1. Měření tvrdosti potvrdilo nehomogenitu výstřiků. Tvrdost dosahovala nejvyšší hodnoty v blízkosti ústí vtoku.
2. Podmínky vstřikování mají na změnu tvrdosti podobný vliv jako na změnu pevnosti ve střihu : Zvyšující se vstřikovačí teplota při konstantní teplotě vstřikovací formy má za následek snížení tvrdosti. Zvyšující se teplota formy při konstantní vstřikovací teplotě způsobuje naopak zvýšení tvrdosti.

Poznámka 1 : Podle literárních údajů i podle osobního sdělení Dr. Orthmanna by zkoušený typ polyetylénu na Brinellově tvrdotěru vykázal tvrdost asi kolem 500 kp/cm<sup>2</sup>. Metoda, které bylo použito sice pracuje na obdobném principu, avšak před zatížením činilo 10 kp místo jednoho kilopondu u Brinellova přístroje. To bylo hlavní příčinou naměřených vysokých hodnot tvrdosti.

Poznámka 2 : Poměrně vysoká hodnota variacionního koeficientu je způsobena jednak količním technologických faktorů při vstříkovaní, jednak vlastním měřením. Některé desky nebyly zcela rovné, ale částečně prohnuté. Proto nebylo možné pokládat je při měření na rovnou podložku tvrdomíru, ale muselo být použito speciální zaoblenou podložku. Tím bylo elastické odpružování desky sníženo na minimum.

#### 4.6.3.6. Závislost mezi tvrdostí a mezi pevností ve střihu

Výsledky měření tvrdosti a pevnosti ve střihu ukázaly, že obě metody podléhají obdobným zákonům testem. Protože obě metody vyžadují průměrnou vlastnost v daném místě neovlivněnou izotropii, bylo možno předpokládat, že mezi oběma může existovat určitý vztah. Pro jednotlivá místa měření byl stanoven poměr

$$Z = \frac{\tau_s}{HR} \quad (43)$$

Vypočítané hodnoty Z jsou sestaveny do tabulky 42, příl. 12. Nesprávný rozptyl hodnot Z je zřejmé, že poměr je dobře konstantní. Jeho průměrná hodnota pro celý soubor měření byla stanovena na :  $Z = 0,319 \pm 0,012$ . Vztah mezi tvrdostí a mezi pevností ve střihu je tedy možno psát ve tvaru

$$\tau_s = (0,319 \pm 0,012) \cdot HR \quad (44)$$

#### 4.6.3.7. Stanovení mikrotvrdosti, měření na penetrometru

a určení hustoty

Uvedené metody byly použity k ověření homogenity desek.

Výsledky stanovení mikrotvrdoosti HV jsou v tab. 27.

Tab. 27. Mikrotvrdoost HV na různých poloměrech desky  $r_s$

Podmínky vstřikování :  $T_{vs} = 240^\circ\text{C}$ ,  $T_f = 90^\circ\text{C}$

$r_s$ [mm]	10	20	30	40	50
HV [kp/cm <sup>2</sup> ]	496	450	445	425	459

Výsledky mikrotvrdoosti, i když byly provedeny jen orientačně, ukázaly stejnou závislost jako měření tvrdoosti kuličkou. Rovněž nehomogenita desky byla zřejmá.

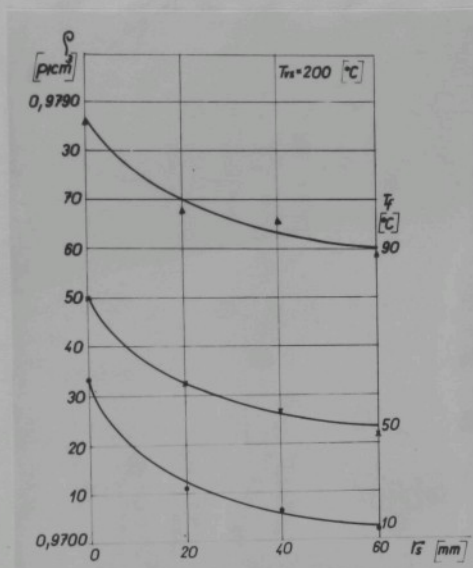
Nehomogenita byla potvrzena i měřením na penetrometru jak ukazuje tab. 28.

Tab. 28. Hloubka výpichu na penetrometru při teplotě jehly  $120^\circ\text{C}$  v různé vzdálenosti od ústí vtoku  $\xi$

$r_s$ [mm]	Hloubka výpichu [mm]. $10^{-2}$		
	7,5	40	60
Podmínky vstřikování			
$T_{vs} = 180^\circ\text{C}$ $T_f = 10^\circ\text{C}$	77	73	68
$T_f = 50^\circ\text{C}$	72	71	67
$T_f = 90^\circ\text{C}$	69	66	65

Z penetrometrických měření vyplývá, že orientace desek je nejvyšší v blízkosti ústí vtoku. Směrem k okraji klesá. Zvyšující se teplota vstřikovací formy snižuje orientaci a zvyšuje homogenitu výstřiku.

Závislost hustoty na poloměru odebírání vzorku je graficky zobrazena na obr. 47. Podrobnější hodnoty jsou v tab. 43, příloha 13.



Obr. 47. Závislost hustoty  $\varphi$  na po-  
lomku desky  $l$  pro různou teplotu  
vstříkovací formy

Z obr. 47 a z výsledků v tab. 43 je možno vyvodit tyto  
závěry :

1. Hustota dosahuje největší hodnoty v okolí ústí vtoku a se  
zvětšující se vzdáleností nejprve rychle, později pomaleji  
klesá. Toto platilo pro všechny sledované podmínky vstříko-  
vání.
2. Zvýšení teploty vstříkovací formy způsobilo vzrást hustoty.  
Vliv teploty formy není rovnoměrný : Zvýšení teploty z 10  
na 50 °C způsobilo relativně menší zvýšení hustoty než  
změna teploty z 50 na 90 °C.
3. Vstříkovací teplota při konstanté teplotě vstříkovací for-  
my prakticky hustotu neovlivnila, což je v souladu se závě-  
ry v Isp. 4.6.1.

4.6.2.8. Záhadnoucí výsledky měření na desekách

Měření pevnosti ve střihu potvrdilo, že k největší změně vlastnosti ve výstřiku dochází v blízkosti ústí vrtku, zatím co ve větší vzdálenosti změna probíhá pomaleji. Souvisí to s rozdelením vlastností v ploše výstřiku podle logaritmické křivky. Shoda teoreticky vypočítaných a experimentálně zjištěných hodnot meze pevnosti ve střihu byla velmi dobrá.

Bylo zjištěno, že homogenita desek vstříkovaných ve formě o teplotě  $10^{\circ}\text{C}$  je velmi špatná. Homogenita se zlepšila při teplotách formy  $50$  a  $90^{\circ}\text{C}$ . Kromě teplé formy má na homogenitu výstřiku příznivý vliv také vstříkavací teplota, je-li vyšší než  $180^{\circ}\text{C}$ .

Vypočítaný vztah mezi pevností ve střihu a horní mezi kluzu se shodoval s hodnotou vypočítanou u kotoučů, i když podmínky vstříkování v obou případech byly značně odlišné. Dokazuje to, že meze pevnosti ve střihu může být považována za hodnotu vlastnosti právě tak cennou jako je horní meze kluzu.

Tvrdost, i když nebyla stanovena podle podmínek předepsaných normou, se ukázala jako metoda citlivě reagující na strukturu výstřiku. Tvrdost vylezovala stejným průběhem jako pevnost ve střihu a když byl vypočítán poměr obou hodnot, bylo zjištěno, že je velmi dobře konstantní. Stanovení tvrdosti a převedení této hodnot na mez pevnosti ve střihu, případně na průměrnou hodnotu horní meze kluzu, by v praxi mohlo být prospěšné, protože by bylo možno odhadnout vlastnosti výrobků, aniž by se použilo destruktivní metody. Praktická aplikace by ovšem mohela být jistě důkladněji ověřena.

Nehomogenitu desek potvrdila i mikrotvářnost a měření na penetrometru. Obě metody jsou však poměrně pracné a hodnoty ve skutečnosti nepřímo stupeň orientace molekul v povrchových vrstvách, což sice může mít význam pro vědecké hodnocení vlastností výstříků, avšak v praxi se mohou uplatnit jen jako metody pomocné. Proto nebyly ve větším měřítku použity ani v této práci.

#### 4.6.4. Výsledky měření na výrobcích z provozu

Mez pevnosti ve střihu byla použita k hodnocení vlastností dvou výrobků z provozu. Výsledky jsou uvedeny v tab. 29. a 30.

Tab.29. Mez pevnosti ve střihu  $\mathcal{T}_s$  měřená na dětské vaničce  
v různé vzdálenosti od ústí vtoku r

r [mm]	40	70	90	125	155	185	215
$\mathcal{T}_s$ [kp/cm <sup>2</sup> ]	264	263	258	260	262	255	261
tloušťka stěny [mm]	3,80	3,80	3,85	3,80	3,65	3,60	3,45

r [mm]	240	270	300	330	360	390	420
$\mathcal{T}_s$ [kp/cm <sup>2</sup> ]	253	256	252	253	241	236	238
tloušťka stěny [mm]	3,55	3,45	3,00	3,00	3,05	3,05	3,20

Tab.30. Meze pevnosti ve střihu  $\bar{\tau}_s$  měřená na krytu topení  
v různé vzdálenosti od ústí vtoku  $r$

$r$ [mm]	7,5	20	40	60	80	120	140
$\bar{\tau}_s$ [kp/cm <sup>2</sup> ]	250	237	237	232	229	222	217
tloušťka stěny [mm]	2,00	2,05	2,05	2,05	2,15	2,12	2,12

Zhodnocení výsledků :

Stanovení meze pevnosti ve střihu na výrobcích z Rigideku 50 potvrdilo závislosti odvozené na zkusebních tělesech používaných v této práci. Meze pevnosti ve střihu klesala se zvětšující se vzdáleností od ústí vtoku. Pokles byl markantnější u krytu topení, který nel tloušťku prakticky stejnou jako zkusební kotouč a deska. Tloušťka stěny u tchoto výrobku byla poměrně rovnoměrná. Z tab. 30 je patrný rychlejší pokles meze pevnosti ve střihu v bezprostřední blízkosti ústí vtoku.

Vlastnosti dětské vaničky jsou mnohem rovnoměrnější, což je způsobeno velkou tloušťkou stěny, 3,8 mm. Změna meze pevnosti ve střihu je vzhledem k proměně ploše poměrně malá. Avšak i to potvrzuje závěry dříve nalezené.

## 5. SOUHRN VÝSLEDKŮ A JEJICH VÝZNAM PRO PRAXI

5.1. Bylo prokázáno, že vliv jednotlivých technologických faktorů vstříkování, např. vstříkovací teploty, vstříkovacího tlaku, teploty vstříkovací formy, rozměru ústí vtoku i vnitřního tvaru dutiny formy, na vlastnosti výstřiku není možno hodnotit každý samostatně, protože spolu úzce souvisejí. Souvislost je zřejmá především u vnitřního tlaku, tj. tlaku taveniny ve vlastní dutině vstříkovací formy, který je ovlivňován nejen vnějším vstříkovacím tlakem, ale je funkcí i ostatních uvedených faktorů. Samotné zvýšení vstříkovací teploty může způsobit zvýšení vnitřního tlaku o několik desítek procent, i když vnější vstříkovací tlak zůstává konstantní. Podobně je ovlivňován vnitřní tlak velikostí ústí vtoku. Výsledky ukázaly, že tzv. bodové vtoky o průměru ústí menším než 1 mm nejsou pro vstříkování vhodné, protože způsobují veliké ztráty tlaku. Naproti tomu ústí vtoku s průměrem nad 2 mm se ukázalo jako vyhovující.

Teplota vstříkovací formy sice ovlivnila vnitřní tlak poměrně málo, přesto však lze doporučit používání teploty formy co nejvyšší.

Vzhledem k vzájemné závislosti technologických faktorů mezi sebou, je nutné hodnotit jejich vliv na vlastnosti výstřiku komplexně. K tomu je nezbytné vybavit vstříkovací formy určené především pro výrobu zkutebních těles potřebnými měřicími přístroji, hlevně k měření vnitřního tlaku. Jestliže není znám vnitřní tlak při vstříkování, pak nelze ani hodnotit např. "vliv vstříkování,

kovací teploty při konstantním vstřikovacím tlaku na vlastnosti výstřiku", jak bývá v literatuře uváděno, přičemž je vstřikovacím tlakem méně vnější tlak.

V konečném výsledku se totiž projevuje nejenom vliv zvýšené vstřikovací teploty, ale i zvýšeného vnitřního tlaku.

Podobný závěr platí i o hodnocení vlivu ústí vtoku, o vlivu konstrukce vtokových kanálů atd.

5.2. Pro vlastnosti výstřiku má velký význam tvar samotné dutiny vstřikovací formy, hlavně pak průřez dutiny určující tloušťku stěny výstřiku. V dutině formy dochází k poklesu vnitřního tlaku od ústí vtoku směrem k okraji výstřiku. Absolutní hodnota tlakového spádu závisí jednak na tloušťce dutiny, jednak na podmínkách vstřikování. K vysokém poklesu tlaku dochází u výstříků s tloušťkou asi 1 mm a tenších, výstříky s tloušťkou 2 mm vylazovatelný pokles tlaku mnohem menší.

U tenkostěnných výstříků byl tlakový spád ovlivněn také ostatními technologickými faktory, a to vstřikovací teplotou a průměrem ústí vtoku. Zvýšující se vstřikovací teplota, právě tak jako zvětšování ústí vtoku měla za následek změnu tlakového spádu.

5.3. Změna vnitřního tlaku měla za následek změnu ozměru výstříku. Zvýšováním vnitřního tlaku vzrůstala tloušťka výstříků, a to i tehdy, jestliže byl lis vybaven kolencovým uzavíracím ústrojím a když vnitřní síla v dutině vstřikovací formy byla menší než celková uzavírací síla

lisu. Ke změně rozměrů ve směru uzavírací sily dochází bezesporu hlavně vlivem pružných deformací zavíracího ústrojí lisu způsobených vnitřní silou. Změna tloušťky výstřiku za těchto podmínek může dosáhnout několika procent i desítek procent. Např. u kotoučů o tloušťce 1 mm činila až 45 % teoretické tloušťky dutiny, u kotoučů 2 mm tlustých až 20 %. U pravoúhlých desek, jejichž rozměry nebyly systematicky sledovány, byly pozorovány odchylky od požadované tloušťky v rozmezí ± 10 %.

Změna tloušťky výstřiku působí v praxi velké potíže. V provozní výrobě je příčinou nedodržení předepsaných tolerancí rozměrů a překračování spotřeby materiálu. Rovněž ve zkoušebnictví komplikuje měnící se tloušťka poměry, protože změnu tloušťky výstřiku se mění i počímký během plnění dutiny formy při vstříkování. Výstřik s tloustší stěnou je potom vlastně vyráběn za jiných podmínek než výstřik se stěnami o 10 či 20 % tenčími.

K tomu, aby byla zaručena skutečně stálá tloušťka výstřiku, by bylo nutno opatřit vstříkovací formu speciálním uzavíracím mechanismem, který by nedovolil její pootevření při měnícím se vnitřním tlaku.

Vnitřní tlak ovšem ovlivňuje i rozměry výstřiku vázane formou. Vlivem vysoké stlačitelnosti taveného plastických hmot způsobuje zvyšování vnitřního tlaku, včetně elastické stlačení a následné poklesu tlaku během chladnutí i větší odpružení hmot v dutině formy. Vyšší vnitřní tlak má za následek zvětšení rozměrů výstřiků a tedy zmenšení jejich snrštění. Se stoupajícím vnitřním tlakem se zvyšuje i váha výstřiků.

5.4. U výstříků vstříkovávaných středovým vtokem, nebo obecně tehdy umožňuje-li dutina formy, aby se tavenina získala převážně v soustředných kružích, klesá vnitřní tlak od ústí vtoku podle logaritmické křivky. Protože tlakový spád ovlivňuje stupeň orientace molekul, projevuje se jeho vliv i na mechanické vlastnosti výstříku, které nejsou ve všech místech výstříku stejné.

Toto zjištění má pro praxi velký význam, protože ani normalizovaná zkusební tělesa nemají vlastnosti všeude stejné. Těleso pro tahovou zloučku vytvářelo krátk v mělené části vždy na vzdálenějším konci od ústí vtoku, kde byla pevnost nejnižší. Hodnoty mechanických vlastností naměřené na zkusebních tělesech mohou být proto přímo porovnávány jen s vlastnostmi výstříků tvarově blízkých, ale vlastnosti nelze přenášet automaticky na výstříky zcela jiných tvarů. Aby se vznik nehomogenity u zkusebního tělesa omezil na minimum, měla by být měřená část tělesa co nejkratší.

5.5. Nerovnoměrnost vlastnosti výstříků je dvojího druhu. Orientace molekul vyvolává anizotropii vlastností, rozdělení vnitřního tlaku v dutině vstříkovací formy má za následek nehomogenitu čili nestejnorođost výstříku.

Anizotropie vlastností byla potvrzena zloučkou, při které bylo zkusební mikrotěleso namáhané ve směru jedné osy, tj. stanovením horní meze kluzu. Nejvyšší hodnota horní meze kluzu neodpovídala ve všech případech radiálnímu směru odebraného mikrotělesa. Závěry ukázaly, že hodnoty meze kluzu v radiálním a tangenciálním směru jsou

si často blízké, přičemž na malých poloměrech od ústí vtoku může být meze kluzu v radiálním směru vyšší než v tangenciálním, avšak na větších poloměrech mohou být poměry opačné. Nejnižší meze kluzu vykazovala mikrotělesa odebraná pod úhlem asi  $45^{\circ}$  k radiálnímu směru. V tomto směru vykazovala tělesa i největší tažnost, zatím co ve směru tangenciálním byla tažnost nejmenší.

Vysoké hodnoty bozní meze kluzu v tangenciálním směru jsou vysvětlitelné tím, že molekuly se při vyplňování dutiny formy nepohybují jenom v radiálním směru, ale v důsledku zvětšování obvodu vstříkovovaného kotouče i ve směru tangenciálním.

- 5.6. Stanovení horní meze kluzu potvrdilo také nehomogenitu výstřiku. Hodnoty meze kluzu klesaly se zvětšující se vzdáleností od ústí vtoku. Ještě lépe byla homogenita prokázána stanovením meze pevnosti ve střihu. Rozdílení meze pevnosti ve střihu po ploše výstřiku odpovídalo průběhu podle logaritmické křivky. K největšímu poklesu pevnosti docházelo v blízkém okolí ústí vtoku, dále od něho byl pokles mírnější.

Nehomogenita výstřiku závisela jednak na jeho tloušťce, jednak na technologických faktorech. Tenkostenné výstřiky s tloušťkou kolem 1 mm se vyznačovaly velkou nehomogenitou, výstřiky o tloušťce kolem 2 mm byly homogenější a jak dokázal výstřík dětské vaničky, který měl tloušťku stěny téměř 4 mm, byla homogenita ještě vyšší.

Z technologických faktorů příznivě ovlivnily homogenitu výstřiku zvyšující se vstříkovací teplota a zvy-

šující se teplota vstřikovací formy.

Nehomogenita vlastností byla potvrzena i jinými zkusebními metodami. Tvrdost vykazovala nejvyšší hodnoty v blízkosti ústí vtoku, k okrajům výstřiku klesala. Stejnou tendenci vykázala i mikrotvrdost a penetrometrická měření.

5.7. Hodnocení stupně orientace molekul ve výstřiku z lineárního polycetylénu se poměrně nejlépe osvědčila penetrometrická metoda, která poskytovala nejvěrohodnější výsledky. Má ovšem také některé nedostatky. K největším patří, že neposkytuje žádné přesně definovatelné fyzikální hodnoty, takže hodnocení orientace molekul je pouze relativní. Přednosti metody naopak je, že poškození zkoušeného tělesa je nepatrné a že k měření postačuje i malé těleso, jehož rozměry nejsou rozhodující. Nevhodou je, že je citlivá na kolísání teploty v měřírně, takže při malých rozdílech meřené vlastnosti se její reproducovatelnost stává spornou. Přesto bude účelné metodu dále pracovat.

Další metody, které byly ověřeny, a to rentgenografie a stanovení smrštění za tepla, neposkytly očekávaný výsledek. Na rentgenogramech povrchová a středové vrstvy výstřiku nebylo možno s pomocí metod, které byly k dispozici, zjistit strukturální rozdíly. Statně se zdá pravděpodobné, že orientace molekul vznikající při tahu taveniny dutinou vstřikovací formy má jiný charakter než orientace molekul vyuvolaná dloužaním polotovaru za studena. Z toho také plynou něstojnosti rentgenogramů.

Smrštění za tepla rovněž nesplnilo očekávání pro příliš velký rozptyl výsledků. Zdá se, že tato metoda za podmínek, které byly v práci použity, není vhodná pro křemenné plastické hmoty.

- 5.8. Pro hodnocení mechanických vlastností fázálních výstřiků je možno doporučit stanovení meze pevnosti ve střihu. Metoda má řadu předností : Poskytuje hodnoty, které jsou dobře reproducovatelné a přesnost stanovení byla ve všech případech vysší než stanovení horní meze kluzu. Měření pevnosti ve střihu je možno provádět na běžných zkusebních strojích pro stanovení pevnosti v tahu. Sama metoda je jednoduchá a pořizovací náklady pro zhotovení střížného nástroje jsou minimální. Příprava zkusebních těles pro zkoušku je snadná. Zkusební podmínky jsou dobře definovatelné. Podobně jako u jiných zkousek mechanických vlastností je ovělem nutné, aby tloušťka zkusebního tělesa byla konstantní. Také zde má však pevnost ve střihu přednost v tom, že měřená plocha je malá, takže i tento požadavek je zpravidla snadno splnitelný.
- 5.9. Mez pevnosti ve střihu vyjedňuje průměrnou hodnotu ve zvoleném místě bez ohledu na izotropii vlastnosti tělesa. Byla-li mez pevnosti ve střihu porovnána s průměrnou hodnotou horní meze kluzu v téže místě tělesa, byl tento poměr stálý. Tento poznatek umožňuje na základě stanovení pevnosti ve střihu odhadnout průměrnou hodnotu horní meze kluzu v daném místě.
- Podobná souvislost byla nalezena i mezi pevností

ve střihu a tvrdosti výstřiku. Protože měření tvrdosti patří k nedestructivním zkouškám, bylo by možno této závislosti využít k nepřímému odhadu mechanických vlastností finálních výstřiků, aniž by došlo k jejich zničení. Přesné zkusební podmínky měření tvrdosti však bude nutno ještě dále propracovat.

#### 5.10. Jednotlivá technologické faktory ovlivnily mechanické vlastnosti výstřiků takto :

Zvětšení vstříkovací teploty způsobilo pokles mechanických vlastností výstřiků z lineárního polyetylénu. Vlastnosti klesaly do teploty asi 200 až 220 °C, načež docházelo opět k mírnému vzestupu, který souvisel se zvětšováním velikosti molekul vystavených vstříkovací teplotě v tavní kromě. Klesající část křivky souvisela se zmenšováním stupně orientace molekul. Stoupající část křivky se neobjevila u kotoučů. To je možno vysvětlit tím, že kotouče byly vstříkovány na řídkovém lince, takže polystyrol byl vystaven vstříkovací teplotě mnohem kratší dobu než tomu bylo u lisu pistových.

Zvyšující se teplota vstříkovací formy měla za následek vzrůst mechanických vlastností výstřiků, což souvisí se zvyšováním stupně krystalinity. Vzrůst krystalinity byl potvrzen zvyšením hustoty výstřiku.

Mechanické vlastnosti se také zvyšovaly v důsledku zvyšování vstříkovacího tlaku. Jeho vliv byl zřetelný u těles pro tahovou zkoušku. U kotoučů při zvýšení vstříkovacího tlaku docházelo ke snížení mechanických vlastností vztahených na jednotku plochy. Tento zdánlivý

pokles byl způsoben současným zvětšováním tloušťky kontaktu, což vedlo k relativnímu poklesu vlastnosti.

Tloušťka výstříku ovlivňovala měrné mechanické vlastnosti velmi podstatně. Všeobecně byla pevnost vztahena na jednotku plochy u tlustých výstříků nižší než u tenkostěnných. Rozdíl hodnot dosahoval až několika desítek procent.

Také konstrukce vtokové soustavy, v tomto případě velikost ústí vtoku, měla vliv na mechanické vlastnosti výstříku. Jestliže se průřez ústí vtoku zvětšoval, mechanické vlastnosti stoupaly.

- 5.11. Aplikace poznatků obsažených v této práci, především navržený způsob kvantitatívního hodnocení mechanických vlastností finálních výstříků, bude mít pro praxi význam z několika hledisek. Pro konstruktéry výrobků z plastických hmot bude možno postupně shromáždit podklady, které jim budou sloužit při konstrukčních výpočtech dalších výrobků. Výrobce bude mít možnost na základě znalosti mechanických vlastností výstříků kontrolovat dodržování technologické kázně při výrobě a hodnotit vliv jednotlivých faktorů nebo celých technologických postupů na kvalitu konečného výrobku. Tak bude možné odhalovat příčiny změtnovitosti, ovlivňovat v příznivém směru kvalitu výrobků a tím prodlužovat jejich životnost. Zvýšení kvality výrobků a snížení změtnovitosti se příznivě projeví na ekonomických ukazatelích zpracovatelského podniku, takže aplikace poznatků přinese přímé finanční zisky.

Možnost hodnotit mechanické vlastnosti výstříku v jeho různých místech umožní konstruktérům navrhovat tvar výrobků tak, aby pevnost výstříku v nejvíce namáhaných místech byla vhodnou konstrukční úpravou zvýšena a tak aby bylo dosaženo vyšší spolehlivosti při funkci výrobku.

Hodnocení vlastností výstříku také umožní posoudit vhodnost určitých druhů plastických hmot pro daný typ výrobku a zvolit nejvhodnější typ hmoty pro požadovaný účel. Poznámky tak mohou sloužit do jisté míry i pro účely vstupní kontroly při přejímce dodávek hmot, ať již od jednoho či více výrobců.

Znalost závislostí mechanických vlastností výstříku na jeho tvaru nabízí možnost vypracovat jednoduchou zkušební metodu, která bude umožňovat hodnotit citlivost zkoušené hmoty k podmínkám vstříkování. Princip metody bude spočívat ve vstříkování řady zkušebních teles lišících se nevzájem evýmí rozměry, která budou vstříkována za různých technologických podmínek. Stanovením jejich mechanických vlastností bude možno určit stupeň citlivosti hmoty k měnícím se podmínkám vstříkování. Toto znalost zpětně ovlivní volbu optimálního typu hmoty.

Navržená zkušební metoda, založená na měření pevnosti ve střihu, může být aplikována i v oblasti dálkých výzkumů, např. při zkoušení stárnutí výrobků z plastických hmot, při hodnocení vlivu chemických činidel atd.

5.12. Výsledky, kterých bylo dosaženo v této práci, se vztažují na jeden typ lineárního polyetylénu. Z tohoto hlediska je třeba výsledky hodnotit. Orientační zkoušky prováděná mimo rámec práce však ukázaly, že závěry v práci formulované, platí i u jiných druhů plastických hmot, i když konkrétní vztahy, např. vztah meze pevnosti ve střihu a horní meze kluzu apod., se případ od případu liší. Aplikace poznatků z této práce na jiné termoplasty se však jeví velmi nadějná.

## 6. PŘÍLOHY

### 6.1. Příloha 1 - tabulka 31

Teoretická závislost tloušťky ztuhlé povrchové vrstvy  $h_e$  ve výstřiku z lineárního polyetylénu na podmírkách vstříkování

		Tloušťka $h_e$ (mm)			
Tvs (°C)		180	200	220	240
Tf (°C)					
10		0,845	0,763	0,730	0,670
50		0,774	0,696	0,644	0,605
90		0,631	0,596	0,550	0,522

### 6.2. Příloha 2 - Vypracování metody měření pevnosti ve střihu

Protože nebyly k dispozici žádné literérní údaje o používání pevnosti ve střihu u plastických hmot, bylo nutno metodu ověřit řadou pokusů.

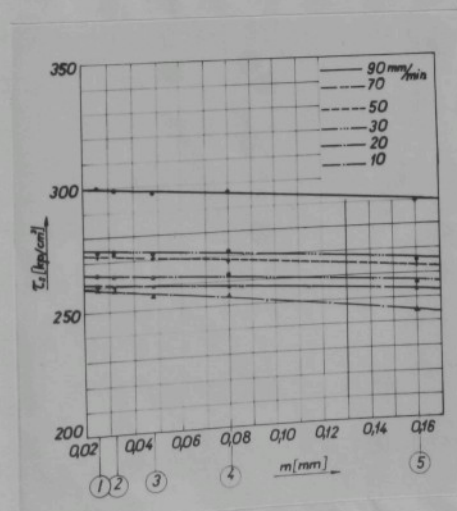
Pře zkoušky byly zvoleny následující podmínky :

1. Průstříňník byl kruhového tvaru, protože je nejvhodnější jak z hlediska výroby, tak i z hlediska vyhodnocování výsledků. U složitějších tvarů by se zkomplikovalo rozdělení napětí ve stříňné ploše. Kruhový tvar je také v souladu s normou ASTM D 732-46, která byla zvolena za základ.
2. Základní řada pokusů byla provedena na vytlačovaných deskách z lineárního polyetylénu, kde byla předpokládána dosažující izotropie vlastností. Lisované desky z lineárního polyetylénu, které by tuto podmíinku splňovaly nejlépe, nebyly k dispozici.

3. Postupně byla ověřena závislost meze pevnosti ve střihu na těchto proměnných veličinách :

- 3.1. na střížné výšce,
- 3.2. na střížné rychlosti,
- 3.3. na průměru průstřížníku,
- 3.4. na tloušťce desky.

Základní řada pokusů byla provedena s průstřížníkem o průměru 25 mm, protože ASTM předepisuje průměr 1 inch (25,4 mm). Tento průměr vyhovoval i proto, že střížná plocha je dostatečně velká, takže místní nestejnорodost v desce, která se přece jen může vyvýhnout, ovlivní výslednou hodnotu jen nepatrně. Závislost meze pevnosti ve střihu  $T_s$  desek vyrobených ze sovětského liágnárního polystylenu typ 4020 na střížné výšce m a střížné rychlosti je na obr. 48.



Obr. 48. Závislost meze pevnosti ve střihu  $T_s$  na střížné výšce m a střížné rychlosti

Vliv průměru průstřížníku na mez pevnosti ve stříhu byl zkoušen při rychlosti 90 mm/min při střížné výšce 0,16 mm. Výsledky jsou v tabulce 32.

Tab.32. Závislost meze pevnosti ve stříhu  $C_s$  na průměru průstřížníku  $d_p$

$d_p$ [mm]	$C_s$ [kp/cm <sup>2</sup> ]
5	257
15	233
25	243

Stanovení meze pevnosti na deskách o tloušťce 1 a 2,8 mm ukázalo, že pevnost ve stříhu stoupá se zmenšující se tloušťkou desky.

Poznámka : Přesnost metody byla ověřena vypočítáním variačního koeficientu asi ze 40 pětic měření.(Každý pokus byl opakován pětkrát.) Variační koeficient celého souboru měření činil  $V_C = \pm 0,66\%$ . Metoda se tedy ukázala jako velice přesná.

Zhodnocení závislosti meze pevnosti ve stříhu.

1. Mez pevnosti ve stříhu stoupá při zvyšující se střížné rychlosti. Tato závislost potvrzuje obecně známou zkušenost při zkoušení mechanických vlastností plastických hmot.
2. Mez pevnosti ve stříhu stoupá při zmenšující se střížné výšce. Příčina spočívá v tom, že při malé výšce se více projevuje vliv elastického stlačování materiálu v okolí střížné plochy. Tím se zvyšují hodnoty radiálního i tangenciálního tlaku.

genciálního napětí ve střížné ploše, což se projeví i ve výsledné hodnotě pevnosti ve střihu.

3. Mez pevnosti ve střihu je nejvyšší u průměru průstřížníku 5 mm, nejménší u průměru 15 mm. Vysvětlení je následující : U malého průstřížníku se projevuje velký vliv elastického stlačení hmoty. Poměr stlačeného objemu k celkovému objemu prostřížku je u malých průměrů průstřížníku největší. U velkého průměru průstřížníku se naopak začíná projevovat vliv přídavných chybových napětí. Ze zkoušených průměrů se nejideálnějšímu případu "čistého střihu" blíží průstřížník s průměrem 15 mm. Proto byl ve vlastní práci také výjimečně používán.

4. Hodnoty meze pevnosti ve střihu stoupají při zmenšující se tloušťce desky. Práčina spočívá jednak ve větším elastickém stlačení, jednak se projevuje vliv technologie zpracování, která u tenčích desek vyvklává relativně vyšší orientaci molekul než u tlustých.

Poměr horní meze kluzu  $\sigma_{kt}$  a meze pevnosti ve střihu  $\sigma_s$

Aby bylo možno zjistit, zda horní mez kluzu a meze pevnosti ve střihu jsou v určitém poměru, byla z desek zhotovena pomocí střížného nástroje dle obr. 26 zásební tělesa pro tahovou závoučku a na nich byla stanovena horní mez kluzu.

Variační koeficient stanovení horní meze kluzu na vyštiřených tělesech byl roven  $V = \pm 1,62\%$ . Mez pevnosti v tahu byla stanovena při stejných rychlostech jako mez pevnosti ve střihu. Z naměřených hodnot byl vypočítán poměr  $B = \frac{G_{st}}{G_s}$ . Tento poměr byl nezávislý na rychlosti zkoušky, což svědčí o analogickém chování materiálu při obou zkouškách. Byl však závislý na střížné váli : Při střížné váli 0,02 mm se rovnal  $B^* = 1,06$  až  $1,03$ , při střížné váli 0,16 mm byl roven  $B^{**} = 1,11$  až  $1,09$ . Při dané konstrukci střížného nástroje a shodných podmínkách zkoušky je poměr  $B$  stálý.

Zhodnocení výsledku stříhové zkoušky.

Výsledky měření meze pevnosti ve střihu ukazují, že metoda má dobrou reprodukovatelnost a že je přesnější než stanovení horní meze kluzu. Poměr meze pevnosti ve střihu a horní meze kluzu je za odpovídajících si zkusebních podmínek veličinou stálou. Existují proto všechny předpoklady k tomu, aby pevnost ve střihu byla používána při zjištování materiálových vlastností výrobků z plastických hmot.

#### 6.3. Příloha 3 - Ověření penetrometrické metody

Před vlastní aplikací penetrometrické metody k hodnocení orientace molekul ve výrobcích z polyetylénu bylo nutno

se přesvědčit, zda výsledky měření jsou opravdu měřitelné orientace molekul. Ověření bylo provedeno následujícím způsobem :

Zo zkušebního tělesa pro tahovou zkoušku dle obr. 17 byla vyříznuta střední část o rozměrech cca  $6 \times 4 \times 15$  mm. Nejprve byla změřena hloubka vpichu na povrchu tělesa, potom byla z povrchu na mikrotomu seříznuta vrstva 0,5 mm tlustá a bylo provedeno další měření, opět seříznuta 0,5 mm vrstva atd. Celkově byly odstraněny tři vrstvy. Výsledky měření na dvou tělesech vyráběných vstřikováním při  $T_{vs} = 200^{\circ}\text{C}$  a  $P_{vs} = 570 \text{ kp/cm}^2$  a  $750 \text{ kp/cm}^2$  jsou uvedeny v tabulce 33.

Tab. 33. Hloubka vpichu jehly na výstřiku s postupně zmenšovanou tloušťkou

Druh výstřiku	I				II			
	4,1	3,6	3,1	2,6	4,1	3,6	3,1	2,6
Tloušťka výstřiku [mm]								
Hloubka vpichu [mm]. $10^2$	8,3	84	83	73	88	95	94	79

V tabulce značí :

I -  $T_{vs} = 200^{\circ}\text{C}$ ,  $P_{vs} = 570 \text{ kp/cm}^2$

II -  $T_{vs} = 200^{\circ}\text{C}$ ,  $P_{vs} = 750 \text{ kp/cm}^2$

Výsledky zkoušek byly uspokojující. V souhlasu s teorií vyvolával výšší vstřikovací tlak výšší stupň orientace. Výsledky také potvrdily teorii Ballmana Teora, podle níž

je orientace soustředěna v povrchové vrstvě s maximem mezi povrchem a středem výstřiku.

#### 6.4. Příloha 4

K výpočtu doby teoreticky potřebné k zatuhnutí ústí vtoku bylo použito následujícího vzorce :

$$t = \frac{1}{\left( \frac{23,14}{d_u^2} + \frac{\pi^2}{l_u^2} \right) a} \cdot \ln \left[ 6,396 - \frac{Q_a}{q_m} \right] \quad (45)$$

kde  $l_u$  je délka ústí vtoku v mm.

Teoretická doba chlazení pro nejnepříznivější případ odpovídající vstřikovací teplotě  $T_{vs} = 240^{\circ}\text{C}$  je uvedena v tabulce 34.

Tab.34. Závislost doby teoreticky potřebné k zatuhnutí ústí vtoku různého průměru na teplotě vstřikovací formy pro vstřikovací teplotu  $T_{vs} = 240^{\circ}\text{C}$

$T_f [^{\circ}\text{C}]$	t [sec]		
	10	50	90
$d_u [\text{mm}]$			
1	1,5	1,7	2,0
2	6,8	7,3	7,7
3	12,2	13,4	16,3
4	19,3	21,2	25,7
5	27,0	29,6	36,0

### 6.5. Příloha 5

Tab.35. Závislost tlaku v trysce tavicí komory Pd a vnitřního tlaku Pi na vstříkovací teplotě Tvs, vstříkovacím tlaku Pvs a teplotě vstříkovací formy Tf

Tvs [°C]	160	180	200	220	260
Pvs = 570 kp/cm <sup>2</sup>					
Pd [kp/cm <sup>2</sup> ]	306	353	370	380	404
Pi [kp/cm <sup>2</sup> ] Tf = 30 °C	220	303	322	328	366
Tf = 70 °C	219	323	348	350	
Pvs = 670 kp/cm <sup>2</sup>					
Pd [kp/cm <sup>2</sup> ]	412	477	485	505	535
Pi [kp/cm <sup>2</sup> ] Tf = 30 °C	310	413	429	466	471
Tf = 70 °C	328	447	448	466	
Pvs = 750 kp/cm <sup>2</sup>					
Pd [kp/cm <sup>2</sup> ]	505	577	605	608	632
Pi [kp/cm <sup>2</sup> ] Tf = 30 °C	422	493	540	548	569
Tf = 70 °C	418	546	532	569	

### 6.6. Příloha 6

Tab.36. Závislost podélného smrštění s na Tvs, Pvs a Tf

Tvs [°C]	160	180	200	220	260
Pvs = 570 kp/cm <sup>2</sup>					
Tf = 30 °C	2,80	2,60	2,55	2,50	2,60
Tf = 70 °C	3,45	3,10	2,85	2,70	--
Pvs = 670 kp/cm <sup>2</sup>					
Tf = 30 °C	2,65	2,45	2,35	2,35	2,45
Tf = 70 °C	3,25	2,85	2,60	2,60	--
Pvs = 750 kp/cm <sup>2</sup>					
Tf = 30 °C	2,45	2,20	2,25	2,25	2,35
Tf = 70 °C	2,90	2,60	2,50	2,55	--

### 6.7. Příloha 7

Tab.37. Vliv podmínek vstřikování na hustotu  $\rho$  a váhu  
výstříku g

Tvs [°C]	160	180	200	220	260
Pvs = 570 kp/cm <sup>2</sup>					
Tf = 30 °C					
$\rho$ [p/cm <sup>3</sup> ]	0,9528	0,9528	0,9531	0,9530	0,9530
g [p]	4,9583	5,0275	5,0638	5,0772	5,0909
Tf = 70 °C					
$\rho$ [p/cm <sup>3</sup> ]	0,9561	0,9563	0,9564	0,9565	---
g [p]	4,9390	4,9971	5,0241	5,0378	---
Pvs = 670 kp/cm <sup>2</sup>					
Tf = 30 °C					
$\rho$ [p/cm <sup>3</sup> ]	0,9531	0,9531	0,9531	0,9533	0,9533
g [p]	4,9856	5,0586	5,0897	5,1133	5,1224
Tf = 70 °C					
$\rho$ [p/cm <sup>3</sup> ]	0,9562	0,9565	0,9566	0,9566	---
g [p]	4,9643	5,0312	5,0553	5,0773	---
Pvs = 750 kp/cm <sup>2</sup>					
Tf = 30 °C					
$\rho$ [p/cm <sup>3</sup> ]	0,9534	0,9533	0,9534	0,9536	0,9534
g [p]	5,0055	5,0735	5,1157	5,1389	5,1501
Tf = 70 °C					
$\rho$ [p/cm <sup>3</sup> ]	0,9566	0,9567	0,9568	0,9570	---
g [p]	4,9977	5,0598	5,0823	5,1055	---

6.8. Příloha 8

Tab.38. Závislost horní meze kluzu  $\tilde{\sigma}_{kt}$ , tažnosti při přetření  $\epsilon_p$  a tažnosti na hornímez kluzu  $\epsilon_k$   
zkušebních těles na podmírkách vstřikování; du = 4 mm

Tvs [°C]	160	180	200	220	260
Fvs = 570 kp/cm <sup>2</sup>					
Tf = 30 °C $\tilde{\sigma}_{kt}$ [kp/cm <sup>2</sup> ]	285,1	279,8	278,7	280,2	289,0
$\epsilon_p$ [%]	252	273	276	280	306
$\epsilon_k$ [%]	18,0	17,6	18,6	17,0	--
Tf = 70 °C $\tilde{\sigma}_{kt}$ [kp/cm <sup>2</sup> ]	296,2	298,2	297,4	291,0	--
$\epsilon_p$ [%]	320	83	76	60	--
$\epsilon_k$ [%]	17,6	19,0	17,6	18,6	--
Fvs = 670 kp/cm <sup>2</sup>					
Tf = 30 °C $\tilde{\sigma}_{kt}$ [kp/cm <sup>2</sup> ]	296,4	286,6	283,0	281,1	288,0
$\epsilon_p$ [%]	83	242	90	185	194
$\epsilon_k$ [%]	18,2	19,2	19,0	19,5	--
Tf = 70 °C $\tilde{\sigma}_{kt}$ [kp/cm <sup>2</sup> ]	303,2	306,4	303,0	296,2	--
$\epsilon_p$ [%]	106	58	70	64	--
$\epsilon_k$ [%]	18,2	21,4	20,2	19,4	--
Fvs = 750 kp/cm <sup>2</sup>					
Tf = 30 °C $\tilde{\sigma}_{kt}$ [kp/cm <sup>2</sup> ]	305,3	293,4	283,7	281,9	286,2
$\epsilon_p$ [%]	64	90	86	126	200
$\epsilon_k$ [%]	18,8	19,6	21,6	20,0	--
Tf = 70 °C $\tilde{\sigma}_{kt}$ [kp/cm <sup>2</sup> ]	315,7	309,0	309,6	293,4	--
$\epsilon_p$ [%]	72	70	52	80	--
$\epsilon_k$ [%]	18,6	22,0	20,6	21,0	--

6.9. Příloha 2

Tab.39. Vliv poloměru r a úhlu odebírání mikrotělesa na horní rez kluzu  $\sigma_{kt}$  na kotoučích

Podmínky zhotovení kotouče :

1. $T_{vs} = 175^{\circ}\text{C}$ , $P_{vs} = 610 \text{ kp/cm}^2$ , $T_f = 50^{\circ}\text{C}$ , $du = 2 \text{ mm}$ , $hk = 1,25 \text{ mm}$					
$\sigma_{kt} [\text{kp/cm}^2]$					
Úhel [°]	0	30	45	60	90
r [mm]					
30	407	351	301	306	341
35	392	336	301	302	329
40	385	328	300	298	324
45	379	305	286	301	324
50	365	317	281	297	320
55	372	297	275	298	327
2. $T_{vs} = 220^{\circ}\text{C}$ , $P_{vs} = 530 \text{ kp/cm}^2$ , $T_f = 50^{\circ}\text{C}$ , $du = 2 \text{ mm}$ , $hk = 1,30 \text{ mm}$					
30	378	323	315	321	337
35	369	304	305	309	333
40	364	300	292	313	326
45	367	292	302	305	331
50	359	293	293	301	328
55	348	301	290	293	325
3. $T_{vs} = 200^{\circ}\text{C}$ , $P_{vs} = 310 \text{ kp/cm}^2$ , $T_f = 50^{\circ}\text{C}$ , $du = 2 \text{ mm}$ , $hk = 2,05 \text{ mm}$					
30	300	287	281	291	294
35	297	285	288	294	293
40	293	281	282	287	291
45	292	297	278	283	290
50	293	279	281	284	288
55	285	278	282	281	285
4. $T_{vs} = 200^{\circ}\text{C}$ , $P_{vs} = 530 \text{ kp/cm}^2$ , $T_f = 50^{\circ}\text{C}$ , $du = 2 \text{ mm}$ , $hk = 2,05 \text{ mm}$					
30	319	292	283	302	306
35	314	288	283	301	307
40	314	295	286	297	305
45	306	288	287	298	304
50	303	288	285	297	299
55	301	285	297	299	302

6.10. Příloha 10

Tab.40. Rozložení meze pevnosti ve střihu  $\tau_s$  na deskách  
ve směru obojích uhlíků

		$\tau_s$ [kp/cm <sup>2</sup> ]		
Podmínky vstřikování	Tvs [°C]	160	180	180
	Tf [°C]	10	50	90
r <sub>s</sub> [mm]				
60		255	267	276
40		272	276	291
20		288	281	296
7,5		319	303	315
20		296	281	298
40		270	274	285
60		626	258	277
60		255	264	281
40		272	278	289
40		279	276	286
60		263	269	275

6.11. Příloha 11

Tab.41. Tvrdoost HR 5/31/10 a HR 5/31/60 měřená na deskách

$r_s$ [mm]	T <sub>f</sub> [°C]	T <sub>vs</sub> [°C]	HR [kp/cm <sup>2</sup> ]			
			60	40	20	7,5
10	160	HR 5/31/10	1010	1025	1121	1270
		HR 5/31/60	832	878	921	1005
	180	HR 5/31/10	1058	1117	1152	1216
		HR 5/31/60	875	892	922	966
	200	HR 5/31/10	1042	1095	1127	1146
		HR 5/31/60	850	889	913	927
	220	HR 5/31/10	1009	1053	1117	1134
		HR 5/31/60	823	853	889	902
	240	HR 5/31/10	1001	1060	1088	1110
		HR 5/31/60	802	846	859	868
50	160	HR 5/31/10	1025	1100	1128	1404
		HR 5/31/60	837	872	881	1062
	180	HR 5/31/10	1037	1070	1097	1201
		HR 5/31/60	824	861	876	973
	200	HR 5/31/10	1008	1063	1106	1154
		HR 5/31/60	824	864	885	916
	220	HR 5/31/10	973	1027	1098	1098
		HR 5/31/60	813	855	875	879
	240	HR 5/31/10	967	1053	1100	1128
		HR 5/31/60	821	845	856	876
90	160	HR 5/31/10	1127	1181	1257	1368
		HR 5/31/60	887	932	965	1104
	180	HR 5/31/10	1051	1128	1210	1250
		HR 5/31/60	860	886	905	956
	200	HR 5/31/10	1033	1134	1161	1217
		HR 5/31/60	856	884	897	925
	220	HR 5/31/10	1030	1098	1151	1181
		HR 5/31/60	846	874	929	947
	240	HR 5/31/10	1025	1112	1157	1181
		HR 5/31/60	841	890	916	938

6.12. Příloha 12

Tab.42. Poměr meze pevnosti ve střihu  $\tilde{\tau}_s$  a tvrdosti HR pro různé poloměry desky a pro různé podmínky vstřikování

$r_s$ [mm]	Tf [ $^{\circ}$ C]	Tvs [ $^{\circ}$ C]	$Z = \frac{\tilde{\tau}_s}{HR}$			
			60	40	20	7,5
10	160	0,316	0,308	0,312	0,307	
	180	0,296	0,297	0,300	0,311	
	200	0,302	0,297	0,299	0,320	
	220	0,316	0,307	0,303	0,325	
	240	0,333	0,320	0,324	0,337	
	50	160	0,328	0,323	0,330	0,291
		180	0,334	0,323	0,325	0,315
		200	0,329	0,318	0,320	0,324
		220	0,334	0,322	0,321	0,335
		240	0,325	0,322	0,323	0,324
90	160	0,312	0,306	0,304	0,308	
	180	0,320	0,317	0,312	0,310	
	200	0,324	0,318	0,318	0,312	
	220	0,348	0,338	0,318	0,330	
	240	0,346	0,330	0,320	0,328	

6.13. Fíloha 13

Tab. 43. Závislost hustoty  $\rho$  na poloměru desky  $r_s$   
a na podmírkách vstřikování

$r_s$ [mm]	Tf [°C]	Tvs [°C]	$\rho$ [ $\text{g/cm}^3$ ]			
			60	40	20	0
10	160	0,9700	0,9703	0,9709	0,9733	
	180	0,9700	0,9703	0,9707	0,9734	
	200	0,9702	0,9706	0,9711	0,9734	
	220	0,9703	0,9704	0,9714	0,9727	
	240	0,9702	0,9704	0,9709	0,9727	
50	160	0,9722	0,9725	0,9734	0,9750	
	180	0,9722	0,9723	0,9736	0,9750	
	200	0,9722	0,9727	0,9733	0,9750	
	220	0,9722	0,9725	0,9730	0,9750	
	240	0,9722	0,9724	0,9730	0,9750	
90	160	0,9751	0,9757	0,9767	0,9785	
	180	0,9757	0,9760	0,9768	0,9786	
	200	0,9759	0,9766	0,9767	0,9786	
	220	0,9764	0,9767	0,9771	0,9786	
	240	0,9762	0,9767	0,9772	0,9786	

### 7.1. Seznam symbolů

- a - teplotní vodivost  
a<sub>n</sub> - rázová houževnatost  
A - konstanta v rovnici pro viskozitu taveniny plastické  
hmoty  
b - šířka tělesa  
B - poměr meze <sup>horní</sup>~~pevnosti~~ <sup>kluzu</sup> (v tahu) a meze pevnosti ve střihu  
c<sub>p</sub> - měrné teplo  
C - konstanta v rovnici pro viskozitu taveniny  
C<sub>s</sub> - konstanta v rovnici pro rovnováhu sil  
d - průměr  
d<sub>p</sub> - průměr průstřiku  
d<sub>R</sub> - průměr kuličky při zkoušce tvrdosti podle Rockwella  
du - průměr ústí vtoku  
e - základ přirozených logaritmů  
E - aktivační energie toku polymérní taveniny  
f - funkční vztah mezi měřenou vlastností výstřiku a vlastností vyjadřující vliv podmínek zpracování  
F - plocha  
Fo - Fourierovo číslo  
g - váha výstřiku  
G - modul pružnosti ve smyku  
h - tloušťka  
h<sub>e</sub> - tloušťka ztuhlé povrchové vrstvy  
hk - tloušťka kotouče  
h<sub>R</sub> - hloubka vtišku kuličky Rockwellova tvrdoměru  
HR - tvrdost podle Rockwella  
HV - mikrotvrdost podle Vickerse  
I - vlastnost vyjadřující vliv podmínek vstřikování  
K - konstanta

- $K_s$  - konstanta v rovnici pro průběh napětí  
 $l$  - délka nebo vzdálenost od ústí vtoku  
 $n$  - exponent v mocninovém zákoně  
 $N$  - tenzor deformace  
 $m$  - střížná výle  
 $M$  - střední molekulová váha polyméru  
 $P$  - tlak nebo síla  
 $P_d$  - vstříkovací tlak měřený v trysce  
 $P_i$  - vnitřní vstříkovací tlak, tj. tlak v dutině formy  
 $P_{is}$  - vnitřní tlak uprostřed kotouče  
 $P_{ik}$  - vnitřní tlak na kraji kotouče  
 $P_R$  - zatěžovací síla při měření tvrdosti podle Rockwella  
 $P_s$  - maximální síla při střihové zkoušce  
 $P_t$  - maximální síla při tahové zkoušce  
 $P_V$  - zatěžovací síla při měření mikrotvrdoosti  
 $P_{vs}$  - vstříkovací tlak, tj. tlak na jednotku čela pistu  
 $Q_a$  - rozdíl teplot mezi stěnou formy a teplotou taveniny na počátku ochlazování  
 $Q_m$  - rozdíl teplot mezi povrchem a střední osou ochlazované desky v čase  $t$   
 $r$  - poloměr  
 $r_s$  - poloměr desky  
 $r_u$  - poloměr ústí vtoku  
 $R$  - Boltzmannova konstanta  
 $s$  - smrštění výstřiku  
 $S$  - tenzor napětí  
 $t$  - čas  
 $T$  - teplota  
 $T_f$  - teplota vstříkovací formy  
 $T_{vs}$  - vstříkovací teplota

- v = smyková rychlosť  
V = variační koeficient měřené vlastnosti  
 $\bar{V}$  = průměrný variační koeficient vyjadřující homogenitu desek  
 $W_o$  = vlastnost výstřiku z plastické hmoty bez vnitřního pnutí  
 $W_s$  = vlastnost výstřiku obsahujícího vnitřní pnutí  
x = libovolný bod kanálu, kterým protéká tavenina, měřeny kolmo ke směru vtoku  
z = podélná osa výstřiku  
Z = poměr meze pevnosti ve střihu a tvrdosti  
 $\lambda$  = exponent v rovnici závislosti viskozity na smykovém napětí  
 $\beta$  = exponent ve vztahu pro závislost viskozity na molekulové váze polyméru  
 $\gamma$  = zkosa  
 $E$  = tažnost zkušebních těles při tahové zkoušce  
 $E_k$  = tažnost těles na horní mezzi kluzu  
 $E_p$  = tažnost těles při pletření  
 $\eta$  = viskozita taveniny polyméru  
 $\chi$  = hloubka vpichu jehly na penetrometrickém přístroji  
 $\lambda$  = tepelná vodivost  
 $\mu$  = průměr uhlopříčky vtisku při stanovení mikrotvrdosti  
 $\rho$  = hustota  
 $\sigma_k$  = mez kluzu taveniny polyméru  
 $\sigma_{kt}$  = horní mez kluzu při tahové zkoušce  
 $\sigma_{ktr}$  = horní mez kluzu při tahové zkoušce v radiálním směru  
 $\sigma_{ktt}$  = horní mez kluzu při tahové zkoušce v tangenciálním směru  
 $\sigma_r$  = radiální napětí  
 $\sigma_t$  = tangenciální napětí

$\tau$  - smykové napětí

$\tau_s$  - mez pevnosti ve střihu

$\sigma$  - úhel

$\phi$  - fluidita stanovená na vytlačovacím plastoměru

7.2. Seznam literatury a použitých premení

- [1] ABRAMOV, V.V. - KANAVEC, I.F. - MAMEDOV, R.I.: Isledovaniye režimov litíja termoplastov pod davleniem s ispolzovanijem mnogoměstnoj formy. = "Plastické massy", 1965, č.7; 30-34.
- [2] AŠKENAZI, E.K.: K voprosu ob anizotropii mechanických svojstv adnocoeno - orientirovannych plenok kristallickich polimerov. = "Plastické massy", 1964, č.2: 67.
- [3] BALLMANN, R.L. - TOOR, H.L.: Orientation in Injection Molding. = "Modern Plastics", 1960 : 113, 114, 117, 120-122, 124, 205, 206, 207.
- [4] BALLMANN, R.L. - TOOR, H.L.: Stampaggio ed iniezione e sua interpretazione reologica. = "Materie Plastiche", 1960, č.5: 445-453 a č.7: 706-715.
- [5] BARLET, CH.S.: Struktura kovů, Nakladatelství ČSAV, Praha 1959.
- [6] BARTĚNĚV, G.M.: Über die Aktivierungsenergie des zähen Fliessens von Polymeren. = "Plaste und Kautschuk", 10, 1963: 587-589.
- [7] BARTĚNĚV, G.M.: Zákonomořnosti i mechanizm vjazkovo těčení líných polymerov. = "Plastické massy", 1964, č.12: 20-26.
- [8] BAUER, W.: Der Formfüllvorgang beim Spritzguss von Thermoplasten. = "Kunststoffe", 53, 1963: 210-217.
- [9] BECK, H.: Polystyrol. = "Kunststoffe", 49, 1959: 209-212.
- [10] BEHNARDT, E.C.: Processing of Thermoplastic Materials. Reinhold Publishing Corporation, New York, 1963.
- [11] BILLEYER, F.W.: Textbook of Polymer Chemistry, ruský překlad. = Izdatelstvo inostrannoj literatury, Moskva, 1968.
- [12] BOUKAL, I.: Výzkum vnitřního pnutí a jeho stanovení v neprůhledných plastických hmotách, výzkumná zpráva Z-66-1645, 1966, SVUM Praha.
- [13] CORNELY, J.: Einführung in die Spritzgusstechnologie, Deutscher Verlag für Grundstoffindustrie, Leipzig, 1965.
- [14] DIXON, R.R.: Determination of Stresses in Formed Plastics Parts. = "Polymer Engineering and Science", 1966, č.4; 156-157.
- [15] EULITZ, W.: Gesetzmässigkeiton beim Spritzguss von Thermoplasten. = "Plastverarbeiter", 10, 1956: 377-382.

- [16] GÄTH, R. - ORTHMANN, H.J. - SCHMITT, B.: Normwerte und Formteileigenschaften. = "Kunststoffe", 55, 1965 : 709-711.
- [17] GILMORE, G.D. - SPENCER, R.S. : Photographic Study of the Polymer Cycle in Injection Moulding. = "Plastics", 1951, č.4: 116, 118, 120, 122, 124, 180, 183, 185.
- [18] HOFFMANN, O. - SACHS, G.: Introduction to the Theory of Plasticity for Engineers, rusky překlad. Gosudarstvennoje naučno - techničeskoje izdatelstvo mašinostrojitelnoj literatury, Moskva 1957.
- [19] HÖGBERG, H.: Einfluss der Oberflächenbeschicht auf die Festigkeit von Polystyrol-Spritzgussteilen. = "Kunststoffe", 47, 1957: 371-375.
- [20] HORSLEY, R.A. - LEE, D.J.A.: The Influence of Flow Orientation and Injection Temperature on the Strength of Injection Mouldings. = "British Plastics", 1956, č.4: 134-137, 152.
- [21] JACOBI, H.R.: Grundlagen der Extrudertechnik, Carl Hauser Verlag, München, 1960.
- [22] JUST, G.: Über die Rolle einiger Verarbeitungsparameter beim Spritzguss von Polyäthylen. = "Plaste und Kautschuk" 9, 1962; 16-23.
- [23] KANAVEC, I.F. - BALATOVA, L.G.: Teplovooje razširenije i sijmajemost termoplastov. = "Platičeskiye massy", 1964, č.9: 50-55.
- [24] KNAPPE, W.: Die Festigkeit thermoplastischer Kunststoffe in Abhängigkeit von der Verarbeitungsbedingungen. = "Kunststoffe", 51, 1961: 562-569.
- [25] KREBS, J.: Vnitřní tlak ve výrobciach z plastických hmot. = "Kaučuk a plastičné hmoty", 1959, č.10: 357-351.
- [26] KREBS, J. - VELIKOVSKÁ, E.: Zpracování nových druhů plastických hmot, závěrečná zpráva 1-05/62, Plastimat n.p. Jablonec n.N.
- [27] KREBS, J.: Určování stupně vytvrzení výlisků z bakelitu penetrometrickým způsobem. = "Kaučuk a plastičné hmoty", 1961, č.7: 226-230.
- [28] KREBS, J.: Vliv pevnosti vstřikování na hustotu výstřiků z polyetylénu a polystyrénu. = "Plastičné hmoty a kaučuk", 3, 1966: 1-4.
- [29] KVJATKOVSKAJA, G.F. - LAPŠIN, V.V.: Vlijanie technologickich parametrov litja pod davleniem i posledujúcej teplovoj obrabotki na plotnost polietilena nízkovoj davlenia. = "Platičeskiye massy", 1964, č.3: 26-29.

- [30] KVATKOVSKAJA, G.F. - LAŠIN, V.V.: Vlijanije technologičes-  
kich parametrov processa litija pod davlenjem i po-  
sledujućoj teplovoj obrabotki na mehaničeskie  
svojstva polistilena nízkovo davlenija. = "Plastičes-  
kije massy", 1964, č.4: 30-33.
- [31] LAŠIN, V.V. - KOZLOV, P.M.: Vlijenije uslovij litija pod  
davlenjem na vnutrennje napræženija v detailach  
iz polistirola. = "Chimičeskaja promyšlenost", 1958,  
č.4: 18-22.
- [32] MAMEDOV, R.I. - KANAVEC, I.F.: Vlijanije davlenja i skoro-  
ti vpryska na svojstva izdöli iz polipropilena. =  
"Plastičeskiye massy", 1964, č.1: 27-35.
- [33] MAMEDOV, R.I. - KANAVEC, I.F.: Vlijanije temperatury litije  
na svojstva izdöli. = "Plastičeskiye massy", 1964,  
č.2: 30-37.
- [34] NORTHMANN, D. - SEYFAHRT, P.: Einführung in die Verarbeitung  
der Plaste, 3. Teil, VEB Ve. lag Technik, Berlin 1963.
- [35] ORTHMANN, H.J.: Probleme und Aufgaben der Kunststoffprüfung,  
= "Kunststoffe", 55, 1.69: 167-170.
- [36] ORTHMANN, H.J.: Einfluss der Molekülorientierung und der  
eingefrorenen inneren Spannungen auf die Eigenschaften  
von Polystyrol-Formstößen. = "Kunststoffe", 55, 1965:  
361-362.
- [37] ORTHMANN, H.J. - SCHMITT, B.: Das mechanische Niveau thermo-  
plastischer Formmassen. = "Kunststoffe", 55, 1.65:  
779-784.
- [38] ORTHMANN, H.J.: Bedeutung und Grenzen der gegenwärtigen  
Standardprüfmethoden, referát na konferenci v Liberci,  
1965.
- [39] OTTO, H.W.: Orientierung und Schlagzähigkeit von Styrol-  
polymersaten. = "Kunststoffe", 55, 1965: 170-172.
- [40] PEŠINA, E.: Základy teorie plasticity, učební texty vysoko-  
kých škol, SNTL, Praha 1965.
- [41] PEŠINA, E.: Základy užité teorie plasticity, SNTL, Praha 1966.
- [42] RYBNÍKÁŘ, F.: Analýza a získání plastických hmot, SNTL,  
Praha 1965.
- [43] SEYFAHRT, P.: Zur Bestimmung der Zykluszeit beim Spritz-  
gessen von Thermoplasten, referát na VSST, listopad  
1965.
- [44] SCHMITT, B. - SCHÜSTER, R. - ORTHMANN, H.J.: Das mechanische  
Niveau thermoplastischer Formmassen. = "Kunststoffe",  
54, 1964: 643-647.

- [45] SCHMITT,K.: Spritzgussherstellung grossflächiger Teile dargestellt an Beispielen von Transport und Flaschenkästen, referát na konferenci v Liberci, červenec 1965.
- [46] SCHÖNBORN,H.H.: Die technik des Spritzgiessens und ihre Probleme, I. Teil. = "Plastverarbeiter", 10, 1959: 124-131.
- [47] SCHREIBER,B.: Výzkum metod kontroly jakosti textitových ložiskových pouzder, výzkumná zpráva 2-63-1201, SVUMT, Praha 1964.
- [48] SMĚLÝ,Z.: Způsoby přibližného vypočtu a praktické zjistění minimální doby pro vyhlášení nebo ochlazení masivních výrobků z prýže, plastických hmot a jiných materiálů, zprávy VUGPT, 1965, č.1: 12-16.
- [49] STAUB,R.B.: An Analysis of Injection Mold Filling of Polyethylene. = "SPE Journal", 1960, č.4: 429-434.
- [50] STOCKMAIR,W.: Einfluss des Temperns auf Struktur und Dichte (Kristallinität) von gespritzten Polyäthylen-Stäben. = "Kunststoffe", 52, 1962: 522-531.
- [51] STOCKMAIER,W.: Einfluss des Temperns auf mechanische Eigenschaften von gespritzten Polyäthylen-Stäben. = "Kunststoffe", 52, 1962: 593-599.
- [52] "Alkathene", prospekt fy ICI, Anglie.
- [53] The Injection of Polythene, Information Service, ICI, Anglie.
- [54] ČSN 640001 a další.
- [55] DIN 53456 Härteprüfung durch Eindruckversuch, DER, Januar 1963, 3 s.
- [56] VDE 0302/III. 43 Leitsätze für mechanische und thermische Prüfungen fester Isolierstoffe, Berlin, 6 s.
- [57] ASTM D 732-46 Shear Strength of Plastics.
- [58] KOMÁRKOVÁ,O.: diplomová práce DP 252 VŠST Liberec, 1964.
- [59] PINKA,M.: diplomová práce DP 225 VŠST Liberec, 1966.
- [60] STRAKA,J.: diplomová práce DP 405 VŠST Liberec, 1965.
- [61] ŠÍDA,V.: diplomová práce DP 521 VŠST Liberec, 1966.
- [62] ODSTRČIL,B.-HORYNA,J.: Způsob zkoušení tvrdosti tuhých nekovových materiálů. = PV 6071-66

u 37 S